

การตรวจจับเลนถนนโดยคอมพิวเตอร์
LANE BOUNDARY DETECTION

โดย

นาย เกศ บัวลำไย
นางสาว ปรีษาภรณ์ ภักดี

ปริญญานิพนธ์นี้เป็นส่วนหนึ่งของการศึกษาตามหลักสูตรปริญญาวิศวกรรมศาสตรบัณฑิต
สาขาวิชาอิเล็กทรอนิกส์
สถาบันเทคโนโลยีพระจอมเกล้าเจ้าคุณทหารลาดกระบัง
ปีการศึกษา 2541

การตรวจจับเลนถนนโดยคอมพิวเตอร์
LANE BOUNDARY DETECTION



โดย

นาย เกศ บัวลำไย รหัส 38014035

นางสาว ปรียาภรณ์ ภัคดี รหัส 38014284

อาจารย์ที่ปรึกษา

ผศ. ดร. สุรพันธ์ เอื้อไพบูลย์

ปริญญานิพนธ์นี้เป็นส่วนหนึ่งของการศึกษาตามหลักสูตรปริญญาวิศวกรรมศาสตรบัณฑิต

สาขาวิชาอิเล็กทรอนิกส์

คณะวิศวกรรมศาสตร์

สถาบันเทคโนโลยีพระจอมเกล้าเจ้าคุณทหารลาดกระบัง

ปีการศึกษา 2541

เลขหน้.....
เลขทะเบียน..... 34038
วัน, เดือน, ปี..... 1 ต.ค. 2542

ปริญาพนธ์ ปีการศึกษา 2541

ภาควิชา อิล็กทรอนิกส์

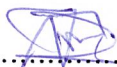
คณะวิศวกรรมศาสตร์ สถาบันเทคโนโลยีพระจอมเกล้าเจ้าคุณทหารลาดกระบัง

เรื่อง การตรวจจับเตนตนน โดยคอมพิวเตอร้

ผู้จัดทำ

1. นาย เกศ บัวลำไย

2. นางสาว ปรียาภรณ์ ภัคดี



.....อาจารย์ที่ปรึกษา
(ผศ. ดร. สุรพันธ์ เอื้อไพบูลย์)

การตรวจจับเลนถนนโดยคอมพิวเตอร์

LANE BOUNDARY DETECTION

นาย เกศ บัวลำไย รหัส 38014035

นางสาว ปรียาภรณ์ ภักดี รหัส 38014284

โครงการได้รับการตรวจสอบแล้ว พร้อมทั้งจะทำการสอบได้



.....
(ผศ. ดร. สุรพันธ์ เอื้อไพฑูลย์)

อาจารย์ที่ปรึกษา

การตรวจจับเลนถนน โดยคอมพิวเตอร์

นาย เกศ บัวคำโย
นางสาว ปรียาภรณ์ ภัคติ
ผศ. ดร. สุรพันธ์ เอื้อไพบูลย์ อาจารย์ที่ปรึกษา
ปีการศึกษา 2541

บทคัดย่อ

ในการพัฒนาระบบการตรวจจับเลนถนนของระบบขับเคลื่อนใดๆ นับเป็นงานที่น่าสนใจแต่มีความยากยิ่งในการประมวลผลภาพ โครงการนี้จึงเป็นเสมือนแบบจำลองการทำงานของระบบ โดยจะรับภาพจากกล้องดิจิทัลที่ติดตั้งอยู่บนรถ และนำภาพอย่างหลายๆ ที่ได้มาทำการประมวลผลเพื่อให้คอมพิวเตอร์ได้ทราบว่าขณะนั้นระบบขับเคลื่อนของเราอยู่ในสถานการณ์เช่นไร จากนั้นส่งผลการประมวลผลที่ได้ไปยังไมโครคอนโทรลเลอร์ ซึ่งการขับเคลื่อนของรถจะอาศัยการควบคุมความเร็วดีซีมอเตอร์ ทำให้รถสามารถเคลื่อนที่ไปได้อัตโนมัติ พร้อมทั้งตรวจจับเลนของถนนไปในขณะเดียวกัน

LANE BOUNDARY DETECTION**Kate Bualamyai****Preeyaporn Pakdee****Dr. Surapan Aopaiboon Advisor****1998****ABSTRACT**

In the developing of a vision – based on road detection system is very interesting to cope with but we are facing the difficulty in a process to give the picture out. This project use as a model to display system's function by taking the image from digital camera on vehicle. Then take the image that assumed to contain distorted version of giver template to a process system so that a computer acknowledge situation. The vehicle movement is controlled by DC motor. So the vehicle can move automatically and can detect the lane simultaneously.

สารบัญ

หน้า

| | |
|--|-----|
| บทคัดย่อ | I |
| Abstract | II |
| สารบัญ | III |
| สารบัญรูปภาพ | VI |
| สารบัญตาราง | IX |
| บทที่ 1 บทนำ | 1 |
| 1.1 ความเป็นมาและความสำคัญของโครงการ | 1 |
| 1.2 การหาขอบเขตของถนนในเวลาจริง | 2 |
| 1.3 ตัวกำหนดตำแหน่งของเลน | 2 |
| บทที่ 2 ระบบขับเคลื่อน | 3 |
| 2.1 หลักการทำงานของมอเตอร์กระแสตรง | 3 |
| 2.1.1 การแยกประเภทของมอเตอร์กระแสตรง | 4 |
| 2.2 พัลส์วิธึมอดูล์เซ็นแอมพลิฟายเออร์ | 8 |
| 2.2.1 การทำงานของพัลส์วิธึมอดูล์เซ็นแอมพลิฟายเออร์ | 9 |
| 2.2.2 กำลั้งงานสูญเสียที่ตัวมอเตอร์ | 11 |
| 2.2.3 การเลือกความถี่ของการสวิตช์ | 13 |
| 2.3 การใช้งาน Digital to Analog Converter (DAC) | 14 |
| 2.4 หลักการออกแบบและสร้างระบบขับเคลื่อน | 15 |
| บทที่ 3 ส่วนติดต่อระหว่างฮาร์ดแวร์ภายนอกกับคอมพิวเตอร์ | 16 |
| 3.1 การเชื่อมต่อการ์ดพอร์ต 8255 กับคอมพิวเตอร์ | 16 |
| 3.2 การทำงานของการ์ดพอร์ต 8255 | 21 |
| บทที่ 4 ทฤษฎีของไมโครคอนโทรลเลอร์ | 23 |
| 4.1 หน่วยความจำโปรแกรม | 24 |
| 4.1.1 หน่วยความจำโปรแกรมภายใน | 24 |
| 4.1.2 หน่วยความจำโปรแกรมภายนอก | 24 |
| 4.2 การจัดการหน่วยความจำของ 8051 | 24 |
| 4.2.1 Program Memory | 25 |
| 4.2.2 Data Memory | 25 |

| | หน้า |
|--|------|
| 4.3 โครงสร้างของ 8051 | 26 |
| 4.3.1 CPU (Central Processing Unit) | 27 |
| 4.3.2 หน่วยความจำ (Memory) | 28 |
| 4.3.3 อุปกรณ์อินพุต/เอาต์พุต (Input/Output Device) | 29 |
| 4.4 สถาปัตยกรรมของ 8051 | 30 |
| 4.4.1 Port 1 | 33 |
| 4.4.2 Port 2 | 34 |
| 4.4.3 Port 3 | 35 |
| 4.5 การทำงานของ 8051 | 38 |
| 4.6 ไคอะแกรมเวลาของการติดต่อกับหน่วยความจำ | 41 |
| บทที่ 5 การออกแบบวงจรควบคุมรถและอัลกอริทึมการทำงานของโปรแกรม | 47 |
| 5.1 การทำงานของวงจรควบคุมการการขับเคลื่อนรถ (Driver Control) | 47 |
| 5.2 อัลกอริทึมการทำงานในส่วนต่างๆ ของ โปรแกรม | 52 |
| 5.2.1 การหาจุดกึ่งกลางเลน (Find Navigator Point) | 54 |
| 5.2.2 การหาค่าเฉลี่ยของจุดกึ่งกลางเส้นแบ่งเลน | 56 |
| 5.2.3 อัลกอริทึมการสร้างรหัสในการควบคุมทิศทาง | 58 |
| 5.2.4 อัลกอริทึมการส่งข้อมูลให้ไมโครคอนโทรลเลอร์ | 59 |
| 5.2.5 อัลกอริทึมการทำงานไมโครคอนโทรลเลอร์ | 59 |
| 5.2.6 อัลกอริทึมการอินเตอร์รัพท์ภายนอก | 60 |
| บทที่ 6 การทดลองและผลการทดลอง | 63 |
| 6.1 รายละเอียดต่างๆ ของโปรแกรม | 63 |
| 6.1.1 เมนูออพชั่น (Option Menu) | 63 |
| 6.1.2 เมนูแสดงการประมวลผลภาพ (Process Menu) | 65 |
| 6.1.3 เมนูการขับเคลื่อน (Driver Menu) | 67 |
| 6.1.4 แถบเครื่องมือ (Tool Bar) | 68 |
| 6.2 การใช้งานโปรแกรมส่วนการขับเคลื่อนรถ | |
| (Lane Detection Program) | 68 |
| 6.2.1 การตรวจจับเลนโดยคอมพิวเตอร์ | |
| (Lane Detection Program) | 68 |

| | หน้า |
|----------------------------------|------|
| 6.2.2 การประมวลผลภาพ | 70 |
| บทที่7 บทสรุป | 72 |
| ภาคผนวก | 73 |
| โปรแกรมภาษาแอสเซมบลี | 73 |
| โปรแกรมส่วนควบคุมการเคลื่อนที่รถ | 77 |
| ค่าดัชนีท (Data Sheet) | 92 |
| กิตติกรรมประกาศ | 105 |
| เอกสารอ้างอิง | 106 |

สารบัญรูปภาพ

หน้า

| | | |
|-------------|--|----|
| บทที่ 1 | | |
| รูปที่ 1.1 | เลนถนนที่นำไปประมวลผล | 1 |
| รูปที่ 1.2 | เลนถนนที่ผ่านการตีเทคและจะนำไปประมวลผล | 2 |
| รูปที่ 1.3 | ภาพที่นำเข้าไปเป็นอินพุทและเอาต์พุทที่ได้จากการ ประมวลผล | 2 |
| บทที่ 2 | | |
| รูปที่ 2.1 | แสดงการเกิดแรงบิดในมอเตอร์กระแสตรง | 3 |
| รูปที่ 2.2 | มอเตอร์กระแสตรงแบบอาร์เมเจอร์ค่ออนุกรมกับสนามแม่เหล็ก | 4 |
| รูปที่ 2.3 | ความสัมพันธ์ระหว่างความเร็วและแรงบิดของมอเตอร์อนุกรม ที่แรงดันคงที่ | 5 |
| รูปที่ 2.4 | โครงสร้างของมอเตอร์กระแสตรงแบบสนามแม่เหล็กแยกกระตุ้น | 5 |
| รูปที่ 2.5 | ความสัมพันธ์ระหว่างความเร็วและแรงบิดของขั้วต่อมอเตอร์ที่ สนามแม่เหล็กและแรงดันคงที่ | 5 |
| รูปที่ 2.6 | มอเตอร์กระแสตรงแบบฟิลด์แม่เหล็กถาวร | 6 |
| รูปที่ 2.7 | แสดงรูปหน้าตัดของมอเตอร์กระแสตรงแบบมีขดลวดบนพื้นผิว และฟิลด์แม่เหล็กเป็นแบบถาวร | 7 |
| รูปที่ 2.8 | หน้าตัดของมอเตอร์กระแสตรงแบบอาร์เมเจอร์เป็นขดลวดหมุน | 8 |
| รูปที่ 2.9 | รูปหน้าตัดด้านข้างของมอเตอร์กระแสตรงแบบอาร์เมเจอร์เป็นขด ลวดหมุน | 8 |
| รูปที่ 2.10 | พัลส์วีธีมอดูเลชันแอมพลิฟายเออร์และมอเตอร์กระแสตรง | 9 |
| รูปที่ 2.11 | ความสัมพันธ์ระหว่างความเร็วและแรงบิด | 11 |
| รูปที่ 2.12 | ลูกคลื่นของกระแสสามเหลี่ยม | 12 |
| รูปที่ 2.13 | วงจร Unipolar D/A | 14 |
| รูปที่ 2.14 | บล็อกไดอะแกรมของระบบขับเคลื่อน | 15 |
| บทที่ 3 | | |
| รูปที่ 3.1 | แสดงการนับสล็อตแบบ 62 ขา | 19 |
| บทที่ 4 | | |
| รูปที่ 4.1 | แผนภูมิหน่วยความจำของ 8051 | 26 |
| รูปที่ 4.2 | ไดอะแกรมโครงสร้างของ 8051 | 27 |
| รูปที่ 4.3 | ภาพเสมือนของหน่วยความจำ | 28 |

| บทที่ 4 | หน้า |
|---|------|
| รูปที่ 4.4 สถาปัตยกรรมภายในของ 8051 | 30 |
| รูปที่ 4.5 ไดอะแกรมขาของ 8051 แบบ DIP | 30 |
| รูปที่ 4.6 โครงสร้างของพอร์ท 0 | 31 |
| รูปที่ 4.7 โครงสร้างของพอร์ท 1 | 34 |
| รูปที่ 4.8 โครงสร้างของพอร์ท 2 | 34 |
| รูปที่ 4.9 โครงสร้างของพอร์ท 3 | 35 |
| รูปที่ 4.10 ค่าของรีจิสเตอร์เมื่อเกิดการรีเซ็ต 8051 | 36 |
| รูปที่ 4.11 วงจรออสซิลเลเตอร์ภายใน 8051 | 37 |
| รูปที่ 4.12 8051 ที่ทำงานโดยสัญญาณที่มาจากภายนอก | 38 |
| รูปที่ 4.13 ลำดับสถานะการทำงานใน MCS - 51 | 40 |
| รูปที่ 4.14 Timing Diagram ของการอ่านโปรแกรมจากหน่วยความจำ | 42 |
| รูปที่ 4.15 วงจรที่มี Program Memory อยู่นอก 8051 | 43 |
| รูปที่ 4.16 Timing Diagram ของการอ่านข้อมูลจากหน่วยความจำข้อมูล ภายนอก 8051 | 44 |
| รูปที่ 4.17 Timing Diagram ของการเขียนข้อมูลจากหน่วยความจำข้อมูล ภายนอก 8051 | 45 |
| รูปที่ 4.18 วงจรที่มีหน่วยความจำสำหรับข้อมูลที่อยู่นอก 8051 | 46 |
| บทที่ 5 | |
| รูปที่ 5.1 วงจรแหล่งจ่ายไฟกระแสตรง + 15 v, +12 v, + 5 v และ - 9 v | 48 |
| รูปที่ 5.2 แสดงส่วนวงจรขับเคลื่อนของมอเตอร์กระแสตรง | 49 |
| รูปที่ 5.3 แสดงส่วนไมโครคอนโทรลเลอร์ 89C51 | 50 |
| รูปที่ 5.4 แสดงการเชื่อมต่ออุปกรณ์ของการ์ดพอร์ท 8255 | 51 |
| รูปที่ 5.5 อัลกอริทึมควบคุมการทำงานของรถ | 53 |
| รูปที่ 5.6 ภาพที่ได้จากการทำซินนิ่งทั้งเส้น | 54 |
| รูปที่ 5.7 แสดงการทำซินนิ่งเพื่อให้ได้เส้นสีดำบางๆเพียง 1 พิกเซล | 55 |
| รูปที่ 5.8 แสดงกรณีทั้งสามของการทำซินนิ่ง | 56 |
| รูปที่ 5.9 แสดงการหาจุดกึ่งกลางของเลนโดยสมมุติทั้งสามจุดของโครงการ | 57 |
| รูปที่ 5.10 แสดงการหาจุดกึ่งกลางของเลนในกรณีต่างๆ | 57 |
| รูปที่ 5.11 แสดงข้อมูลที่ใช้ในการควบคุมดีซีมอเตอร์ล้อย้ำและขวา | 59 |
| รูปที่ 5.12 แสดงข้อมูลจริงที่ใช้ในการควบคุมดีซีมอเตอร์ล้อย้ำและขวา | 60 |

| | หน้า |
|---|------|
| รูปที่ 5.13 โพล์ชาร์ตแสดงการควบคุมความเร็วของรถ | 61 |
| รูปที่ 5.14 โพล์ชาร์ตแสดงการเซ็ตอินเตอร์เฟส | 62 |
| บทที่ 6 | |
| รูปที่ 6.1 แสดงหน้าจอเมื่อทำการเปิดโปรแกรม | 63 |
| รูปที่ 6.2 แสดงอ็อปชันเมนูส่วนโปรแกรม | 64 |
| รูปที่ 6.3 แสดงอ็อปชันเมนูส่วนสกรีนไทม์ | 64 |
| รูปที่ 6.4 แสดงอ็อปชันเมนูส่วนแถบสถานะ | 65 |
| รูปที่ 6.5 แสดงเมนูโปรเซส | 66 |
| รูปที่ 6.6 แสดงฟังก์ชันควบคุมการขับเคลื่อน | 67 |
| รูปที่ 6.7 แสดงเมนูการขับเคลื่อน | 67 |
| รูปที่ 6.8 แสดงแถบสถานะ | 68 |
| รูปที่ 6.9 แสดงผลเมื่อเริ่มโปรแกรม | 68 |
| รูปที่ 6.10 แสดงผลการทำงานส่วนสกรีนไทม์ | 69 |
| รูปที่ 6.11 แสดงฟังก์ชันเทอร์ชโวลต์ | 70 |
| รูปที่ 6.12 แสดงฟังก์ชันรีนนิ่ง | 71 |
| รูปที่ 6.13 แสดงฟังก์ชันการหาจุดกึ่งกลางเลน | 72 |

สารบัญตาราง

| | หน้า |
|--|------|
| บทที่ 3 | |
| ตารางที่ 3.1 แสดงหน้าที่ของแต่ละขาบนสลีต 62 ขา | 16 |
| ตารางที่ 3.2 แสดงหมายเลขพอร์ทของเครื่องคอมพิวเตอร์ | 20 |

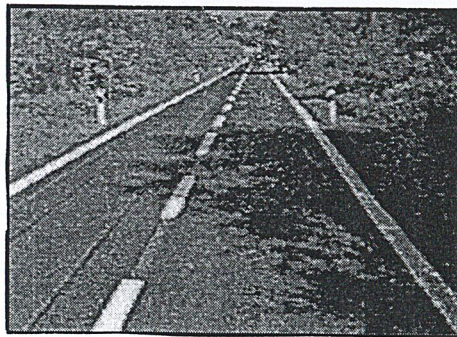
บทที่ 1

บทนำ

1.1 ความเป็นมาและความสำคัญของโครงการ

เนื่องจากการศึกษาการตรวจนับเลนถนน เป็นเทคโนโลยีที่อาจจะเรียกได้ว่าใหม่สำหรับการขับเคลื่อนยานพาหนะระบบอัตโนมัติ ซึ่งปัจจุบันมีนักวิจัยหลายท่านกำลังศึกษาถึงแนวทางที่ดีที่สุด ซึ่งในทางคอมพิวเตอร์ก็คือการใช้เวลาในการประมวลผลให้น้อยที่สุด ซึ่งส่งผลให้สามารถตอบสนองต่อสถานะต่างๆ ได้ทันท่วงที ในปัจจุบันได้มีการทดลองควบคุมการขับเคลื่อนยานพาหนะ โดยใช้การประมวลผลของคอมพิวเตอร์ เพื่อตรวจดูทัศนวิสัยต่างๆ ซึ่งเกินกว่าความสามารถของคอมพิวเตอร์จะทำได้ โดยต้องอาศัยกล้องที่มีประสิทธิภาพสูงและคอมพิวเตอร์ต้องมีความเร็วในการประมวลผลสูง ซึ่งในการประมวลผลภาพจะมีรายละเอียดขั้นตอนดังต่อไปนี้

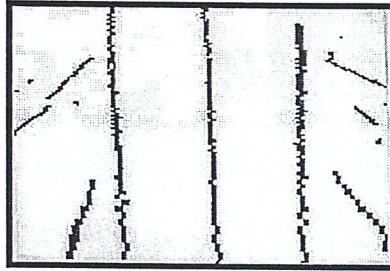
- 1.) การสร้างตัวกำหนดตำแหน่งของเลนถนน เพื่อใช้ในการกำหนดขอบเขตของเลนถนน โดยปราศจากสัญญาณรบกวนหรือวัตถุอื่นบนถนน
- 2.) การแบ่งส่วนย่อยต่างๆ ของภาพที่ได้จากเลนถนน
- 3.) ขั้นตอนการประมาณรูปแบบของเลนถนน ประกอบด้วย พิกัดของจุดกึ่งกลาง ความโค้งของถนน จำนวนของเลนถนน และตำแหน่งของรถยนต์บนเลนถนน



รูปที่ 1.1 เลนถนนที่จะทำการตรวจนับ

1.2 การหาขอบเขตของถนนในเวลาจริง

เราจะวิเคราะห์ส่วนที่ใช้ในการหาขอบเขตของถนนในเวลาจริง การหาทิศทางของถนน และตำแหน่งของยานพาหนะ เพื่อนำไปใช้เป็นข้อมูลในการจับมอเตอร์ ในการหาข้อมูลในเวลาจริงเราจะสนใจเฉพาะสภาพแวดล้อมของถนน และจะประมวลผลโดยใช้ภาพขาวดำ



รูปที่ 1.2 ถนนที่ผ่านการดีเทคและจะนำไปประมวลผล

1.3 ตัวกำหนดตำแหน่งของเลนถนน

จากข้างต้นเราจะพบว่าสิ่งแวดล้อมต่างๆ เข้ามาเกี่ยวข้องในภาพของเลนถนน เช่น ปริมาณของแสง และสิ่งก่อสร้างต่างๆ เราจึงต้องพัฒนาระบบที่จะหาตำแหน่งของถนนในสถานะที่ต่างกันได้ ซึ่งเมื่อเรานำภาพผ่านตัวกรองความถี่ต่ำผ่าน จะได้เซ็ทของจุดต่างๆ ที่ขึ้นกับขอบถนน ตัวกำหนดตำแหน่งของเลนถนนจะปรากฏในรูปจุดสองจุดที่มีเกรเดียนท์สูงมาก คือ จุดทั้งสองแทนการเปลี่ยนจากบริเวณมืดเป็นบริเวณสว่าง



รูปที่ 1.3 ภาพที่นำเข้าไปเป็นอินพุทและเอาต์พุทที่ได้จากการประมวลผล

บทที่ 2

ระบบขับเคลื่อน (Driving System)

ระบบขับเคลื่อนในโครงงานนี้จะใช้มอเตอร์กระแสตรง ซึ่งจะเปลี่ยนความเร็วโดยใช้การเปลี่ยนความกว้างพัลส์ของกระแสที่ใช้ขับมอเตอร์ โดยค่าความเร็วที่ต้องการนั้นจะควบคุมโดยไมโครคอนโทรลเลอร์ ซึ่งจะส่งค่าความเร็วที่ต้องการไปยังวงจรแปลงสัญญาณดิจิตอลเป็นอนาลอก แล้วส่งค่าแรงดันอนาลอกที่ได้ไปยังพัลส์วิธมอดูเลเตอร์เพื่อควบคุมความกว้างพัลส์ โดยหลักการทำงานของมอเตอร์กระแสตรงและวงจรควบคุมความเร็วเป็นดังนี้

2.1 หลักการทำงานของมอเตอร์กระแสตรง

มอเตอร์กระแสตรงเป็นเครื่องจักรกลไฟฟ้าที่ทำหน้าที่แปลงพลังงานไฟฟ้าเป็นแรงบิดทางกล โดยแรงบิดของแกนมอเตอร์จะขึ้นอยู่กับค่ากระแสในขดลวดคอกาเมเจอร์และเส้นแรงแม่เหล็กที่ตัดผ่านขดลวดคอกาเมเจอร์ดังแสดงในสมการ 2.1 โดยทิศทางของกระแส แรงบิด และสนามแม่เหล็กแสดงดังรูปที่ 2.1

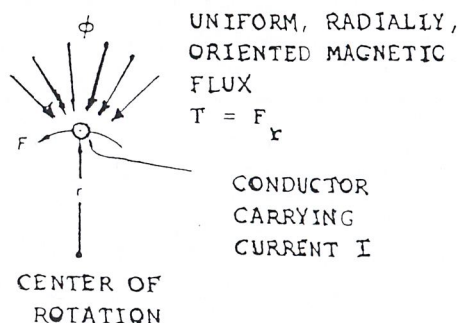
$$T = K \phi I \quad (2.1)$$

เมื่อ T คือ แรงบิดที่แกนของมอเตอร์มีหน่วยเป็นนิวตันเมตร (N-m)

K คือ ค่าคงที่ทางกายภาพของมอเตอร์ (Sec^2/m)

ϕ คือ เส้นแรงแม่เหล็กที่ตัดผ่านขดลวดคอกาเมเจอร์มีหน่วยเป็นเวเบอร์ (Weber)

I คือ กระแสในขดลวดคอกาเมเจอร์มีหน่วยเป็นแอมแปร์ (Ampere)



รูปที่ 2.1 แสดงการเกิดแรงบิดในมอเตอร์กระแสตรง

และเมื่อขดลวดตัวนำเคลื่อนที่ในสนามแม่เหล็กจะทำให้เกิดแรงดันตกคร่อมขดลวด ซึ่งมีค่าขึ้นอยู่กับความเร็วของมอเตอร์และมีทิศทางต้านการไหลของกระแส โดยมีความสัมพันธ์ดังแสดงในสมการ 2.2

$$E = K \phi W \quad (2.2)$$

เมื่อ E คือ แรงดันย้อนกลับมีหน่วยเป็นโวลต์ (Volt)

W คือ ความเร็วของมอเตอร์มีหน่วยเป็นเรเดียนต่อวินาที (rad/sec)

2.1.1 การแยกประเภทของมอเตอร์กระแสตรง

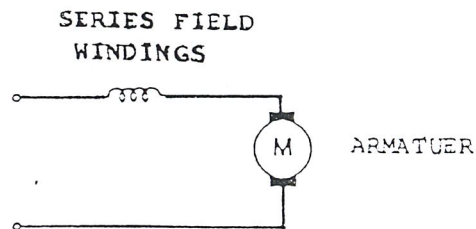
มอเตอร์กระแสตรงสามารถแบ่งได้หลายประเภทตามลักษณะการสร้างสนามแม่เหล็กและโครงสร้างของอาเมเจอร์ โดยเมื่อแบ่งตามลักษณะการสร้างสนามแม่เหล็กสามารถแบ่งได้สองประเภทคือ

1) มอเตอร์กระแสตรงแบบปรับเส้นแรงแม่เหล็กได้

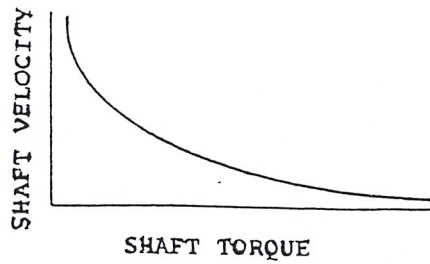
มอเตอร์กระแสตรงแบบปรับเส้นแรงแม่เหล็กได้สามารถแบ่งได้สองประเภท คือ

- แบบขดลวดสนามแม่เหล็กต่ออนุกรมกับขดลวดอาเมเจอร์

มีโครงสร้างดังรูปที่ 2.2 มอเตอร์แบบนี้มีเส้นแรงแม่เหล็กเป็นสัดส่วนกับกระแส จึงสามารถปรับค่าเส้นแรงแม่เหล็กได้ โดยมีความสัมพันธ์ในลักษณะที่ไม่เป็นเชิงเส้นดังรูปที่ 2.3 มอเตอร์ชนิดนี้เหมาะสำหรับงานที่ต้องการแรงบิดต่ำความเร็วสูงหรือความเร็วต่ำแรงบิดสูง



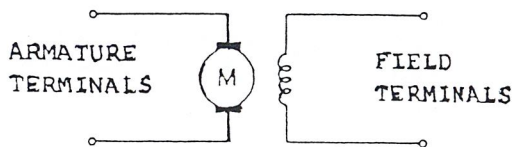
รูปที่ 2.2 มอเตอร์กระแสตรงแบบอาเมเจอร์ต่ออนุกรมกับสนามแม่เหล็ก



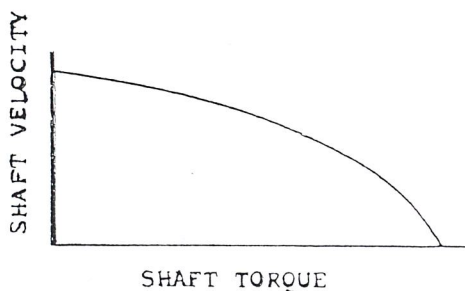
รูปที่ 2.3 ความสัมพันธ์ระหว่างความเร็วและแรงบิดของมอเตอร์อนุกรมที่แรงดันคงที่

- มอเตอร์กระแสตรงแบบสนามแม่เหล็กแยกกระตุ้น

นิยมเรียกอีกชื่อว่าชัณฑ์มอเตอร์ (shunt motor) มอเตอร์แบบนี้สามารถสามารถปรับเส้นแรงแม่เหล็กได้โดยอิสระไม่ขึ้นกับค่ากระแสในอามเมเจอร์ มักจะใช้ในงานที่ต้องการแรงบิดสูง โครงสร้างของมอเตอร์ชนิดนี้แสดงดังรูปที่ 2.4 ความสัมพันธ์ระหว่างแรงบิดกับความเร็วของชัณฑ์มอเตอร์ภายใต้สนามแม่เหล็กและแรงดันคงที่แสดงดังรูปที่ 2.5



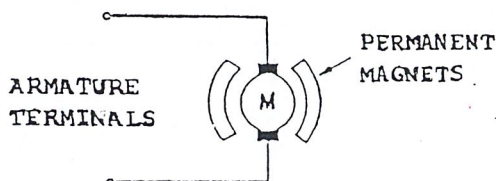
รูปที่ 2.4 โครงสร้างของมอเตอร์กระแสตรงแบบสนามแม่เหล็กแยกกระตุ้น



รูปที่ 2.5 ความสัมพันธ์ระหว่างความเร็วและแรงบิดของชัณฑ์มอเตอร์ที่สนามแม่เหล็กและแรงดันคงที่

2) มอเตอร์กระแสตรงแบบสนามแม่เหล็กคงที่

ระบบการกระตุ้นฟลัดจ์ของสนามแม่เหล็กโดยทั่วไป มักใช้แม่เหล็กถาวรดังรูปที่ 2.6



รูปที่ 2.6 มอเตอร์กระแสตรงแบบฟลัดจ์แม่เหล็กถาวร

ในมอเตอร์กระแสตรงแบบนี้สนามแม่เหล็กจะมีค่าคงที่ ดังนั้นสามารถเขียนความสัมพันธ์ของแรงบิดและแรงดันย้อนกลับได้ดังนี้

$$T = K_t I \quad (2.3)$$

$$E = K_e W \quad (2.4)$$

โดยสมการทางไฟฟ้าของมอเตอร์กระแสตรงแบบสนามแม่เหล็กคงที่เป็นดังนี้

$$V = K_e W + L \frac{di}{dt} + iR \quad (2.5)$$

เมื่อ V คือ แรงดันที่ป้อนให้มอเตอร์มีหน่วยเป็นโวลต์ (Volt)

K_e คือ ค่าคงที่แรงดันย้อนกลับ

L คือ ค่าความเหนี่ยวนำของมอเตอร์มีหน่วยเป็นเฮนรี (Henry)

R คือ ความต้านทานของขั้วมอเตอร์มีหน่วยเป็นโอห์ม (Ohm)

$$T_g = J \frac{dw}{dt} + BW + T_r + T_l \quad (2.6)$$

เมื่อ T_g คือ แรงบิดที่เกิดจากอาร์เมเจอร์มีหน่วยเป็นนิวตัน-เมตร (N-m)

J คือ ผลรวมของโมเมนต์ความเฉื่อยของมอเตอร์และโหลด

W คือ ความเร็วการหมุนของมอเตอร์มีหน่วยเป็นเรเดียนต่อวินาที (Rad/Sec)

B คือ สัมประสิทธิ์ของวิสคอสแดมป์

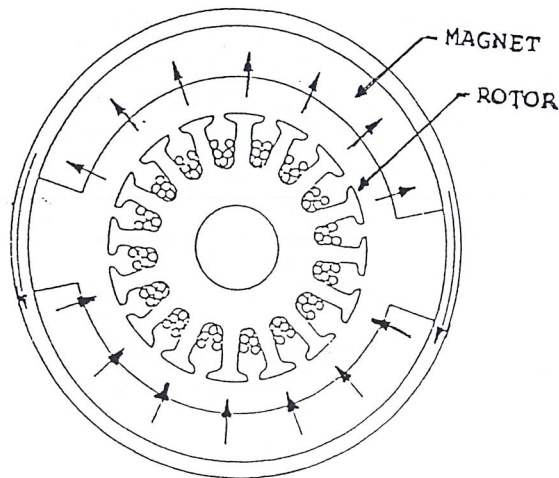
T_r คือ แรงบิดเสียดทานมีหน่วยเป็นนิวตัน-เมตร (N-m)

T_l คือ แรงบิดที่โหลดมีหน่วยเป็นนิวตัน-เมตร (N-m)

และเมื่อเราแบ่งมอเตอร์กระแสตรงออกตามลักษณะโครงสร้างของอาเมเจอร์ เราจะ
สามารถแบ่งได้ดังนี้

1) มอเตอร์กระแสตรงแบบอาเมเจอร์มีขดลวดพันอยู่บนพื้นผิว

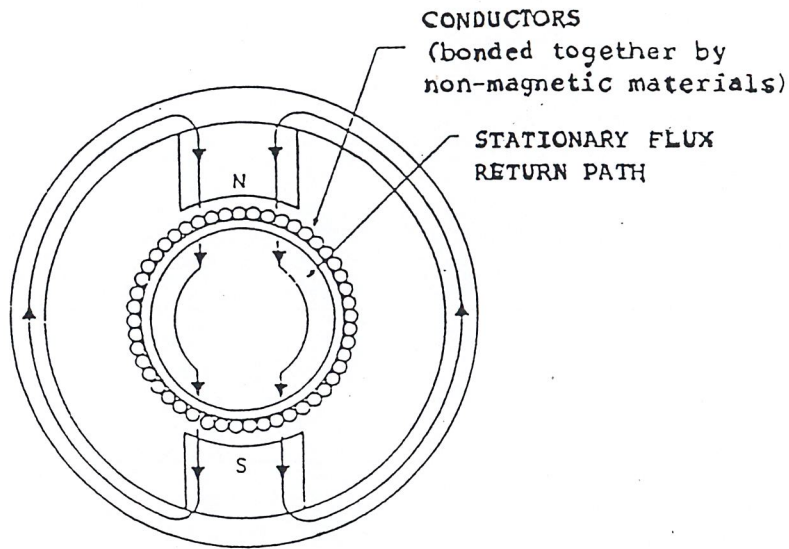
มีโครงสร้างดังรูปที่ 2.7 ซึ่งโครงสร้างแบบนี้มีค่าความเหนียวนำต่ำ ทำให้มอเตอร์แบบ
นี้มีขนาดใหญ่และราคาแพง



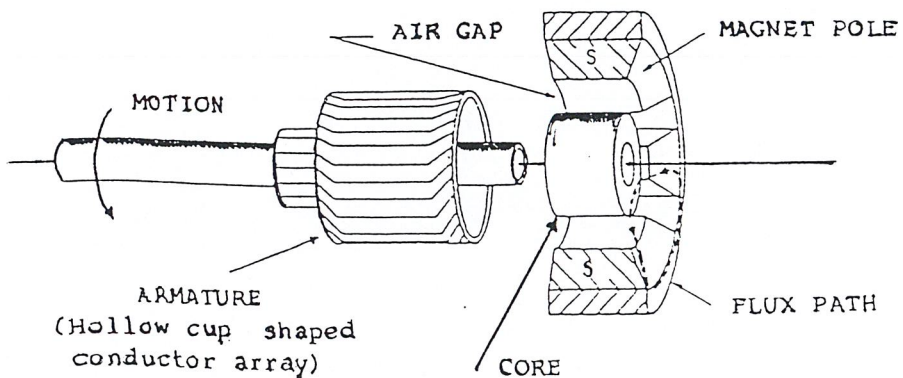
รูปที่ 2.7 แสดงรูปหน้าตัดของมอเตอร์กระแสตรงแบบอาเมเจอร์มีขดลวดพันอยู่บนพื้น
ผิวและที่ลัดเป็นแม่เหล็กถาวร

2) มอเตอร์กระแสตรงแบบอาเมเจอร์เป็นขดลวดหมุน

มอเตอร์กระแสตรงแบบนี้ได้รับการออกแบบให้โมเมนต์ของแรงเฉื่อยต่ำ มีโครงสร้าง
แสดงดังรูปที่ 2.8 และ 2.9 มอเตอร์กระแสตรงแบบนี้มีช่องว่างอากาศมากกว่ามอเตอร์กระแสตรง
แบบอื่นๆ ดังนั้นจึงต้องออกแบบให้โครงสร้างของแม่เหล็กใหญ่ขึ้น จึงมีราคาแพงมาก นอกจากนี้
ยังมีความจุความร้อนต่ำ ทำให้มอเตอร์เสียหายได้ง่ายและยังมีค่าความเหนียวนำต่ำมากอีกด้วย



รูปที่ 2.8 หน้าตัดของมอเตอร์กระแสตรงแบบอาเมเจอร์เป็นขดลวดหมุน



รูปที่ 2.9 รูปหน้าตัดด้านข้างของมอเตอร์กระแสตรงแบบอาเมเจอร์เป็นขดลวดหมุน

นอกจากนี้ยังมีมอเตอร์กระแสตรงที่มีโครงสร้างแบบอื่นๆ อีกซึ่งไม่ขอกกล่าวถึงในที่นี้

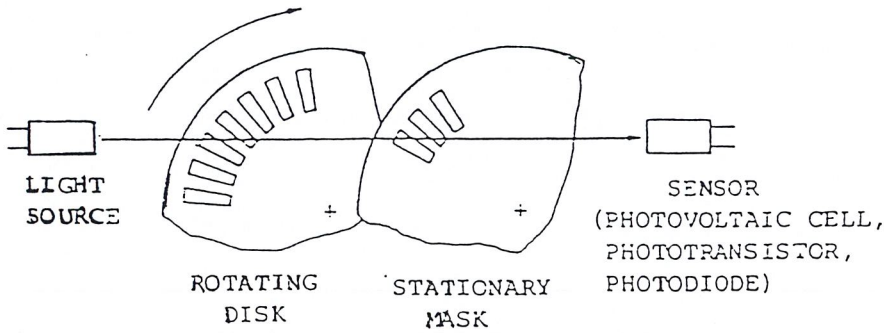
2.2 พัลส์วามอดูเลชันแอมพลิฟายเออร์ (Pulse Width Modulation Amplifier)

ระบบที่ใช้ควบคุมความเร็วโดยทั่วไป ได้แก่ ระบบดิซิติเนียร์เซอร์โวแอมพลิฟายเออร์ สร้างขึ้นเพื่อใช้เป็นอุปกรณ์ขยายแบบลิเนียร์ มีหน้าที่ควบคุมกระแสและแรงดันที่ใช้ในการขับเคลื่อนมอเตอร์เพื่อให้ได้ค่าความเร็วที่ต้องการ และเนื่องจากการควบคุมนี้ทำโดยการเปลี่ยนความกว้างพัลส์ของแรงดันที่ใช้ขับเคลื่อน ดังนั้นส่วนแอมพลิฟายเออร์จะทำการลดแรงดัน ซึ่งเท่ากับผลต่างของแรงดันและแรงดันที่มอเตอร์ใช้งานจริง

2.2.1 การทำงานของพัลส์วิชมอดูเลชันแอมพลิฟายเออร์

พัลส์วิชมอดูเลชันแอมพลิฟายเออร์สามารถแบ่งได้เป็นสามชนิดตามลักษณะของการทำงาน คือ ไบโพลาร์ ยูนิโพลาร์ และลิมิตยูนิโพลาร์ ซึ่งมีโครงสร้างดังรูปที่ 2.10 โดยมีความถี่ในการสวิตช์เป็น f_s และ t_{on} ที่เกิดในช่วงแรก ส่วน t_{off} เกิดในช่วงหลัง โดย

$$t_{on} \text{ เมื่อ } 0 < t < t_1, t_{off} \text{ เมื่อ } t_1 < t < t_f$$



รูปที่ 2.10 พัลส์วิชมอดูเลชันแอมพลิฟายเออร์และมอเตอร์กระแสตรง

แบบไบโพลาร์จะมี T1 และ T4 นำกระแสระหว่างเฟสออน ส่วน T2 และ T3 นำกระแสระหว่างเฟสออฟ ซึ่งจะได้อะไรแรงดันตกคร่อมมอเตอร์เป็น

$$V_m = V_{ab} \left. \begin{array}{l} V_g : 0 \leq t \leq t_1 \\ -V_g : t_1 \leq t \leq t_f \end{array} \right\} \quad (2.7)$$

เมื่อ V_m คือ แรงดันตกคร่อมมอเตอร์มีหน่วยเป็นโวลท์ (Volt)

แบบยูนิโพลาร์จะลดจำนวนทรานซิสเตอร์ในการสวิตช์ลง การสวิตช์จะขึ้นอยู่กับว่า V_{in} มีค่าเป็นบวกหรือลบ เมื่อ V_{in} เป็นบวก T4 จะนำกระแสตลอดคาบ ในขณะที่ T1 นำกระแสในช่วง

เฟสออน และ T2 นำกระแสในช่วงเฟสออฟ เมื่อ V_{in} เป็นลบ T2 จะนำกระแสตลอดคาบ โดยมี T3 และ T4 สลับกันทำงาน เมื่อ V_{in} เป็นบวกได้

$$\left. \begin{array}{l} V_{in} \\ \end{array} \right\} \begin{array}{l} V_g : 0 < t < t_1 \\ 0 : t_1 < t < t_f \end{array} \quad (2.8)$$

และเมื่อ V_{in} เป็นลบจะต่างกันที่เครื่องหมายของ V_{in} เท่านั้น

จากลักษณะที่กล่าวมาทั้งสองแบบนี้มีประโยชน์เหมือนกัน ซึ่งในแต่ละกรณีจะมีทรานซิสเตอร์คู่หนึ่งนำกระแสในขณะที่อีกคู่หนึ่งหยุดนำกระแส ซึ่งจะมีเวลาสะสมและปล่อยออกของทรานซิสเตอร์เกิดขึ้น และอาจทำให้ทรานซิสเตอร์ทั้งหมดนำกระแสในเวลาเดียวกัน ซึ่งทำให้แหล่งจ่ายไฟลัดวงจร เราจำเป็นต้องหลีกเลี่ยงสภาวะดังกล่าว โดยสร้างช่วงดีเลย์ระหว่างการหยุดและนำกระแสของทรานซิสเตอร์

แบบลิมิตยูนิโพลาร์มีความจำเป็นต้องมีช่วงดีเลย์ ซึ่งการสวิตช์ขึ้นกับค่า V_{in} เป็นบวกหรือลบ เมื่อ V_{in} เป็นบวก T4 จะนำกระแสตลอดคาบ ในขณะที่ T1 นำกระแสในช่วงเฟสออน ทั้ง T1 และ T4 จะนำกระแสส่งผลให้แรงดันตกคร่อมมอเตอร์ คือ

$$V_m = V_g \text{ เมื่อ } 0 \leq t \leq t_1$$

ระหว่างเฟสออฟจะมีกระแสเพียงตัวเดียวส่งผลให้ V_{in} ขึ้นอยู่กับ I_{ab} ตราบใดที่ $I_{ab} > 0$ ซึ่งเป็นสภาวะปกติ เมื่อ $V_{ab} > 0$ กระแส I_{ab} จะไหลผ่าน D2 และ T4 เป็นผลให้ $V_a = 0$ และ

$$\left. \begin{array}{l} V_m = V_{ab} = 0 \\ \end{array} \right\} \begin{array}{l} t_1 \leq t \leq t_f \\ I_{ab} > 0 \end{array} \quad (2.9)$$

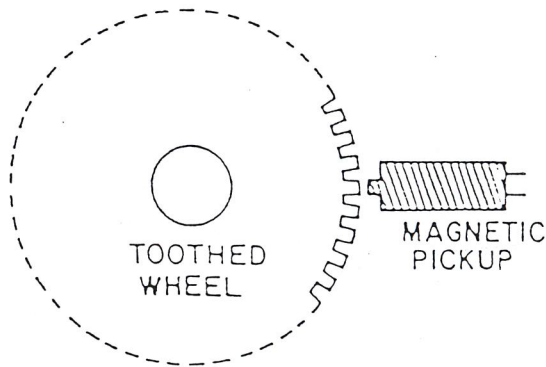
ซึ่งจะเกิดขึ้นภายหลังเปลี่ยนขั้ว V_{in} ในที่สุดถ้าเราสามารถทำให้ $I_{ab} = 0$ ส่งผลให้ทั้ง D1 และ D4 ไม่นำกระแสและแรงดัน V_{in} จะอยู่ระหว่าง 0 และ V_g ดังนี้

$$\left. \begin{array}{l} 0 < V_{in} < V_g \end{array} \right\} \begin{array}{l} t_1 \leq t < t_f \\ I_{ab} = 0 \end{array} \quad (2.10)$$

อย่างไรก็ตามถ้า $I_{ab} > 0$ เป็นสถานะปกติ เมื่อ $V_{in} > 0$ แบบยูนิโพลาร์และแบบลิมิตยูนิโพลาร์จะแสดงคุณสมบัติคล้ายคลึงกันมาก

2.2.2 กำลังงานสูญเสียที่ตัวมอเตอร์

ธรรมชาติของพัลส์วีรฆมอดูละชั้นแอมพลิฟายเออร์ซึ่งถูกใช้กับมอเตอร์กระแสตรงจะมีคุณสมบัติดังรูปที่ 2.11



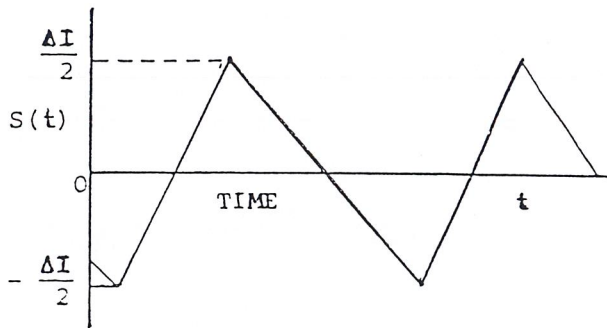
รูปที่ 2.11 ความสัมพันธ์ระหว่างความเร็วและแรงบิด

ปัญหาแรกในการพิจารณาที่เกี่ยวข้องกับการสูญเสียกำลังงานของแอมพลิฟายเออร์ จะแสดงโดยเปรียบเทียบระหว่างพัลส์วีรฆมอดูละชั้นแอมพลิฟายเออร์กับลิเนียร์มอดูละชั้นแอมพลิฟายเออร์ การสูญเสียกำลังงานในตัวมอเตอร์ที่มีค่าความต้านทานของขดลวดคอปเปอร์ (R) แรงบิดเสียดทานภายในมอเตอร์ (T_f) และวิสคอสแดมพ์ปิ้งแฟกเตอร์ (D)

$$P = \underbrace{I^2(t)R}_{K_t} + \underbrace{K_c T_f W + K_c D W^2}_{K_t} \quad (2.11)$$

ถ้าเราให้มอเตอร์ถูกขับที่ความเร็ว W ทำโดยใช้ลิเนียร์แอมพลิฟายเออร์ซึ่งมีกระแสไหลในขดลวดคอปเปอร์ $I(t)$ และการสูญเสียกำลังงาน P_L ถ้าใช้พัลส์วีรโมดูลชันแอมพลิฟายเออร์ขับมอเตอร์ให้มีความเร็วเดียวกันนี้ กระแสที่ต้องการ คือ $I_p(t)$ ซึ่งเป็นผลรวมระหว่าง $I(t)$ และค่ายอดของลูกคลื่นสามเหลี่ยม $S(t)$ ซึ่งแสดงดังรูปที่ 2.12 คือ

$$I_p(t) = I(t) + S(t) \quad (2.12)$$



รูปที่ 2.12 ลูกคลื่นสามเหลี่ยมของกระแส
ค่าการสูญเสียกำลังงานของลิเนียร์แอมพลิฟายเออร์ คือ

$$P_L = \underbrace{I^2(t)R}_{K_t} + \underbrace{K_c T_f W + K_c D W^2}_{K_t} \quad (2.13)$$

P_{lp} หาจากการแทนสมการ 2.13 ลงในสมการ 2.12 สังเกตว่าเทอมแรกเท่านั้นที่ขึ้นอยู่กับ $RI_p(t)$ คือ

$$I_p^2(t) = R [I(t) + S(t)]^2 = RI^2(t) + 2RI(t)S(t) + RS^2(t) \quad (2.14)$$

เทอมที่สองทางขวามือของสมการ 2.17 เป็นผลคูณของ $S(t)$ ซึ่งมีค่าเฉลี่ยเป็นศูนย์กับ

$I(t)$ ถ้าค่าทั้งสองไม่สัมพันธ์กันคงปรากฏในกรณีส่วนใหญ่ ผลคูณที่ได้จะมีค่าเฉลี่ยเป็นศูนย์เช่นกัน เทอมสุดท้ายของสมการ 2.17 สามารถหาค่า $S(t)$ ที่ให้มาในรูปที่ 2.12 และจะสามารถหาค่าเฉลี่ยได้เป็น

$$RS^2(t) = RI^2(t) \quad (2.15)$$

ต่อไปนี่เมื่อพิจารณาค่าความแตกต่างเฉลี่ยในการสูญเสียพลังงานจากสมการ 2.15 ,2.16 ,2.17 และ2.18 คือ

$$(PL_p - PL)_{ave} = R[I^2P(t) - I^2(t)]_{ave} \quad (2.16)$$

ซึ่งถ้าทำการทดลองจะพบว่าพัลส์วีรฆมอดูเลชันแอมพลิฟายเออร์มีการสูญเสียกำลังงานในมอเตอร์น้อยมาก

2.2.3 การเลือกความถี่ของการสวิทช์

การเลือกความถี่ของการสวิทช์ f_s สามารถทำได้โดยใช้หลักการดังต่อไปนี้

1) ความถี่ของการสวิทช์ต้องมีค่าสูงพอที่จะทำให้แอมมิตูดแควนซ์ของอามเจอร์มีค่าสูงกว่าความต้านทานของความถี่ที่ถูกเลือก เพื่อเป็นการกำจัดการเปลี่ยนแปลงของกระแส

$$2\pi f_s L \gg R \quad (2.17)$$

เมื่อ f_s คือ ความถี่ในการสวิทช์มีหน่วยเป็นเฮิรตซ์ (Hz)

L คือ ความเหนี่ยวนำของขดลวดอามเจอร์มีหน่วยเป็นเฮนรี (Henry)

R คือ ความต้านทานของขดลวดอามเจอร์มีหน่วยเป็นโอห์ม (Ohm)

2) ความถี่ของการสวิทช์ต้องสูงพอที่จะทำให้ระบบเซอร์โวไม่มีผลตอบสนอง ดังนั้น

$$f_s > 10 f_{BW} \quad (2.18)$$

3) f_s ต้องมากกว่าความถี่เรโซแนนซ์ของรูป

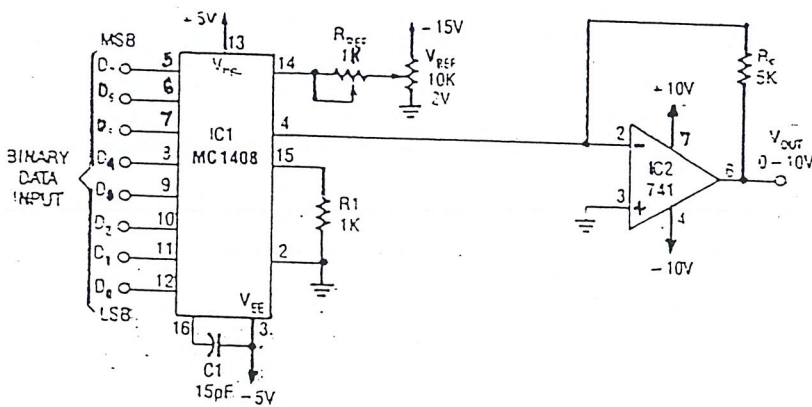
$$f_s > (f_{res})_{max} \quad (2.19)$$

ตามภาวะข้างต้นพบว่าต้องเพิ่มค่า f_s แต่การเพิ่มค่า f_s ก็ทำให้เกิดผลเสียบางประการ

4) การเพิ่มค่าความถี่การสวิตช์ทำให้เกิดกำลังงานสูญเสียในเอาต์พุตทรานซิสเตอร์มากขึ้น ดังนั้นต้องทำให้ f_s ต่ำลงโดยยังสอดคล้องกับสถานะที่ผ่านมาด้วย

5) ศีลต์เฟสที่ต้องการในไบโพลาร์และยูนิโพลาร์แอมพลิฟายเออร์เพื่อป้องกันการลัดกระแสของทรานซิสเตอร์ ส่งผลให้เกิดข้อจำกัดในการเลือกความถี่

2.3 การใช้งาน Digital to Analog Converter (DAC)



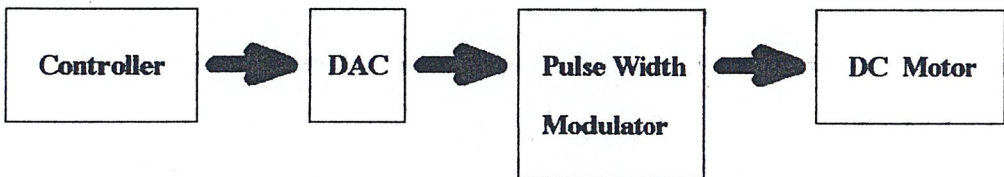
รูปที่ 2.13 วงจร Unipolar D/A

รูปที่ 2.13 แสดงการประยุกต์ใช้งาน DAC อย่างง่ายๆ โดยใช้ DAC เบอร์ MC1408 ของบริษัทโมโตโรล่า การทำงานของวงจรตรงไปตรงมาไม่ซับซ้อน ระดับสัญญาณ TTL ขนาด 8 บิตซึ่งเป็นเลขฐานสองป้อนให้กับอินพุต D0 – D7 ของ DAC ใช้เวลาในการแปลงสัญญาณประมาณ 300 นาโนวินาที ซึ่งเป็นช่วงเวลา settle time ของ MC1408 ภายใน MC1408 ใช้ไบนารีแลคเคอร์ในการสวิตช์และแปลงสัญญาณให้เป็นกระแสไฟฟ้าออกไปทางเอาต์พุต ซึ่งถูกต่อไว้ด้วยออปแอมป์เพื่อแปลงกระแสให้เป็นแรงดันเอาต์พุต

ความละเอียดของวงจรมีขนาดแปดบิต หมายถึง แรงดันเอาต์พุตสามารถเปลี่ยนแปลงได้ตั้งแต่ 0 ถึง 10 โวลต์ โดยมีการเปลี่ยนแปลงได้ 256 ขั้นๆ ละประมาณ 0.039 โวลต์ รหัสฐานสิบหก 00H จะให้แรงดันเอาต์พุต 0 โวลต์ ครั้งหนึ่งของอินพุตสูงสุด คือ 7FH ให้แรงดันเอาต์พุต 5 โวลต์ และเมื่ออินพุตเป็น FFH จะให้แรงดันเอาต์พุต 10 โวลต์

วงจรในรูปที่ 2.13 สามารถนำไปใช้ได้กับทุกวงจรที่ต้องการ DAC เพื่ออินเทอร์เฟสวงจรอนาลอกกับดิจิทัลเข้าด้วยกัน โดยอินพุตจะนำมาจากวงจรดิจิทัลแล้วนำมาเอาท์พุทที่ได้ไปใช้กับวงจรอนาลอกต่อไป

2.4 หลักการออกแบบและสร้างระบบขับเคลื่อน



รูปที่ 2.14 บล็อกไดอะแกรมของระบบขับเคลื่อน

ในระบบขับเคลื่อน ได้ใช้พัลส์วิธึมอดูเลชันแอมพลิฟายเออร์ในการขับเคลื่อนมอเตอร์กระแสตรง โดยมีหลักการทำงาน คือ ไมโครคอนโทรลเลอร์จะส่งค่าความเร็วเป็นเลขฐานสองขนาดสี่บิตออกมายังดิจิทัลทูอนาลอกคอนเวอร์เตอร์ (MC1408) ซึ่งทำหน้าที่แปลงค่าความเร็วซึ่งเป็นเลขฐานสองให้เป็นแรงดันไฟตรงผ่านทางเอาท์พุทของออปแอมป์ และนำไปป้อนให้กับขา Dead time control ของพัลส์วิธึมอดูเลเตอร์ (TL494) โดยความกว้างของเอาท์พุทพัลส์จะเปลี่ยนไปตามค่าแรงดันที่ขา Dead time control ซึ่งเอาท์พุทพัลส์นี้จะนำไปใช้ขับทรานซิสเตอร์ซึ่งต่อแบบยูนิโพลาร์ เพื่อขับกระแสให้มอเตอร์กระแสตรง

บทที่ 3

ส่วนติดต่อระหว่างฮาร์ดแวร์ภายนอกกับคอมพิวเตอร์

ในการควบคุมอุปกรณ์สนามไฟฟ้าโดยใช้เครื่องคอมพิวเตอร์นั้น เราจะควบคุมผ่านทางพอร์ท ซึ่งในโครงการนี้เราจะใช้การ์ดพอร์ท8255ในการติดต่อระหว่างคอมพิวเตอร์กับอุปกรณ์ภายนอก เพื่อใช้ในการควบคุมอุปกรณ์สนามไฟฟ้าต่อไป ซึ่งการเชื่อมต่อและการทำงานของการ์ดพอร์ท8255มีรายละเอียดดังนี้

3.1 การเชื่อมต่อการ์ดพอร์ท8255กับคอมพิวเตอร์

ในการเชื่อมต่อการ์ดพอร์ท8255เข้ากับเครื่องคอมพิวเตอร์นั้น เราจะต่อผ่านทางสล๊อท62ขา ซึ่งมีตำแหน่งของขาและการนับขาดังตารางที่ 3.1 และรูปที่ 3.1 ตามลำดับ

| ตำแหน่ง | สัญญาณ | อินพุท/เอาต์พุท |
|---------|------------|-----------------|
| A1 | I/O CH CK | อินพุท |
| A2 | D7 | อินพุท/เอาต์พุท |
| A3 | D6 | อินพุท/เอาต์พุท |
| A4 | D5 | อินพุท/เอาต์พุท |
| A5 | D4 | อินพุท/เอาต์พุท |
| A6 | D3 | อินพุท/เอาต์พุท |
| A7 | D2 | อินพุท/เอาต์พุท |
| A8 | D1 | อินพุท/เอาต์พุท |
| A9 | D0 | อินพุท/เอาต์พุท |
| A10 | I/O CH RDY | อินพุท |
| A11 | AEN | เอาต์พุท |
| A12 | A19 | อินพุท/เอาต์พุท |
| A13 | A18 | อินพุท/เอาต์พุท |
| A14 | A17 | อินพุท/เอาต์พุท |

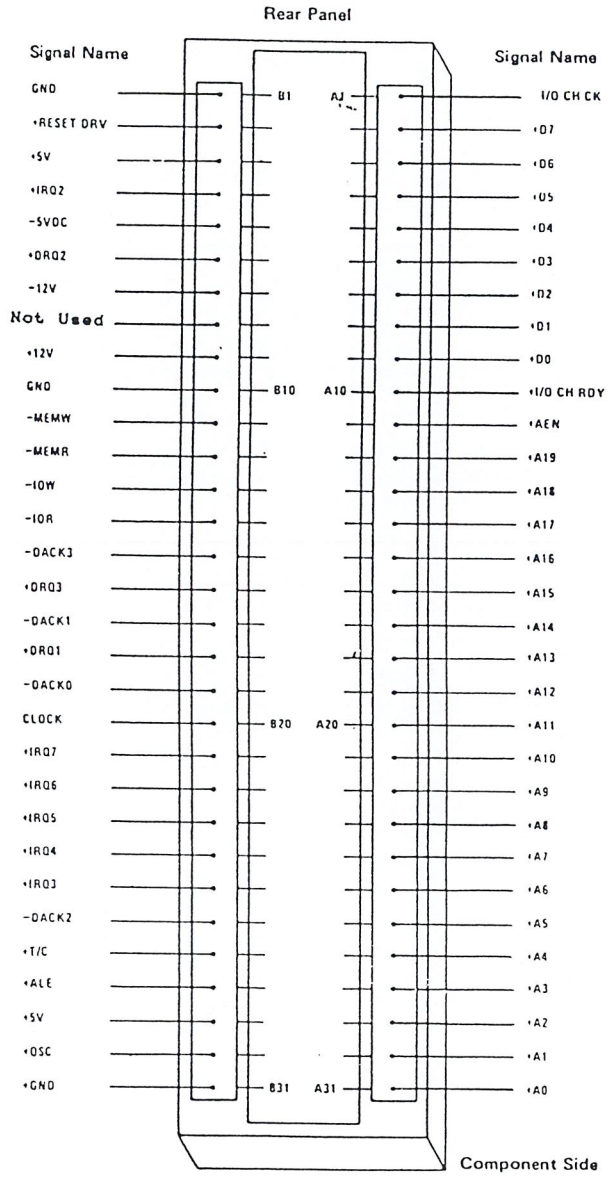
สำนักหอสมุดกลาง พระจอมเกล้าลาดกระบัง

| ตำแหน่ง | สัญญาณ | อินพุท/เอาต์พุท |
|---------|-----------|-------------------|
| A15 | A16 | อินพุท |
| A16 | A15 | อินพุท/เอาต์พุท |
| A17 | A14 | อินพุท/เอาต์พุท |
| A18 | A13 | อินพุท/เอาต์พุท |
| A19 | A12 | อินพุท/เอาต์พุท |
| A20 | A11 | อินพุท/เอาต์พุท |
| A21 | A10 | อินพุท/เอาต์พุท |
| A22 | A9 | อินพุท/เอาต์พุท |
| A23 | A8 | อินพุท/เอาต์พุท |
| A24 | A7 | อินพุท/เอาต์พุท |
| A25 | A6 | อินพุท/เอาต์พุท |
| A26 | A5 | อินพุท/เอาต์พุท |
| A27 | A4 | อินพุท/เอาต์พุท |
| A28 | A3 | อินพุท/เอาต์พุท |
| A29 | A2 | อินพุท/เอาต์พุท |
| A30 | A1 | อินพุท/เอาต์พุท |
| A31 | A0 | อินพุท/เอาต์พุท |
| B1 | GND | กราวนด์ |
| B2 | RESET DRV | เอาต์พุท |
| B3 | +5V | แหล่งจ่ายไฟเลี้ยง |
| B4 | IRQ2 | อินพุท |
| B5 | -5VDC | แหล่งจ่ายไฟเลี้ยง |
| B6 | DRQ2 | อินพุท |
| B7 | -12V | แหล่งจ่ายไฟเลี้ยง |
| B8 | NOT USED | อินพุท |
| B9 | +12V | แหล่งจ่ายไฟเลี้ยง |

| ตำแหน่ง | สัญญาณ | อินพุต/เอาต์พุต |
|---------|--------|-------------------|
| B10 | GND | กราวนด์ |
| B11 | -MEMW | เอาต์พุต |
| B12 | -MEMR | เอาต์พุต |
| B13 | -IOW | อินพุต/เอาต์พุต |
| B14 | -IOR | อินพุต/เอาต์พุต |
| B15 | -DACK3 | เอาต์พุต |
| B16 | DRQ3 | อินพุต |
| B17 | -DACK1 | เอาต์พุต |
| B18 | DRQ1 | อินพุต |
| B19 | -DACK0 | อินพุต/เอาต์พุต |
| B20 | CLOCK | เอาต์พุต |
| B21 | IRQ7 | อินพุต |
| B22 | IRQ6 | อินพุต |
| B23 | IRQ5 | อินพุต |
| B24 | IRQ4 | อินพุต |
| B25 | IRQ3 | อินพุต |
| B26 | -DACK2 | เอาต์พุต |
| B27 | T/C | เอาต์พุต |
| B28 | ALE | เอาต์พุต |
| B29 | +5V | แหล่งจ่ายไฟเลี้ยง |
| B30 | OSC | เอาต์พุต |
| B31 | GND | กราวนด์ |

ตารางที่ 3.1 แสดงหน้าที่ของแต่ละขาบนสล็อต62ขา

ด้านหลังเครื่อง



รูปที่ 3.1 แสดงการนับขาของสล็อตแบบ 62 ขา

โดยสัญญาณที่เราจะนำมาใช้กับการ์ดพอร์ท8255 ได้แก่ A0 – A11 เป็นแอดเดรสของระบบที่ใช้ติดต่อกับหน่วยความจำและอุปกรณ์อินพุต/เอาต์พุต D0 – D7 เป็นสัญญาณข้อมูลขนาด8 บิตที่ใช้ติดต่อกับหน่วยความจำของ ไมโคร โปรเซสเซอร์

- \overline{IORQ}** เป็นสัญญาณอ่านอินพุต/เอาต์พุต เป็นสัญญาณที่ส่งมาจากCPU แยกที่พีที่0
- \overline{IOW}** เป็นสัญญาณเขียนข้อมูลลงบนอุปกรณ์อินพุต/เอาต์พุต สัญญาณนี้ถูกควบคุมจากอุปกรณ์อินพุต/เอาต์พุต แยกที่พีที่ 0
- RES** สัญญาณนี้ใช้สำหรับรีเซทระบบในขณะที่เปิดเครื่องหรือขณะที่ขาดไฟเลี้ยง
- AEN** อีนาเบิลแอดเดรส

นอกจากนี้เรายังต้องรู้แอดเดรสของพอร์ทซึ่งเครื่องคอมพิวเตอร์มีการใช้งานอยู่ เพื่อไม่ให้เกิดความผิดพลาดจากการใช้พอร์ทซ้ำกัน ซึ่งตำแหน่งของพอร์ทต่างๆ แสดงไว้ดังตารางที่ 3.2

| แอดเดรส | หน้าที่ |
|-----------|---|
| 000 - 01F | ดีเอ็มเอ คอนโทรลหมายเลข 1 (8237A – 5) |
| 020 - 03F | อินเตอร์รัพท์ คอนโทรลหมายเลข 1 (8259A) |
| 040 - 05F | ไทม์เมอร์ (8254) |
| 060 - 06F | คีย์บอร์ด (8042) |
| 070 - 07F | นอนมาสเคเบิลอินเตอร์รัพท์และซิมอสแรม |
| 080 - 09F | ดีเอ็มเอ เพจรีจิสเตอร์ (74LS612) |
| 0A0 - 0BF | อินเตอร์รัพท์ คอนโทรลหมายเลข 2 (8259A) |
| 0C0 - 0DF | ดีเอ็มเอ คอนโทรลหมายเลข 2 (8237A) |
| 0F0 - 0FF | 80287 ตัวช่วยประมวลผลทางคณิตศาสตร์ |
| 1F0 - 1F8 | ฮาร์ดดิสก์ |
| 200 - 20F | พอร์ทควบคุมจอยสติ๊ก |
| 258 - 25F | อินเทล อะไบฟ พอร์ท |
| 278 - 27F | พอร์ทขนานเครื่องพิมพ์หมายเลข 2 |

| แอดเดรส | หน้าที่ |
|-----------|---|
| 2E8 - 2EF | พอร์ทอนุกรมหมายเลข 4 |
| 2F8 - 2FF | พอร์ทอนุกรมหมายเลข 2 |
| 300 - 31F | โปรโตไทป์ การ์ด |
| 378 - 37F | พอร์ทขนานเครื่องพิมพ์หมายเลข 1 |
| 380 - 38F | พอร์ทไบซิงโครนัสหมายเลข 2 |
| 3A0 - 3AF | พอร์ทไบซิงโครนัสหมายเลข 1 |
| 3B0 - 3BF | โมโนโครมอะแดปเตอร์ |
| 3BC - 3BE | พอร์ทขนานเครื่องพิมพ์บนโมโนโครมอะแดป เตอร์ |
| 3C0 - 3CF | สำรองสำหรับ อีจีเอ |
| 3D0 - 3D7 | คัลเลอร์กราฟฟิคอะแดปเตอร์ |
| 3E8 - 3EF | พอร์ทอนุกรมหมายเลข 3 |
| 3F0 - 3F7 | ควบคุมฟลอปปีดิสก์ |
| 3F8 - 3FF | พอร์ทอนุกรมหมายเลข 1 |

ตารางที่ 3.2 แสดงหมายเลขพอร์ทของเครื่องคอมพิวเตอร์

3.2 การทำงานของการ์ดพอร์ท8255

เริ่มจากสล็อตของคอมพิวเตอร์จะพบว่า D0-D7 จะถูกต่อเข้ากับขา A1-A8 ของไอซี 74F245 และขาB1-B8 ของไอซี 74F245 จะต่อเข้ากับขา D0-D7 ของพอร์ท8255ทั้งสามตัว โดยขาDIR ของไอซี 74LS245 จะต่อเข้ากับขา B0 ของไอซี 74LS245 เนื่องจากขา IOR ของสล็อตต่อเข้ากับขา A0 ของไอซี 74LS245 ซึ่งเป็นตัวควบคุมสถานะรับหรือส่งข้อมูล ส่วนขา IOW ของสล็อตต่อเข้ากับขา A1 ของไอซี 74LS245 และขา B0,B1 ของไอซี 74LS245 ต่อเข้ากับขา IOR,IOW ของพอร์ท8255ทุกตัวเช่นเดียวกัน เพื่อเป็นการบอกว่าจะรับหรือส่งข้อมูล ส่วนขารีเซท A0,A1 ของสล็อตต่อเข้ากับขา A2,A3,A6 ของไอซี 74LS245 โดยขา B7 ต่อเข้ากับขาเรเซทของพอร์ท8255ทุกตัว ส่วนขาB2,B3 ต่อเข้ากับขา A0,A1 ของพอร์ท8255ทุกตัวเพื่อเซทว่าจะใช้งานพอร์ทใด และให้เป็นอินพุทหรือเอาต์พุท โดย

เซ็ทที่ A0,A1 ของสล็อต ขา E ของไอซี 74F245 จะมีไฟเลี้ยงตลอดทำให้ไอซี 74F245 ไม่ทำงานจนกว่าจะมีลอจิก 0 จากเอาต์พุตของไอซี 74LS688 เท่านั้น ส่วนไอซี 74LS245 ทำงานตลอดเพราะต่อขา E ลงกราวนด์และขา DIR มีไฟเลี้ยงตลอดเวลา ซึ่งเป็นการเซ็ทให้ข้อมูลส่งจาก A ไป B เท่านั้น ส่วนขา A2,A3 ของสล็อตต่อเข้ากับขา A4,A5 ของไอซี 74LS245 และออกที่ขา B4,B5 ไปเข้าที่ขา A,B ของไอซี 74LS139 ซึ่งเป็นวงจรถิโค๊ด 2 ไบนารี 4 ไบนารี โดยขา A2,A3 ของสล็อตทำหน้าที่เลือกที่จะให้พอร์ท 8255 ตัวใดทำงาน การจะส่งหรือรับข้อมูลนั้นต้องอ้างพอร์ทของการ์ดก่อนโดยใช้ไอซี 74LS688 ซึ่งเป็นคอมพาราเตอร์ โดยขา A4-A11 ของสล็อตต่อเข้ากับ P0-P7 และขา 1-8 ของคิปสวิทช์ต่อเข้ากับขา Q0-Q7 ของไอซี 74LS688 ซึ่งถ้าแอดเดรสที่ส่งมาตรงกับที่ตั้งคิปสวิทช์ไว้จะทำให้ P เท่ากับ Q แยกที่ฟ 0 ทำให้ขา E ของไอซี 74F245 แยกที่ฟทำให้รู้ว่าพอร์ท 8255 ตัวใดทำงานที่ตำแหน่งพอร์ทเท่าใด และใช้พอร์ทใดรับหรือส่งข้อมูลตัวอย่างเช่นเราตั้งคิปสวิทช์ไว้ที่ 00110000 (300) เมื่อเราป้อน A0-A11 เป็น 300H คือ

A0-A1 เป็น 00 ทำให้ทราบว่าเราใช้พอร์ท A

A2-A3 เป็น 00 ทำให้ 74LS139 ดีโค๊ดออกที่ Y0 ทำให้พอร์ท 8255 ตัวที่หนึ่งทำงาน

A4-A11 เป็น 00110000 ตรงกับที่ตั้งคิปสวิทช์ไว้ทำให้การ์ดพอร์ททำงานโดย

พอร์ท 8255 ตัวที่หนึ่ง PORT A = 300 H

PORT B = 301 H

PORT C = 302 H

CONTROL PORT 1 = 303 H

พอร์ท 8255 ตัวที่สอง PORT A = 304 H

PORT B = 305 H

PORT C = 306 H

CONTROL PORT 1 = 307 H

พอร์ท 8255 ตัวที่สาม PORT A = 308 H

PORT B = 309 H

PORT C = 30A H

CONTROL PORT 1 = 30B H

บทที่ 4

ทฤษฎีบทของไมโครคอนโทรลเลอร์

ไมโครคอนโทรลเลอร์แบบชิพเดี่ยว (Single Ship Microcontroller) คือไมโครคอมพิวเตอร์ที่มีขนาดเล็กโดยบรรจุไว้ในแผงวงจรรวม (integrated circuit) เพียงชิพ เดี่ยวเหมาะสมสำหรับงานงานควบคุมอุปกรณ์อื่นๆโดยอัตโนมัติ เพราะผู้ใช้สามารถเขียน โปรแกรมควบคุมการทำงานได้ตามต้องการ ไมโครคอนโทรลเลอร์แบบชิพเดี่ยวตระกูล 51 หรือ MCS51 อันได้แก่ เบอร์ 8051 และ 8052 จะมีชุดคำสั่งต่างกันเล็กน้อย MCS-51 มีหลายรุ่นซึ่งมีสถาปัตยกรรมภายในที่เหมือนกัน เพียงแต่ขนาดหรือจำนวนหน่วยการทำงานภายในต่างกันออกไป ในที่นี้รวมเรียกว่า 8051

คุณลักษณะพื้นฐานของ MCS - 51

- * หน่วยประมวลผลกลาง 8 bit
- * หน่วยประมวลผลสำหรับข้อมูลแบบบิต (Boolean Processor)
- * ความสามารถในการอ้างตำแหน่งของหน่วยความจำโปรแกรม 64 กิโลไบต์
- * ความสามารถในการอ้างตำแหน่งของหน่วยความจำข้อมูล 64 กิโลไบต์
- * หน่วยความจำภายในขนาด 4 กิโลไบต์ แบบ EPROM (8751) หรือแบบ ROM (เบอร์ 8051)
- * หน่วยความจำแบบ RAM ภายในจำนวน 128 กิโลไบต์
- * พอร์ตอินพุท/เอาต์พุทแบบขนานจำนวน 32 เส้น ซึ่งสามารถแยกการทำงานได้อย่างอิสระ
- * วงจรนับ/จับเวลาขนาด 16 บิต จำนวน 2 วงจร
- * วงจรสื่อสารแบบอนุกรมแบบฟลูคซเพล็กซ์ (Full Duplex)
- * วงจรควบคุมการอินเตอร์รัปต์จากแหล่งกำเนิดสัญญาณ 6 ประเภท พร้อมการกำหนดลำดับความสำคัญไว้ 2 ระดับ
- * วงจรออสซิลเลเตอร์ภายใน

จากข้อดีดังกล่าวทำให้ MCS-51 เป็นที่นิยมนำมาใช้ในการควบคุมระบบอัตโนมัติมาก คุณสมบัติดังกล่าวบรรจุไว้ในวงจรรวมเดี่ยว (Single Chip) ขนาด 40 ขา ดังนั้นจึงสามารถออกแบบให้ระบบทั้งหมดมีขนาดเล็ก และการที่ทั้งหมดบรรจุในวงจรรวมเดี่ยวทำให้ตรวจสอบหาข้อผิดพลาดง่าย และลดปัญหาเรื่องการที่มีสัญญาณรบกวนในระบบ แต่การที่จะใช้งาน MCS-51 จำเป็นต้องศึกษาและ

ทำความเข้าใจถึงองค์ประกอบและ โครงสร้างของ MCS-51 เสียก่อนแล้วจึงเขียนโปรแกรมควบคุมการทำงานให้เป็นไปตามต้องการ

4.1 หน่วยความจำโปรแกรม

หน่วยความจำโปรแกรมของ 8051 เป็นหน่วยความจำสำหรับเก็บข้อมูลและคำสั่งต่างๆ ซึ่งแม้ไม่มีการจ่ายไฟให้แก่ไมโครคอนโทรลเลอร์ ข้อมูลก็ไม่สูญหาย โครงสร้างหน่วยความจำมีลักษณะ เช่น ROM (Read Only Memory) หรือ EPROM (Erasable Programmable Read Only Memory) เป็นต้น

4.1.1 หน่วยความจำโปรแกรมภายใน

ไมโครคอนโทรลเลอร์ตระกูล 8051 นี้ มีขนาดหน่วยความจำภายในแตกต่างกัน ดังนี้ 8051 และ 8052 มีหน่วยความจำแบบ ROM ขนาด 4 กิโลไบต์ และ 8 กิโลไบต์ ตามลำดับ ประกอบภายในไอซี เหมาะกับงานอุตสาหกรรมที่มีกำลังการผลิตมาก

8751 มีหน่วยความจำ EPROM ขนาด 4 กิโลไบต์อยู่ในไอซี ข้อมูลที่จัดเก็บภายในนี้ สามารถลบได้โดยใช้แสงอัลตราไวโอเล็ต แล้วนำไปโปรแกรมใหม่ได้อีก คล้าย EEPROM

8031 และ 8032 ไม่มีหน่วยความจำภายใน จึงต้องมีหน่วยความจำภายนอกในการใช้งานเสมอ

4.1.2 หน่วยความจำโปรแกรมภายนอก

หน่วยความจำโปรแกรมภายนอกเป็นการใช้ EEPROM หรือ ROM เชื่อมต่อเข้ากับระบบของ 8051 โดยมีความจำเป็นต้องใช้เนื่องจากต้องการเก็บข้อมูลมากกว่า 128 หรือ 256 ไบต์เท่านั้น อย่างไรก็ตามไม่ว่าจะนำหน่วยความจำภายนอกนี้ไปใช้งานอะไรก็ตามจะต้องใช้พอร์ทอินพุท/เอาต์พุทของ 8051 ในการติดต่อกับหน่วยความจำภายนอก

4.2 การจัดการหน่วยความจำของ 8051

หน่วยความจำของ 8051 แบ่งออกไว้ 2 แบบตามลักษณะการใช้งาน คือ

4.2.1 Program Memory เป็นหน่วยความจำที่ใช้เก็บคำสั่งในรูปรหัสภาษาเครื่อง (Machine Language) ซึ่งต้องการให้ 8051 ทำงาน เมื่อ 8051 ทำงานก็จะอ่านข้อมูลที่เก็บไว้ในหน่วยความจำประเภทนี้ไปถอดรหัสแล้วสร้างสัญญาณควบคุมส่วนอื่นๆ ให้ทำงานตามรหัสคำสั่งนั้น หน่วยความจำนี้ต้องเป็นแบบ ROM และผู้ใช้ต้องเขียนข้อมูลในแต่ละตำแหน่งของหน่วยความจำเป็นรหัสภาษาเครื่องของ 8051 ตามลำดับการทำงานที่ต้องการ

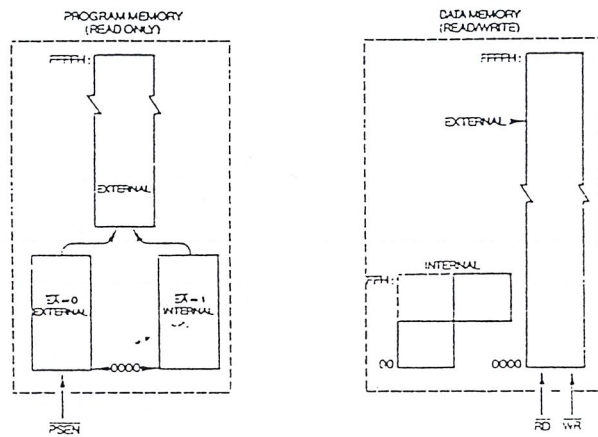
Internal Memory หมายถึง หน่วยความจำที่อยู่ภายใน 8051 ส่วน External Memory หมายถึง หน่วยความจำที่อยู่ภายนอก 8051

ไมโครคอนโทรลเลอร์เบอร์ 8031, 8051 และ 8751 นั้น โดยโครงสร้างและรหัสคำสั่งจะเหมือนกันทุกประการ ต่างกันที่

- 8031 ไม่มีหน่วยความจำภายใน ผู้ใช้ต้องทำการต่อ Program Memory ไว้เองภายนอก 8051
- 8051 มี ROM ภายในขนาด 4 กิโลไบต์ ถ้าต้องการเก็บคำสั่งควบคุมการทำงานไว้ในหน่วยความจำส่วนนี้ ต้องทำการโปรแกรมไว้ตั้งแต่ขั้นตอนการผลิตไอซี ซึ่งผู้ใช้จะไม่สามารถแก้ไขโปรแกรมได้ ถ้าต้องการนำมาใช้งานกับหน่วยความจำโปรแกรมภายนอกก็สามารถทำได้โดยการต่อ ROM ไว้ภายนอก แล้วต่อขา EA/ ของ 8051 ลงกราวนด์ไว้
- 8751 มีหน่วยความจำภายใน EPROM ขนาด 4 กิโลไบต์ ไว้เก็บโปรแกรมคำสั่งที่จะให้ 8751 ทำงาน ผู้ใช้สามารถเขียนโปรแกรมลงไปใน EPROM ได้โดยใช้เครื่องโปรแกรม EPROM (EPROM Programmer) และผู้ใช้สามารถทำการแก้ไขโปรแกรมภายใน EPROM ได้โดยการล้างข้อมูลในทุกตำแหน่งของ EPROM ออกโดยใช้แสงอัลตราไวโอเล็ตผ่านกระจกใสบนวงจรรวมเข้าไปในวงจรรวมตามเวลาที่กำหนด แล้วจึงใช้เครื่องโปรแกรม EPROM ทำการเขียนโปรแกรมใหม่ลงไป

4.2.2 Data Memory เป็นหน่วยความจำที่ 8051 ใช้สำหรับเก็บข้อมูลแล้วนำมาใช้อีก ในระหว่างการทำงานของ 8051 การอ่านหรือเขียนข้อมูลจากหน่วยความจำทำโดยคำสั่งที่เก็บไว้ใน Program Memory หน่วยความจำของ Data Memory นี้จะเป็น Random Access Memory (RAM) ซึ่งถ้ามีไฟเลี้ยงอยู่ ข้อมูลก็จะไม่สูญหาย แต่ถ้าไม่มีไฟเลี้ยง ข้อมูลก็จะสูญหายไป การสูญหายของข้อมูลไม่ได้

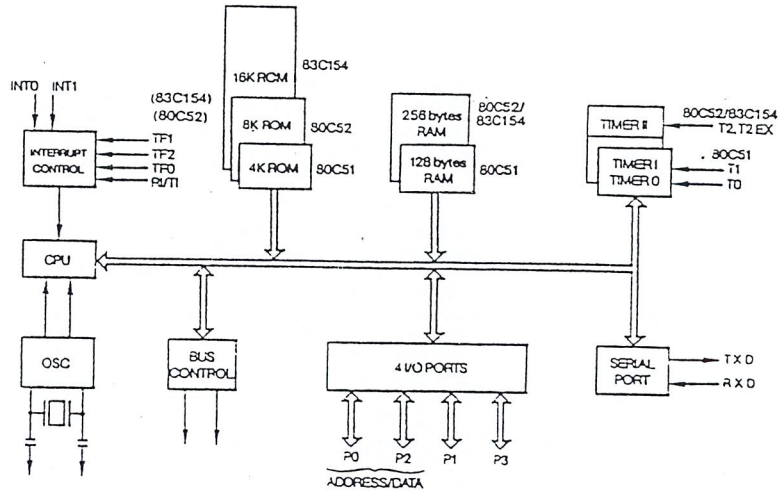
หมายความว่าไม่มีอะไรอยู่เลยแต่เป็นการที่มีข้อมูลใหม่ที่ไม่ใช่ข้อมูลเดิมเข้าเกี่ยวข้อง หน่วยความจำแบบ Data Memory ของ 8051 มีอยู่ 2 ชุด ชุดหนึ่งอยู่ใน 8051 จำนวน 128 ไบท์ที่ตำแหน่ง 00H ถึง 7FH และอีกชุดอยู่ภายนอกของวงจรรวม 8051 มีได้สูงสุด 65535 ไบท์ (64 กิโลไบท์) อยู่ที่ตำแหน่ง 0000H ถึง FFFFH จะต้องต่ออยู่ภายนอก 8051 เสมอ ดังแสดงในแผนภูมิหน่วยความจำ (Memory Map) ในรูปที่ 4.1



รูปที่ 4.1 แผนภูมิหน่วยความจำของ 8051

4.3 โครงสร้างของ 8051

ภายใน 8051 จะประกอบด้วย gate ต่างๆ เช่น AND OR NOT ซึ่ง GATE เหล่านี้จะถูกนำมาออกแบบให้มีหน้าที่การทำงานต่างๆ เช่น วงจรถอดรหัสคำสั่ง (Instruction Decoder) , วงจรสร้างสัญญาณนาฬิกา (Clock Signal Generator) โครงสร้างภายในของ 8051 ประกอบด้วยส่วนย่อยๆ ดังในไดอะแกรมรูปที่ 4.2



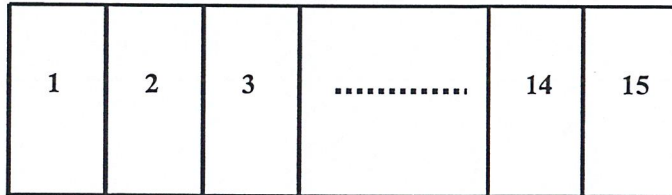
รูปที่ 4.2 โค้ดแอมโมแกรมโครงสร้างของ 8051

โค้ดแอมโมแกรมในรูปที่ 4.2 เป็น โครงสร้างหลักๆ ของ 8051 เนื่องจากลักษณะของ 8051 คล้าย คอมพิวเตอร์จึงประกอบด้วย 3 ส่วนหลักๆ คือ

4.3.1 CPU (Central Processing Unit) หรือ ตัวประมวลผลมีหน้าที่สร้างสัญญาณควบคุมในการติดต่อกับส่วนอื่นๆ เรียกว่าส่วนควบคุม (Control Unit) สัญญาณที่สร้างจากวงจรควบคุม ได้แก่ สัญญาณติดต่อกับหน่วยความจำ, อุปกรณ์รับหรือส่งข้อมูลกับ 8051 ซึ่งส่วนควบคุมการอินเตอร์รัพท์ (Interrupt Control) และส่วนควบคุมบัส (Bus Control) ก็เป็นส่วนหนึ่งของวงจรควบคุมด้วย การสร้างสัญญาณควบคุมจาก CPU นี้ จะทำการสร้างสัญญาณ โดยการถอดรหัสคำสั่งตามที่มีโปรแกรมไว้ และสัญญาณที่สร้างขึ้นจะมีการอิงกับสัญญาณนาฬิกาที่สร้างจากวงจรถอดสซิลเลเตอร์เพื่อให้ทุกส่วนมีการทำงานประสานกันได้อย่างถูกต้อง

ใน CPU นี้ยังประกอบไปด้วยส่วนย่อยอีกส่วนที่เรียกว่า ALU (Arithmetic Logic Unit) ซึ่งทำหน้าที่ประมวลผลทางคณิตศาสตร์ เช่น บวก ลบ คูณ หาร แล้วนำผลลัพธ์ไปเก็บยังรีจิสเตอร์ที่ต้องการ

4.3.2 หน่วยความจำ (Memory) มีไว้สำหรับเก็บข้อมูล มีลักษณะคล้ายกล่องเอกสารที่เรียงต่อกันไว้จำนวนมาก แต่ละกล่องมีเอกสารหนึ่งแผ่น ดังรูปที่ 4.3 มีกล่องเอกสารทั้งหมด 15 กล่อง



รูปที่ 4.3 ภาพเสมือนของหน่วยความจำ

ถ้าต้องการเอาเอกสารจากกล่องใด หรือเอาเอกสารไปเก็บไว้ในกล่องใด ต้องรู้หมายเลขของกล่องเสียก่อน ซึ่งถ้าเป็นหน่วยความจำแล้วหมายเลขของกล่องก็คือ ตำแหน่งของหน่วยความจำ หรือแอดเดรสนั่นเอง การนำข้อมูลไปเก็บไว้ในกล่องเรียกว่าการเขียนข้อมูล (Write) และการนำข้อมูลออกจากหน่วยความจำเรียกว่าการอ่านข้อมูล (Read) ซึ่งแต่ละตำแหน่งของหน่วยความจำจะสามารถเก็บข้อมูลได้เพียงแปดหลักของเลขฐานสอง ดังนั้นแต่ละตำแหน่งของหน่วยความจำสามารถเก็บข้อมูลได้ระหว่าง 0 ถึง 255 (00000000 ถึง 11111111 ในเลขฐานสอง) แต่จำนวนตำแหน่งที่จะเก็บข้อมูลได้ขึ้นกับไมโครโปรเซสเซอร์แต่ละเบอร์ การติดต่อกับหน่วยความจำมีสัญญาณสามกลุ่ม คือ

1) แอดเดรสหรือค่าตำแหน่งที่ต้องการติดต่อกับหน่วยความจำใน 8051 จะติดต่อกับหน่วยความจำประเภท Program Memory หรือ Data Memory ได้สูงสุดชนิดละ 65536 ตำแหน่ง ดังนั้นการอ้างอิงกับหน่วยความจำต้องใช้เลขฐานสองทั้งหมด 16 ตำแหน่ง

2) ข้อมูลที่จะทำการอ่านหรือเขียน

3) สัญญาณควบคุมที่ส่งไปยังหน่วยความจำ เพื่อบอกว่าจะทำการอ่านหรือเขียนข้อมูล

สัญญาณเหล่านี้จะถูกควบคุมใน 8051 สร้างมาจากวงจรลอจิกของคำสั่งที่ 8051 อ่าน จาก หน่วยความจำ Program Memory เข้าไปทำงานนั่นเอง ในรูปที่ 4.2 หน่วยความจำนี้มีขนาดต่างกัน ตาม เบอร์ของไมโครคอนโทรลเลอร์ดังอธิบายรายละเอียดในหัวข้อที่ 4.1

4.3.3 อุปกรณ์อินพุตและเอาต์พุต (Input/Output Device) เป็นส่วนที่จะใช้ส่งข้อมูลเข้าหรือออกจาก 8051 ทำให้ 8051 ติดต่อกับภายนอกได้ ดังในไดอะแกรมรูปที่ 4.2 อุปกรณ์อินพุตเอาต์พุตได้แก่ 4 I/O Port ,Time 0, Time 1, Serial Port การทำงานแต่ละส่วนมีดังนี้

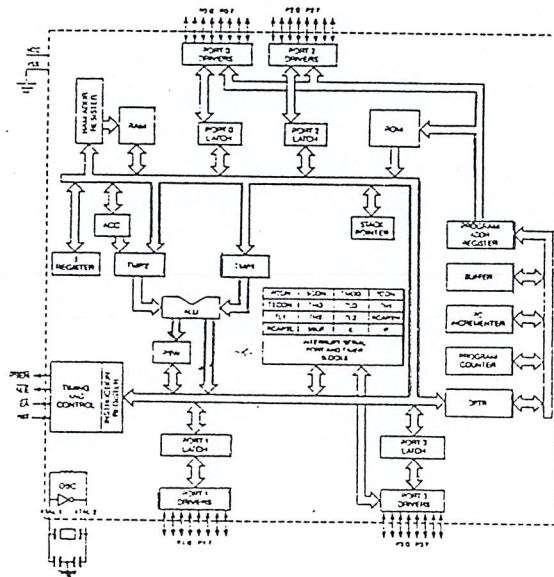
1) I/O Port คำว่า พอร์ตหมายถึงจุดที่ติดต่อกับส่วนที่อยู่นอก 4 I/O Port ของ 8051 เป็นที่ใช้สำหรับรับ-ส่งข้อมูลซึ่งเป็นสัญญาณดิจิทัลเข้าหรือออกจากตัว MSC-51 พอร์ตมีทั้งหมด 4 พอร์ต โดยแต่ละพอร์ตจะรับ-ส่งข้อมูลได้ 8 บิต มีพอร์ต P0, P1, P2, P3 บางพอร์ตใช้ทำงานมากกว่าหนึ่งอย่างได้ เช่น พอร์ต P0 และ P2 จะใช้สำหรับส่งค่าตำแหน่ง (Address) ของหน่วยความจำที่ต้องการติดต่อและพอร์ต P0 จะใช้สำหรับส่งข้อมูลเมื่อต้องการติดต่อกับหน่วยความจำได้ด้วยแต่ไม่ได้เกิดที่เวลาเดียวกัน แต่จะใช้วิธีการทำงานตามลำดับ โดยควบคุมจากสัญญาณควบคุม (Control) ที่ลอจิกที่มาจากแต่ละคำสั่งที่ทำให้คอมพิวเตอร์ทำงานนั่นเอง และสัญญาณทั้งหมดจะอ้างอิงกับสัญญาณนาฬิกา

2) Timer 0 และ Timer 1 เป็นวงจรมีที่สามารถกำหนดให้ทำการนับจำนวนไซเคิลของสัญญาณที่ต่อจากสัญญาณภายนอก 8051 หรือไซเคิลของสัญญาณนาฬิกาใน 8051 ก็ได้ ค่าจากการนับจะถูกอ่านหรือตั้งค่าเริ่มต้นของการนับได้โดย CPU

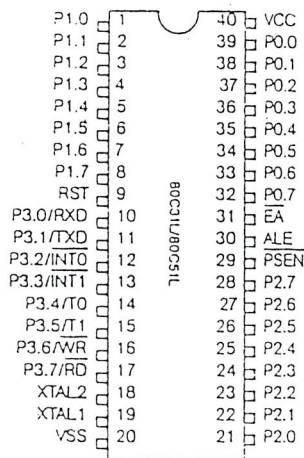
3) Serial Port หรือพอร์ตอนุกรม CPU จะอ่านและเขียนข้อมูลกับ Serial Port เป็นแบบ 8 บิต แต่ข้อมูลจะถูกส่งออกจาก 8051 เรียงไปที่ละบิตออกจากขา TXD และในการรับข้อมูลก็จะรับเข้ามาทีละบิตทางขา RXD และจัดเรียงใหม่เป็น 8 บิต เพื่อให้ CPU อ่านใช้งานต่อไป

4.4 สถาปัตยกรรมของ 8051

ในหัวข้อที่ 4.2 ได้กล่าวถึง โค้ดแแกรมของ 8051 อย่างกว้างๆ ซึ่งพอจะบอกได้โดยสังเขปว่า ประกอบด้วยส่วนใหญ่อะไรบ้าง ในรูปแบบที่ 4.4 เป็นสถาปัตยกรรมภายใน 8051 เพียงชิพเดียว และ สัญญาณจากภายในจะต่อออกสู่ภายนอกขา (Pin) ของ 8051 ที่มีอยู่ 40 ขา ดังรูปที่ 4.5



รูปที่ 4.4 สถาปัตยกรรมภายใน 8051



รูปที่ 4.5 โค้ดแแกรมของ 8051 แบบ DIP

8051 ไมโครคอนโทรลเลอร์ที่บรรจุอยู่ในวงจรรวมแบบ Dual Inline Package (DIP) ซึ่งแต่ละข้างของ 8051 มีขาอยู่ข้างละ 20 ขารวมทั้งหมด 40 ขานั้นจะใช้งานต่างๆ ดังนี้

Vcc

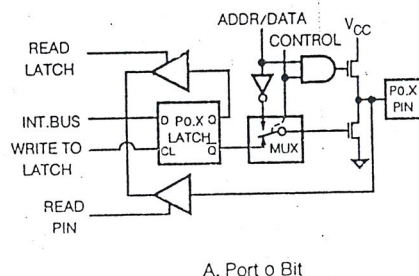
ขา 40 ที่ต้องป้อนไฟเลี้ยง +5 โวลต์เข้าไปเพื่อให้วงจรรวมทำงานได้ ระดับโวลต์เตทของลอจิก 0 และ 1 ของ 8051 จึงต่อเข้ากับอุปกรณ์ลอจิกแบบ TTL ได้โดยตรง

Vss

ขาที่ 20 เป็นขาที่ต้องต่อกับกราวด์ (Ground) ของแหล่งจ่ายไฟ การต่ออุปกรณ์ทั้งหมดจะต้องมีกราวด์ของอุปกรณ์ต่อเข้าด้วยกัน

4.4.1 Port 0

เป็นพอร์ตขนานขนาด 8 บิต อยู่ที่ขา 39 ถึง 32 เริ่มจากบิต 0 ถึงบิต 7 ตามลำดับดังในรูปที่ 4.5 แต่ละขาจะเรียกว่า P0.0, P0.1, ..., P0.7 นั้น P0.7 หมายถึงบิตที่ 7 ของพอร์ต 0 เป็นบิตที่มีนัยสำคัญสูงสุด (Most Significant) และ P0.0 คือบิต 0 ของพอร์ต 0 ซึ่งเป็นบิตที่มีนัยสำคัญต่ำสุด (Least Significant) พอร์ต 0 นี้ใช้ได้ทั้งการรับ - ส่งตำแหน่งและข้อมูลกับหน่วยความจำหรือใช้เป็นพอร์ตรับ - ส่งข้อมูลก็ได้ ข้อมูลที่ส่งออกจากพอร์ต 0 จะถูก Latch ไว้ที่ขาของพอร์ต 0 เป็นแบบ Open Drain Bidirectional ดังรูปที่ 4.6



รูปที่ 4.6 โครงสร้างของพอร์ต 0

ในรูปที่ 4.6 เมื่อเปรียบเทียบกับรูปที่ 4.4 ส่วนหนึ่งของรูปที่ 4.6 ก็คือ Port 0 Latch ในรูปที่ 4.4 และส่วนที่ 2 ของรูปที่ 4.6 ก็คือ Port 0 Driver ของรูปที่ 4.4 นั่นเอง

จาก โครงสร้างในรูปที่ 4.6 เมื่อมีคำสั่งการเขียนข้อมูลมายังพอร์ท 0 ข้อมูลจาก Internal Data Bus จะถูก Latch ไว้ที่ D-FF โดยสัญญาณ “Write To Latch” ที่ถูกสร้างมาจากส่วน Timing and control และสัญญาณ ในการอ่านข้อมูลจากพอร์ท 0 จะอ่านได้ 2 แบบ คือการอ่านข้อมูลที่ส่งไปเก็บไว้ที่พอร์ทก็จะมีสัญญาณ Read Latch มาเพื่ออ่านข้อมูลจาก D-FF กลับไปยัง Internal Data Bus การอ่านข้อมูลอีกแบบหนึ่งก็คืออ่านสถานะของสัญญาณที่เข้ามาทางพอร์ท 0 ก็จะมีสัญญาณ Read Pin มาควบคุมการอ่านพอร์ท 0 จะใช้งานหลายอย่างดังนี้

1) ใช้สำหรับส่งค่าตำแหน่งหน่วยความจำภายนอกที่ต้องการติดต่อกับ ตำแหน่งหน่วยความจำสูงสุดที่จะติดต่อก็ได้ก็คือ 64 Kbyte จึงมีค่าตำแหน่งหน่วยความจำ 16 บิตของเลขฐานสอง ค่าตำแหน่งหน่วยความจำ 8 บิตล่างจะถูกส่งออกไปทางพอร์ท 0 และ 8 บิตบน จะถูกส่งออกไปทางพอร์ท 2

2) ใช้รับ-ส่งข้อมูลกับ Data Memory หรือ ใช้รับข้อมูลจาก Program Memory

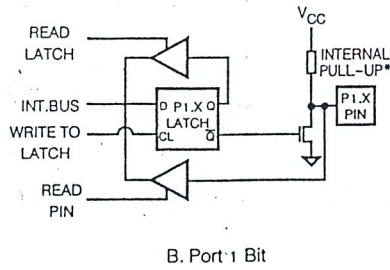
3) ใช้รับส่งข้อมูลผ่านทางพอร์ทโดยตรง ในกรณีที่ไม่มีการใช้หน่วยความจำของ Program Memory หรือ Data Memory ภายนอก

วงจรภายในส่วน Timing and Control จะใช้เป็นตัวสร้างสัญญาณมาควบคุมวงจรในรูปที่ 4.6 เพื่อให้การทำงานแต่ละอย่างข้างต้นเมื่อแต่ละบิตของพอร์ท 0 ทำงานตามข้อ 1 และ 2 ข้างต้น วงจร Timing and Control จะทำให้สถานะลอจิกของขา Control เป็น 1 ซึ่งทำให้ สวิตช์ MUX อยู่ในตำแหน่งข้างบน เมื่อพอร์ท 0 จะส่งข้อมูลซึ่งเป็นค่าตำแหน่งหน่วยความจำหรือข้อมูลที่จะเขียนออกไปยังหน่วยความจำภายนอกก็ส่งค่าดังกล่าวมายัง ADDR/DATA ถ้าข้อมูลที่ส่งมาเป็น 1 จะทำให้สัญญาณออกจาก AND GATE เป็น 1 และสัญญาณที่ออกจาก Inverter เป็น 0 ดังนั้น FET ตัวบน ON (สถานะ ON ของ FET ก็คือความต้านทานขา D และ S มีค่าต่ำมากเสมือนกับเป็นวงจรปิด) ส่วน FET ตัวล่าง OFF ON (สถานะ ON ของ FET ก็คือความต้านทานขา D และ S มีค่าต่ำมากเสมือนวงจรเปิด) สถานะลอจิกที่ขา P0.X PIN จะเป็น 1 แต่ถ้าข้อมูลที่ส่งออกมายัง ADDR/DATA เป็น 0 ก็จะทำให้สัญญาณจาก AND GATE เป็น 0 และสัญญาณที่ออกจาก Inverter เป็น 1 ดังนั้น FET ตัวบนจะ OFF ส่วน FET ตัวล่างจะ

ON ทำให้สถานะลอจิกที่ขา P0.X PIN เป็น 0 เมื่อ 8051 ต้องการให้พอร์ท 0 สำหรับการอ่านข้อมูลจาก หน่วยความจำภายนอก หรือใช้ทำงานในข้อ 3 ข้างบนก็จะ ได้โดย วงจรTiming and Control ทำให้สถานะของสัญญาณ Control ทำให้สถานะลอจิกของสัญญาณ Control เป็น 0 ทำให้เอาต์พุตจาก AND GATE เป็น 0 FET ตัวบนเป็น OFF และสวิตช์ MUX จะอยู่ในตำแหน่งข้างล่าง ดังนั้น FET ตัวล่าง จะ ON หรือ OFF ก็แล้วแต่ข้อมูลที่ขา Q ของ D-FF ก็จะมีสัญญาณ Write to Latch มายัง D-FF เมื่อมีการเขียนข้อมูลจาก Internal Data Bus มายัง D-FF ก็จะมีสัญญาณ Write to Latch มายัง D-FF ด้วย ถ้าข้อมูลที่เขียนมาเป็น 1 ก็จะทำให้ขา Q มีสถานะลอจิกเป็น 0 ทำให้ FET ตัวล่าง OFF ดังนั้นขา P0.X จะอยู่เป็นสถานะอิมพีแดนซ์สูง (High Impedance) เพราะ FET ทั้งสองตัวเป็น OFF แต่ถ้าข้อมูลที่เขียนมา ยัง D-FF เป็น 0 ทำให้ FET ตัวล่าง ON แต่ตัวบน OFF ทำให้สถานะลอจิกที่ขา P0.X เป็น 1 ดังนั้น PORT 0 เมื่อให้ทำงานเป็น พอร์ท 0 เป็น พอร์ทส่งข้อมูล (ไม่ใช่ตำแหน่งส่งความจำ) จะ ไม่สามารถแสดงสถานะ ลอจิก 1 ได้จึงต้องต่อตัวต้านทาน Pull Up ไว้ภายนอก ระหว่างขา P0.X กับไฟเลี้ยงวงจร ถ้าใช้พอร์ท 0 สำหรับรับข้อมูลเข้าจะต้องเขียน 1 มาเก็บไว้ยัง D-FF เสียก่อนเพื่อให้ขา P0.X อยู่ในสถานะ High Impedance แล้วใช้คำสั่งอ่านสถานะลอจิกเข้าไปยัง Internal Data Bus ต่อไป โดยคำสั่งอ่านสถานะลอจิกทางพอร์ท 0 ก็จะทำให้วงจร Timing and Control สร้างสัญญาณ Read Pin สำหรับการอ่านสถานะลอจิกข้างต้น ถ้า ไม่เขียน 1 มาเก็บไว้ยัง D-FF ก่อนที่จะอ่านข้อมูลแล้วอาจมีข้อมูลค้างอยู่ที่ D-FF ทำให้ Q เป็น 0 และ Q/ เป็น 1 ซึ่งทำให้ FET ตัวล่าง ON สัญญาณที่ต่อเข้ามาที่ขา P0.X ไม่ว่าจะ มีสถานะลอจิกใดจึงถูกดึงลงกราวด์ ดังนั้นเมื่ออ่านข้อมูลเข้าไปก็จะพบว่าเป็น 0 เสมอ ในการข้อมูลจากหน่วยความจำ ภายนอกนั้น วงจรTiming and Controlก็จะเขียนข้อมูลมายัง D-FF ให้เป็น 1 และสร้างสัญญาณ Control ให้มีลอจิกเป็น 0 ก่อนจะอ่านข้อมูลเข้าไปด้วย

4.4.1 Port 1

เป็นพอร์ทขนานขนาด 8 บิต ในรูปที่ 4.5 คือ ขา P1.0 ถึง P1.7 (ขา 1-8) P1.0 หมายถึงบิตศูนย์ของพอร์ท 1 ซึ่งเป็น Least Significant Bit และ P1.7 หมายถึงบิตเจ็ดของพอร์ท 1 ซึ่งเป็น Most Significant Bit แต่ละบิตเป็นคังรูปที่ 4.7

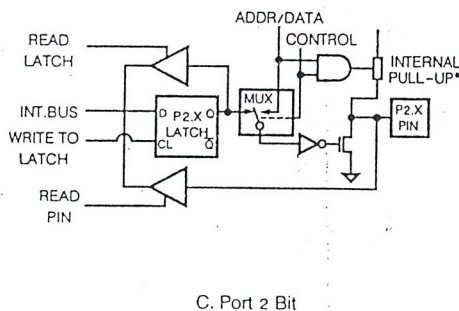


รูปที่ 4.7 โครงสร้างของพอร์ท 1

ส่วนที่ 1 คือ Port 1 Latch ในรูปที่ 4.4 ซึ่งจะมีการทำงานเหมือนส่วนที่ 1 ของพอร์ท 0 ในรูปที่ 4.6 ส่วนที่ 2 คือ Port 1 Driver ในรูปที่ 4.4 Port 1 Driver นี้จะมีตัวต้านทานต่ออยู่เป็น Internal Pull up พอร์ท 1 นี้จะใช้ทำหน้าที่เป็นตัวรับ - ส่งข้อมูลที่ส่งออกไปทางแต่ละขา ก่อนที่จะอ่านข้อมูลเข้าไปทางพอร์ท 1 จะต้องเขียน 1 ไปยังทุกบิตของพอร์ทของส่งข้อมูลที่ส่งออกไปทางแต่ละขา ก่อนที่จะอ่านข้อมูลเข้าไปทางพอร์ท 1 จะต้องเขียน 1 ไปยังทุกบิตของพอร์ท 1 เสียก่อนเพื่อให้ FET อยู่ในสถานะ OFF ก่อนมีขณะนั้นแล้วถ้ามีข้อมูล 0 ส่งออกมาค้างอยู่ที่ D-FF จะทำให้ FET อยู่ในสถานะ ON ดังนั้นถ้าสัญญาณภายนอกส่งเข้ามาที่ขานี้ก็จะถูกลัดวงจรบงกราวด์ โดยไม่สนใจว่าสถานะลอจิกของสัญญาณที่เข้ามาจะเป็นอะไร ข้อมูลที่อ่านเข้าไปจึงจะเป็น 0 เสมอ

4.4.2 Port 2

พอร์ทขนานขนาด 8 บิตคือขา P2.0 ถึง P2.7 (บิต 0 ถึงบิต 7 ของพอร์ท 2) ในรูปที่ 4.5 โครงสร้างของพอร์ท 2 แต่ละบิตจะมีดังรูปที่ 4.8



รูปที่ 4.8 โครงสร้างของพอร์ท 2

ลักษณะโครงสร้างจะเหมือนกับ Port 0 แตกต่างกันใน Port 2 นั้นภาค Driver จะใช้งานเพียง 2 ลักษณะคือ

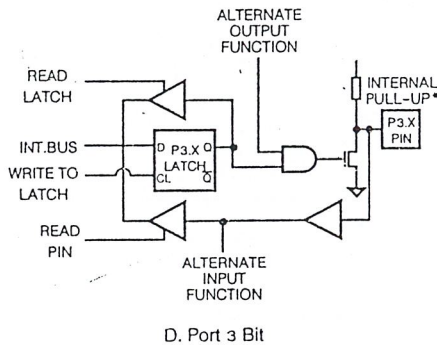
1. ใช้ส่งค่าตำแหน่งหน่วยความจำภายนอกที่ต้องการติดต่อ ค่าตำแหน่งนี้เป็น 8 บิตบนของค่าตำแหน่ง
2. ใช้เป็นพอร์ตรับและส่งข้อมูลกับภายนอก

ดังนั้นภาค Driver ของพอร์ต 2 จึงแตกต่างจาก Driver ของพอร์ต 0 โดยที่ในพอร์ต 2 นั้นจะมีเฉพาะ ADDR (ตำแหน่งหน่วยความจำ) เข้ามาที่ MUX (Multiplexer) เท่านั้น นอกนั้นแล้วการทำงานจะเหมือนกันและที่เอาท์พุทของพอร์ต 2 จะมี Internal pull-up ซึ่งเป็นตัวต้านทานและจะทำให้เอาท์พุทของพอร์ต 2 แสดงสถานะลอจิกเป็น 1 ได้ถ้า FET อยู่ในสถานะ OFF บางครั้งเรียกว่า “ Quasi - bidirectional” เมื่อใช้เป็นพอร์ต อินพุทก็สามารถทำได้โดยการต่อสัญญาณภายนอกเข้ามาโดยตรง ถ้าสัญญาณภายนอกเป็น 0 ก็จะมีกระแสไหลออกจากพอร์ต (Source Current) ในการที่จะใช้พอร์ตนี้เป็นพอร์ตรับข้อมูลเข้า จะต้องเขียน 1 ไปยังแต่ละบิตของพอร์ตเสียก่อน ดังได้อธิบายในเรื่อง Port 0 และ Port 1

4.4.3 Port 3

คือขา P3.0 ถึง P3.7 หรือขา 10 - 17 ตามลำดับในรูปที่ 4.5 พอร์ตนี้มีโครงสร้างดังรูปที่

4.9



รูปที่ 4.9 โครงสร้างของพอร์ต 3

ส่วนที่ 1 ในรูปที่ 4.9 เป็น Latch ข้อมูลที่เขียนมายังพอร์ต 3 ทาง Internal Bus เหมือนกับพอร์ตอื่น ๆ และพอร์ต 3 จะมี Internal pull - up อยู่ทุกบิต แต่พอร์ต 3 นี้แต่ละบิตจะใช้ในการ

| REGISTER | CONTENT |
|----------|---------------|
| PC | 0000H |
| ACC | 00H |
| B | 00H |
| PSW | 00H |
| SP | 00H |
| DPTR | 0000H |
| PO-P3 | 0FFH |
| IP | 00H |
| IE | 0X000000B |
| TMOD | 00H |
| TCON | 0CH |
| T2CON | 00H |
| TH0 | 00H |
| TLO | 00H |
| TH1 | 00H |
| TL1 | 00H |
| TH2 | 00H |
| TL2 | 00H |
| RCAP2H | 00H |
| RCAP2L | 00H |
| SCON | 00H |
| SBUF | Indeterminate |
| IOCON | 00H |

รูปที่ 4.10 ค่าของรีจิสเตอร์เมื่อเกิดการรีเซ็ต 8051

ในตารางรูปที่ 4.10 ช่องทางขาเป็นค่ารีจิสเตอร์ที่อยู่ทางซ้ายเมื่อสิ้นสุดการรีเซ็ต ในรีจิสเตอร์ SBUF เมื่อสิ้นสุดการรีเซ็ต จะมีการรีเซ็ตจะมีค่าที่ไม่แน่นอน และพอร์ทจะอยู่สภาวะลอจิก 1ทุกบิตตลอดเวลาที่สัญญาณของขา RST เป็น HIGH อยู่

เมื่อสัญญาณที่ขา RSTกลับเป็น 0 ก็จะออกจากการรีเซ็ต 8051 จะเริ่มทำงานจากคำสั่งที่อยู่ใน Program memory ตำแหน่ง 0000H เพราะค่าของรีจิสเตอร์ PC (Program Counter) ซึ่งใช้ชี้ตำแหน่งโปรแกรมที่จะทำงานถูกเปลี่ยนให้เป็น 0000H ดังนั้นผู้ใช้จะต้องเขียนโปรแกรมโปรแกรมมาเก็บไว้ที่ตำแหน่ง 0000H ในเครื่องไมโครคอมพิวเตอร์แบบบอร์ดเดี่ยว (Single Board Microcomputer) จะมีโปรแกรมที่เขียนเก็บไว้เริ่มจากตำแหน่ง 0000H นี้เรียกว่า มอนิเตอร์โปรแกรม (Monitor Program)ที่จะคอยรับการกดแป้นพิมพ์ (Keyboard) และแสดงผล (Display) แบบ 7 Segment

ALE

Address Latch Enable ขานี้จะส่งสัญญาณที่มีความถี่ 1/6 เท่าของสัญญาณนาฬิกาจากออสซิลเลเตอร์สัญญาณนี้จะส่งออกมาตลอดเวลาข่วงบางครั้งของการติดต่อกับหน่วยความจำสำหรับข้อมูลภายนอก 8051 สัญญาณนี้จะใช้บอกกับอุปกรณ์ภายนอก 8051 ว่าขณะนี้สัญญาณนี้ Active (เป็นลอจิก1) จะมีการส่งข้อมูลที่เป็น 8 บิตล่างของตำแหน่งหน่วยความจำภายนอก 8051 ที่ต้องการติดต่อออกไปทางพอร์ท 0 อุปกรณ์ภายนอกจะใช้สัญญาณนี้ในการ Latch ข้อมูลไว้เพราะพอร์ท 0 จะส่งค่าตำแหน่งหน่วยความจำออกมาเพียงชั่วขณะเท่านั้น ซึ่งในเวลาต่อมาพอร์ท 0 จะใช้รับ - ส่งข้อมูลกับหน่วยความจำภายนอก สัญญาณ ALE จะสามารถต่อเข้ากับอุปกรณ์ TTL ชนิด LS ได้ถึง 8 อินพุท

PSEN

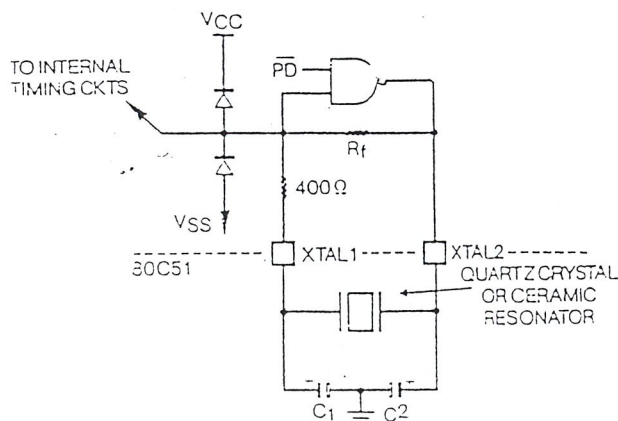
Program Store Enable เป็นขาที่ 29 ในรูปที่ 4.5 ขานี้ปกติจะให้ลอจิก 1 แต่จะส่งลอจิก 0 เมื่อต้องการอ่านคำสั่ง (Latch Instruction) ที่จะนำไปทำงานมาหน่วยความจำสำหรับ โปรแกรมภายนอก 8051 ในกรณีที่อ่านคำสั่งซึ่งเก็บอยู่ในหน่วยความจำสำหรับโปรแกรมภายใน 8051 แล้วสัญญาณนี้จะไม่เปลี่ยนแปลงลอจิกเป็น 0 ขา PSEN นี้สามารถต่อไปยังขาอินพุทของ TTL ชนิด LS ได้ถึง 8 อินพุท

EA

External Access ขา 31 ของรูปที่ 4.5 ขานี้เป็นขาอินพุทที่ต่อเข้าไปยังวงจร Timing and Control ในรูปที่ 4.4 เพื่อควบคุมการสร้างสัญญาณ PSEN ถ้าป้อนสัญญาณลอจิก 0 เข้าไปที่ขา EA นี้ แสดงว่าโปรแกรมในตำแหน่ง 0000H ถึง 0FFFH ที่ต้องการให้ทำงานถูกเก็บไว้ภายนอก เพื่อทำการ FETCH คำสั่งเข้ามาในการทำงานแต่ถ้าสัญญาณที่ป้อนให้ขา EA เป็น 1 หมายความว่าโปรแกรมในตำแหน่ง 0000H ถึง 0FFFH ถูกเก็บไว้ภายใน 8051 การทำงานในตำแหน่งหน่วยความจำช่วงนี้จะอ่านคำสั่งต่างๆ จาก ROM ภายใน 8051

XTAL 1

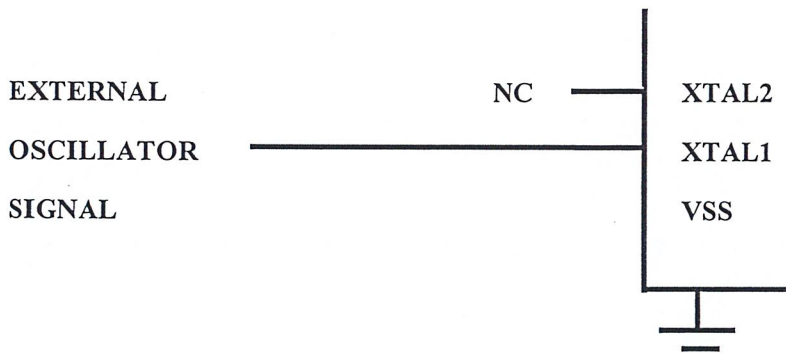
ขาที่ 19 ของรูปที่ 4.5 ขานี้จะต่อกับขาของ Inverting Amplifier (วงจรขยายแบบกลับเฟสของสัญญาณ) ที่ประกอบเป็นวงจรรอสซิลเลเตอร์ NAND Gate จะทำหน้าที่เป็นวงจรถ่ายแบบกลับเฟสของสัญญาณที่จะควบคุมให้มีการอสซิลเลตหรือไม่ก็ขึ้นกับสัญญาณ PD ซึ่งต่อมาจากบิต PD ของรีจิสเตอร์ PCON ถ้าในหน่วยความจำต้องการใช้สัญญาณนาฬิกา (Clock Signal) จากภายนอกมาเป็นสัญญาณนาฬิกา ควบคุมการทำงานของ 8051 ก็ให้ป้อนสัญญาณเข้ามาที่จุดนี้แต่ถ้าต้องการใช้วงจรรอสซิลเลเตอร์ภายในก็ให้ต่อ Crystal หรือ เซรามิกเรโซเนเตอร์ดังรูปที่ 4.11 คาปาซิเตอร์ในวงจรควรมีค่าประมาณ 20 PF



รูปที่ 4.11 วงจรรอสซิลเลเตอร์ภายใน 8051

XTAL 2

ขาที่ 18 ของรูปที่ 4.5 ขานี้เป็นจุดเอาต์พุทของวงจรขยายแบบกลับเฟสสัญญาณที่ประกอบเป็น วงจรออสซิลเลเตอร์ (อินพุทคือขา XTAL 1)ถ้าจะใช้สัญญาณที่สร้างมาจากภายนอกมาเป็นสัญญาณ นาฬิกาของ 8051 แล้ว ให้ปล่อยขานี้ลอยไว้แล้วป้อนสัญญาณนาฬิกาจากภายนอกเข้ามาที่ขา XTAL 1 ดังรูปที่ 4.12



รูปที่ 4.12 8051 ที่ทำงานโดยสัญญาณที่มาจากภายนอก

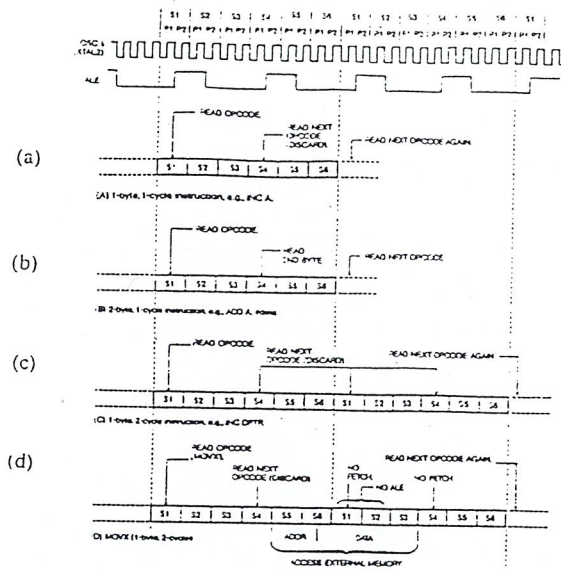
4.5 การทำงานของ 8051

คอมพิวเตอร์จะทำงานด้วยวงจรที่เรียกว่าฮาร์ดแวร์ประกอบขึ้นมาเพียงอย่างเดียวไม่ได้ ต้องมีโปรแกรมหรือคำสั่งที่จัดเรียงกันไว้เพื่อให้คอมพิวเตอร์ทำงานตามลำดับ ใน 8051 ก็เช่นเดียวกัน ผู้ใช้จะต้องเขียนโปรแกรมเป็นภาษาเครื่องซึ่งอยู่ในรูปเลขฐานสองเก็บไว้ในหน่วยความจำ ซึ่งแต่ละคำสั่งจะมีความยาวที่ไบนารีนั้นขึ้นอยู่กับคำสั่ง

จากรูปที่ 4.4 เมื่อเริ่มป้อนไฟเลี้ยงให้กับ 8051 ซึ่งมีวงจร Power on reset ต่ออยู่จะมีการรีเซ็ตเกิดขึ้นการทำงานภายใน 8051 จะเริ่มจากโปรแกรมเคานเตอร์ซึ่งเป็นวงจรนับชนิดหนึ่ง ส่งตำแหน่งของหน่วยความจำลงบนบัสหมายเลขหนึ่ง บัสนี้มีขนาด 16 บิต ค่าหน่วยความจำนี้จะถูกส่งไปเก็บไว้ที่ Program address register ซึ่งเป็นวงจรเลขข้อมูลซึ่งเป็นตำแหน่งหน่วยความจำ ซึ่งจะปรากฏบนบัส 16 บิตหมายเลขสอง ถ้าเป็นตำแหน่งหน่วยความจำแรกหลังจากการรีเซ็ต ตำแหน่งหน่วยความจำจะเป็น 0000H หน่วยความจำโปรแกรมจะเลือกได้ว่าเป็น ROM ภายนอกหรือภายใน 8051 โดยการป้อนลอจิกเข้าไปทางขา EA ซึ่งต่ออยู่กับส่วน Timing and control ซึ่งทำหน้าที่เป็นวงจรถอดรหัส แล้วสร้างสัญญาณควบคุมต่อไป ถ้าป้อนสัญญาณลอจิก 1 เข้าไปที่ขา EA จะเป็นการเลือก

ใช้ ROM ภายใน 8051 โดยที่วงจร Timing and control จะส่งสัญญาณไปยัง ROM ภายในให้เป็นข้อมูลที่เป็นคำสั่งจากตำแหน่งที่ถูกชี้ด้วยตำแหน่งที่ส่งมาทางบัสหมายเลขสอง ข้อมูลจาก ROM จะถูกส่งลงไปยังบัสหมายเลขสามที่เรียกว่า Internal data bus แล้วนำไปเก็บไว้ที่ Instruction register (เป็นวงจร Latch) เพื่อส่งต่อไปให้วงจร Timing and control ทำการถอดรหัสแล้วควบคุมการทำงานส่วนอื่นๆ ต่อไปแล้วแต่ว่าเป็นคำสั่งอะไร ในกรณีที่เลือก ROM ภายนอก 8051 โดยป้อนลอจิก 0 เข้าที่ขา EA ทำให้วงจร Timing and control ส่งสัญญาณไปยังพอร์ท 0 และพอร์ท 2 เพื่อส่งค่าตำแหน่งหน่วยความจำบนบัสหมายเลขสองออกไปชี้หน่วยความจำภายนอก จากนั้นจะอ่านข้อมูลที่เป็นคำสั่งกลับเข้ามาทางพอร์ท 0 ไปยัง Internal data bus แล้วไปเก็บที่ Instruction register เพื่อทำงานต่อไปเหมือนกับตอนที่อ่านคำสั่งจาก ROM ภายใน การทำงานในช่วงส่งตำแหน่งหน่วยความจำไปยังหน่วยความจำแล้วอ่านข้อมูลที่เป็นคำสั่งกลับเข้ามาเก็บไว้ใน Instruction register เรียกว่าเป็นช่วงของการ Fetch ช่วงต่อไปจะเป็นช่วงของการทำงานตามคำสั่งเรียกว่าช่วง Execute เช่นถ้าเป็นคำสั่งให้บวกข้อมูลใน Accumulator กับข้อมูลจากหน่วยความจำ RAM ภายในตำแหน่ง 23H วงจร Timing and control ก็จะส่งสัญญาณให้ Instruction register ส่งตำแหน่งหน่วยความจำ 23H ลงไปยัง Internal data bus แล้วนำข้อมูลไปเก็บไว้ที่ RAM address register เพื่อใช้ชี้ตำแหน่งหน่วยความจำ RAM จากนั้นวงจร Timing and control จะส่งให้ RAM ส่งข้อมูลที่เก็บอยู่ในหน่วยความจำตำแหน่ง 23H ลงมายัง Internal data bus แล้วนำข้อมูลไปเก็บไว้ที่ TMP1 (เป็นวงจร latch) ขณะเดียวกันวงจร Timing and control ก็จะส่งสัญญาณไปยัง Accumulator ให้ส่งข้อมูลมายัง TMP2 (เป็นวงจร latch) วงจร Arithmetic logic unit ซึ่งโครงสร้างเป็นวงจรทำการคำนวณทางคณิตศาสตร์ (บวก ลบ คูณ หาร) และยังสามารถประมวลผลทางลอจิก (AND,OR,NOT,XOR) จะทำการบวกเลขจาก TMP1 และ TMP2 เข้าด้วยกัน ผลลัพธ์ที่ได้จะส่งผ่าน Internal data bus กลับไปยัง Program status word ซึ่งจะทำหน้าที่เก็บสถานะผลลัพธ์ของการทำงานใน Arithmetic logic unit เช่น ผลลัพธ์ในการบวกมีค่าเกิน 8 บิต ก็จะทำให้บิตที่หนึ่งใน Program status word ถูกเซ็ท

การทำงานที่กล่าวมาข้างต้นจะขึ้นกับสัญญาณควบคุมที่สร้างมาจากวงจร Timing and control และสัญญาณที่สร้างขึ้นอ้างอิงกับสัญญาณนาฬิกาที่สร้างมาจากวงจร Oscillator ทำให้การทำงานต่างๆ เป็นดังรูปที่ 4.13



รูปที่ 4.13 ลำดับสถานะการทำงานใน MCS-51

คำสั่งแต่ละคำสั่งของ 8051 จะใช้เวลาทำงาน 1-3 เมกซ์ซินไซเคิล แล้วแต่ว่าเป็นคำสั่งใด โดยหนึ่งเมกซ์ซินไซเคิลจะใช้เวลา 12 ไซเคิลของสัญญาณนาฬิกา ดังนั้นแต่ละคำสั่งของ 8051 จะใช้เวลาทำงาน 12-36 ไซเคิลของสัญญาณนาฬิกา แต่ละเมกซ์ซินไซเคิลจะแบ่งออกเป็น 6 เสดท คือ S1, S2, S3, S4, S5 และ S6 แต่ละเสดทจะประกอบด้วยสองไซเคิลของสัญญาณนาฬิกา เรียกไซเคิลแรกว่า เฟส 1 (P1) และเรียกไซเคิลที่สองว่า เฟส 2 (P2) ในแต่ละเฟสจะนับตั้งแต่ขอบขาของสัญญาณนาฬิกาถึงขอบขาของสัญญาณนาฬิกาถัดไปดังรูปที่ 4.13 เมื่อ 8051 ทำงานเสร็จหนึ่งเมกซ์ซินไซเคิลก็จะเริ่มทำงานเสดท 1 เฟส 1 ของไซเคิลถัดไป ในหนึ่งเมกซ์ซินไซเคิลวงจร Timing and control จะสร้างสัญญาณ ALE ออกมาสองไซเคิลเพื่อ Fetch คำสั่งเข้าไปสองครั้งเสมอ ที่บริเวณขอบขาขึ้นของสัญญาณ ALE คำสั่งใดมีกี่ไบต์สามารถดูได้จากตารางชุดคำสั่ง 8051

คำสั่งประเภทหนึ่งไบต์หนึ่งเมกซ์ซินไซเคิล ได้แก่ คำสั่ง INC A จะมีการอ่านคำสั่งจากหน่วยความจำโปรแกรมสองครั้ง ที่เวลาประมาณขอบขาขึ้นของสัญญาณ ALE แรก แล้วนำไปเก็บที่ Instruction register เพื่อให้วงจร Timing and control ถอดรหัส แล้วเข้าสู่การ Execute ขณะเดียวกันก็จะเริ่มต้นการ Fetch คำสั่งที่อยู่ในหน่วยความจำตำแหน่งถัดไปเข้ามา และคำสั่งที่สองจะถูกอ่านเข้ามาที่เวลาขอบขาขึ้นของสัญญาณ ALE ถัดไป วงจร Timing and control เมื่อถอดรหัสคำสั่งแรกก็ทราบว่าการทำงานคำสั่งนี้ให้สิ้นสุดจะใช้คำสั่งเพียงหนึ่งไบต์ ดังนั้นคำสั่งที่ถูกอ่านมาไบต์ที่สองจะไม่ถูกนำมาทำงาน เพียงแต่อ่านเข้ามาแล้วทิ้งไปดังรูปที่ 4.13 a

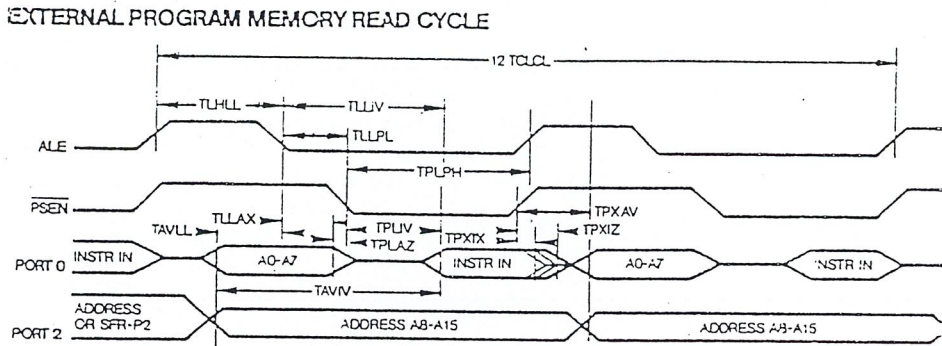
คำสั่งประเภทสองไบต์หนึ่งแมชชีนไซเคิล ได้แก่ คำสั่ง ADD A,#DATA ในหนึ่งแมชชีนไซเคิลจะมีการอ่านคำสั่งเข้ามาสองไบต์เหมือนกับคำสั่งประเภทหนึ่งไบต์หนึ่งแมชชีนไซเคิล แตกต่างกันที่ไบต์ที่สองจะถูกนำมาใช้งานด้วยไม่ได้ดังรูปที่ 4.13 b ตัวอย่างเช่น คำสั่ง ADD A,#33H สามารถเขียนเป็นภาษาเครื่องได้สองไบต์ คือ

24 และ 33 เมื่ออ่านคำสั่งไบต์แรก คือ 24 เข้าไปไว้ที่ Instruction register แล้ววงจร Timing and control จะถอดรหัสพบว่าเป็นคำสั่งบวกเลข ก็จะส่งสัญญาณไปยัง Accumulator ให้เอาข้อมูลไปไว้ที่ TMP1 เมื่อคำสั่งที่สองถูกอ่านเข้ามาที่ Instruction register แล้ววงจร Timing and control จะสั่งให้เอาข้อมูลไบต์ที่สองส่งลงไปยัง Internal data bus ไปเก็บยัง TMP1 จากนั้นวงจร Arithmetic logic unit จะนำเอาข้อมูลใน TMP1 และ TMP2 มาบวกกัน ผลลัพธ์ที่ได้จะส่งออกจากวงจร Arithmetic logic unit ไปยัง Internal data bus แล้วไปเก็บไว้ที่ Accumulator

คำสั่งประเภท 1,2 หรือ 3 ไบต์ที่ใช้เวลาทำงานสองแมชชีนไซเคิล เช่น คำสั่ง INC DPTR จะมีการอ่านคำสั่งเข้าไปสี่ครั้งทุกๆ ขอบขาขึ้นของสัญญาณ ALE ที่มีสองครั้งต่อหนึ่งแมชชีนไซเคิล ถ้าเป็นคำสั่งประเภท 1,2 หรือ 3 ไบต์ วงจร Timing and control จะเอาคำสั่ง 1,2 หรือ 3 ไบต์แรกเท่านั้นไปทำงานส่วนคำสั่งที่เหลือทิ้งไปดังรูปที่ 4.13 C คำสั่งหนึ่งไบต์ที่ใช้เวลาทำงานสองแมชชีนไซเคิลที่กล่าวมาแล้วจะไม่รวมถึงคำสั่ง MOVX ซึ่งใช้ในการอ่านหรือเขียนข้อมูลกับหน่วยความจำข้อมูลภายนอก การทำงานของคำสั่งนี้จะมีการ Fetch คำสั่งเข้าไปสองไบต์ในแมชชีนไซเคิลแรก ในแมชชีนไซเคิลที่สองจะไม่มีการ Fetch คำสั่งเข้าไปแต่จะเป็นช่วงเวลาของการอ่านหรือเขียนข้อมูลกับหน่วยความจำข้อมูลภายนอก สัญญาณ ALE ซึ่งปกติจะเปลี่ยนเป็น 1 ที่เสตท 1 เฟส 2 ก็จะไม่เปลี่ยนเป็น 1 ในแมชชีนไซเคิลที่สอง โดยจะเป็น 0 อยู่จนกว่าจะถึงเสตท 4 เฟส 2 ของแมชชีนไซเคิลที่สอง สัญญาณ ALE จะเปลี่ยนเป็น 1 เพื่อทำการอ่านหรือเขียนข้อมูลกับหน่วยความจำข้อมูลภายนอก

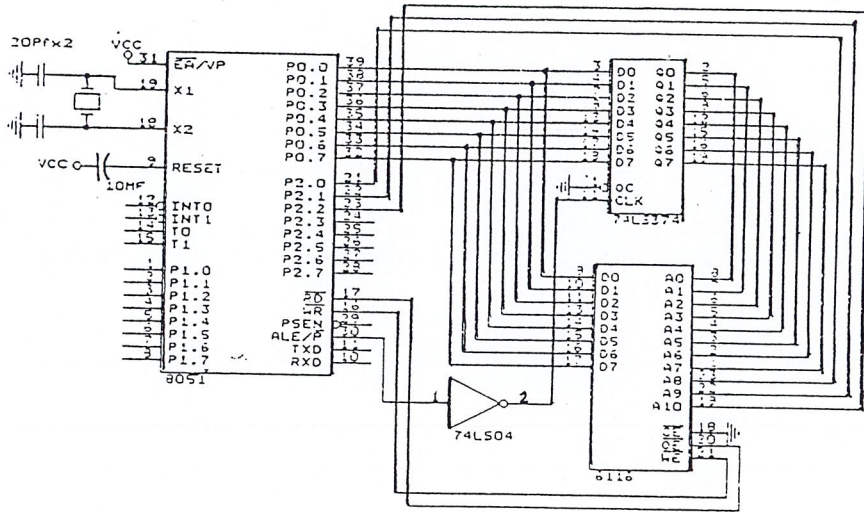
4.6 ไตอะแกรมเวลาของการติดต่อกับหน่วยความจำ

การอ่านข้อมูลจากหน่วยความจำโปรแกรมภายนอกสำหรับ 8051 นั้น ลำดับสัญญาณตามเวลา (Timing diagram) ของการอ่านคำสั่งดังรูปที่ 4.14



รูปที่ 4.14 Timing diagram ของการอ่านโปรแกรมจากหน่วยความจำภายนอก
การอ่านคำสั่ง (Fetch) จาก Program area ภายนอกจะเริ่มจาก 8051 ส่งสัญญาณลจิก 1 ออกมา

ทางขา ALE ขณะนี้ขาสัญญาณ PSEN จะเป็น 1 จากนั้นพอร์ท 0 จะส่งตำแหน่งหน่วยความจำ 8 บิตต่างและพอร์ท 2 จะส่งตำแหน่งหน่วยความจำ 8 บิตบนออกมาแล้วสัญญาณ ALE จะกลับเป็น 0 อุปกรณ์ภายนอกจะสามารถใช้ขอบขาลงของสัญญาณ ALE เพื่อแลตซ์ตำแหน่งของหน่วยความจำที่พอร์ท 0 ไว้ จากนั้นพอร์ท 0 จะยกเลิกการส่งตำแหน่งหน่วยความจำเข้าสู่สภาวะ High impedance และสัญญาณ PSEN จะเป็น 0 เพื่อเตรียมรับคำสั่งที่ส่งออกจากหน่วยความจำภายนอกเข้าไปยัง 8051 เพื่อทำงานต่อไป เมื่อคำสั่งถูกอ่านเข้าไปเก็บใน Instruction register แล้วสัญญาณ PSEN จะกลับเป็น 1 พร้อมกับสัญญาณ ALE ก็จะกลับเป็น 1 เพื่อการอ่านคำสั่งต่อไป ข้อมูลในพอร์ท 2 จะคงที่ตลอดเวลาตั้งแต่สัญญาณ ALE เป็น 1 จนกระทั่งสัญญาณ ALE เปลี่ยนเป็น 0 และกลับเป็น 1 อีกครั้งหนึ่งจากนั้นจะเริ่มลำดับการ Fetch ข้อมูลไบท์ที่ 2 จากหน่วยความจำโปรแกรม ซึ่งจะมีการเปลี่ยนแปลงของสัญญาณตามเวลาเหมือนกับการ Fetch ไบท์แรกนั่นเอง จาก Timing diagram ดังกล่าวจะออกแบบวงจรที่มีหน่วยความจำโปรแกรมอยู่ภายนอก 8051 ดังตัวอย่างในรูปที่ 4.15



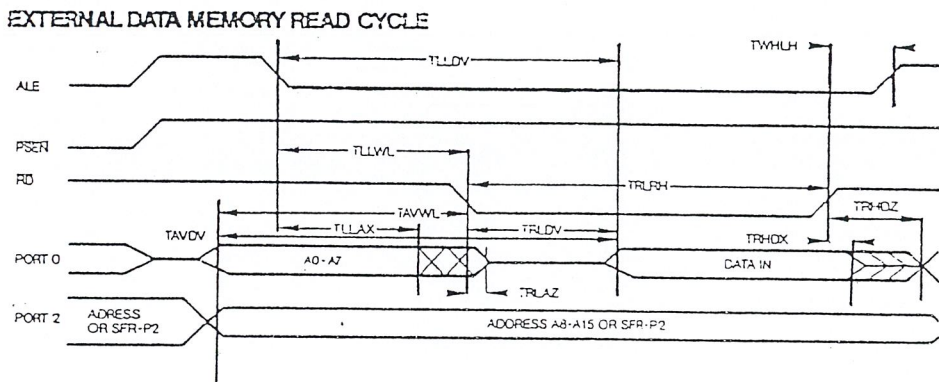
รูปที่ 4.15 วงจรที่มีหน่วยความจำโปรแกรมอยู่ภายนอก 8051

74LS374 ในรูปที่ 4.15 จะทำหน้าที่เลขตำแหน่งในหน่วยความจำ 8 บิตล่างที่เวลาขอบขาลงของสัญญาณ ALE ซึ่งสัญญาณ ALE จะถูกกลับให้เป็นตรงข้ามโดยอินเวอร์เตอร์ 74LS04 ก่อนที่จะป้อนให้ขา CK ของ 74LS374 และที่ขอบขาขึ้นของสัญญาณที่ออกจาก 74LS04 จะเลขตำแหน่งหน่วยความจำ ข้อมูลที่ออกจาก 74LS374 จะเป็นค่า 8 บิตล่างของตำแหน่งหน่วยความจำที่ต้องการติดต่อ ในวงจรได้ต่อตำแหน่งหน่วยความจำ 8 บิตเข้ากับ A0-A7 ของ EPROM และข้อมูลจากพอร์ท 2 บิต P2.0-P2.3 จะต่อเข้ากับ A8-A11 ของ EPROM โดยตรงเพราะตำแหน่งหน่วยความจำ 8 บิตบนจากพอร์ท 2 จะคงที่ตลอดเวลา ขา PSEN ของ 8051 จะถูกต่อเข้ากับขา OE ของ EPROM 2716 ดังนั้นเมื่อ

สัญญาณ PSEN มีลอจิกเป็น 0 ก็จะส่งคำสั่งที่เก็บใน EPROM ตำแหน่งที่ชี้ข้อมูล โดย A0-A11 ออกมายังพอร์ท 0 และถูก 8051 นำไปทำงานต่อไป

การอ่าน – เขียนข้อมูลกับหน่วยความจำข้อมูลภายนอก 8051

การอ่าน – เขียนข้อมูลกับหน่วยความจำข้อมูลภายใน 8051 นั้นจะมีสัญญาณสร้างมาจากส่วน Timing and control โดยที่ผู้ใช้ไม่จำเป็นต้องทำความเข้าใจ แต่การอ่าน – เขียนข้อมูลกับหน่วยความจำข้อมูลภายนอก อันเนื่องมาจากคำสั่ง MOVX นั้น เมื่อคำสั่งดังกล่าวถูกอ่านมายัง Instruction register แล้ว Timing and control จะทำการถอดรหัสแล้วสร้างสัญญาณควบคุม โดยการอ่านข้อมูลกับหน่วยความจำข้อมูลภายนอกจะมี Timing diagram ดังรูปที่ 4.16

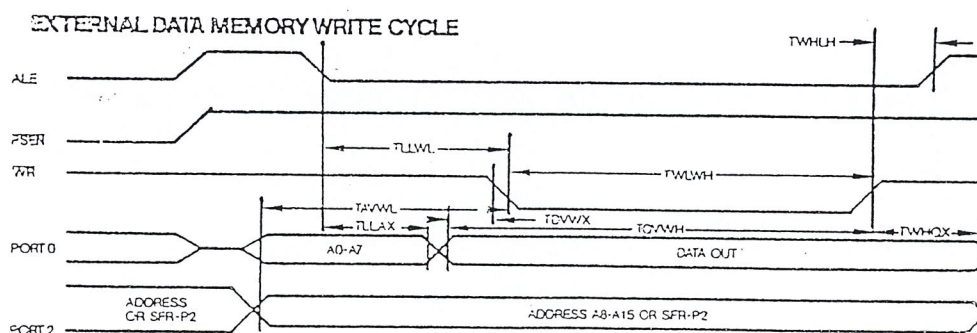


รูปที่ 4.16 Timing diagram สำหรับการอ่านข้อมูลจากหน่วยความจำข้อมูลภายนอก 8051

การทำงานจะเริ่มจากการส่งตำแหน่งหน่วยความจำภายนอก 8 บิตล่างออกมาทางพอร์ท 0 และ 8 บิตบนออกมาทางพอร์ท 2 เมื่อส่งตำแหน่งแล้วสัญญาณ ALE ซึ่งเดิมมีลอจิก 1 จะกลับมาเป็น 0 เพื่อให้อุปกรณ์ภายนอกสามารถแลตซ์ตำแหน่งหน่วยความจำไว้เหมือนกับการอ่านข้อมูลจากหน่วยความจำโปรแกรมภายนอก 8051 เพื่อส่งไปยังหน่วยความจำ แม้ว่าข้อมูลบนพอร์ท 0 จะเปลี่ยนแปลงไปก็จะมีตำแหน่งหน่วยความจำส่งไปยังหน่วยความจำ ในระหว่างการติดต่อกับหน่วยความจำข้อมูล

นี้สัญญาณ PSEN จะเป็น 1 ตลอดเวลา สัญญาณ PSEN จะแอกทีฟ (เป็น 0) ก็ต่อเมื่อเป็นการติดต่อกับหน่วยความจำโปรแกรมภายนอก 8051 เท่านั้น 8051 จะส่งสัญญาณออกมาทาง RD (P3.7) เพื่อบอกกับหน่วยความจำภายนอกว่าต้องการอ่านข้อมูลเข้าไป เมื่อ 8051 ส่งสัญญาณออกมาทาง RD เป็นลอจิก 0 จะทำให้พอร์ท 0 เข้าสู่สถานะ High impedance พร้อมทั้งจะให้หน่วยความจำภายนอกส่งข้อมูลภายนอกมาบนพอร์ท 0 ข้อมูลบนพอร์ท 0 ซึ่งส่งมาจากหน่วยความจำภายนอกจะถูกอ่านเข้าไปเก็บที่ขอบขาขึ้นของสัญญาณ RD จากนั้น ALE ก็จะสามารถกลับเป็น 1 เพื่อเริ่มการทำงานในคำสั่งต่อไป ในระหว่างการอ่านข้อมูลจากหน่วยความจำข้อมูลภายนอกนี้ พอร์ท 2 จะส่งตำแหน่งหน่วยความจำ 8 บิตบนออกมาตลอดเวลา

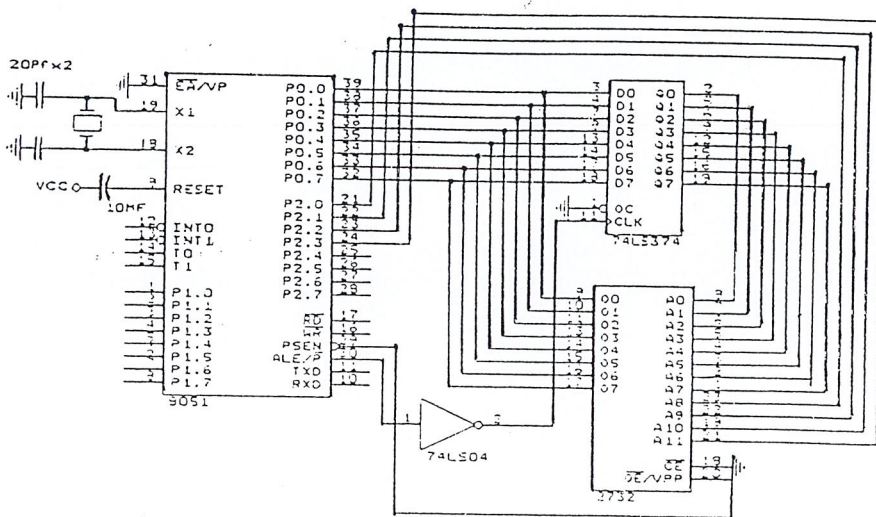
การเขียนข้อมูลไปยังหน่วยความจำข้อมูลภายนอก 8051 จะมี Timing diagram ดังรูปที่ 4.17



รูปที่ 4.17 Timing diagram ของการเขียนข้อมูลไปยังหน่วยความจำข้อมูลภายนอก 8051

เมื่อ 8051 ส่งค่าตำแหน่งหน่วยความจำ 8 บิตล่างออกมาทางพอร์ท 0 และ 8 บิต บนออกมาทางพอร์ท 2 แล้วสัญญาณ ALE จะกลับเป็น 0 อุปกรณ์ภายนอกจะสามารถใช้สัญญาณนี้ในการแลตซ์ตำแหน่งหน่วยความจำบนพอร์ท 0 เหมือนกับการอ่านข้อมูลจากหน่วยความจำข้อมูลภายนอก เมื่อ

สัญญาณ ALE เป็น 0 แล้ว 8051 จะส่งข้อมูลที่ต้องการเขียนไปยังพอร์ท 0 แล้วจะให้สัญญาณ WR เปลี่ยนสถานะเป็นลอจิก 0 ขณะนี้หน่วยความจำภายนอกจะต้องเขียนข้อมูลไปเก็บยังตำแหน่งที่กำหนด จากนั้นสัญญาณ WR จะกลับเป็น 1 เพื่อเป็นการบอกสิ้นสุดการเขียนข้อมูล แล้วสัญญาณ ALE ก็จะกลับเป็น 1 เพื่อ Fetch คำสั่งต่อไปมาทำงาน ซึ่งหน่วยความจำข้อมูลภายนอกที่สามารถอ่านและเขียนข้อมูลได้ จะสามารถเขียนเป็นวงจรได้ดังรูปที่ 4.18



รูปที่ 4.18 วงจรซึ่งมีหน่วยความจำข้อมูลภายนอก 8051

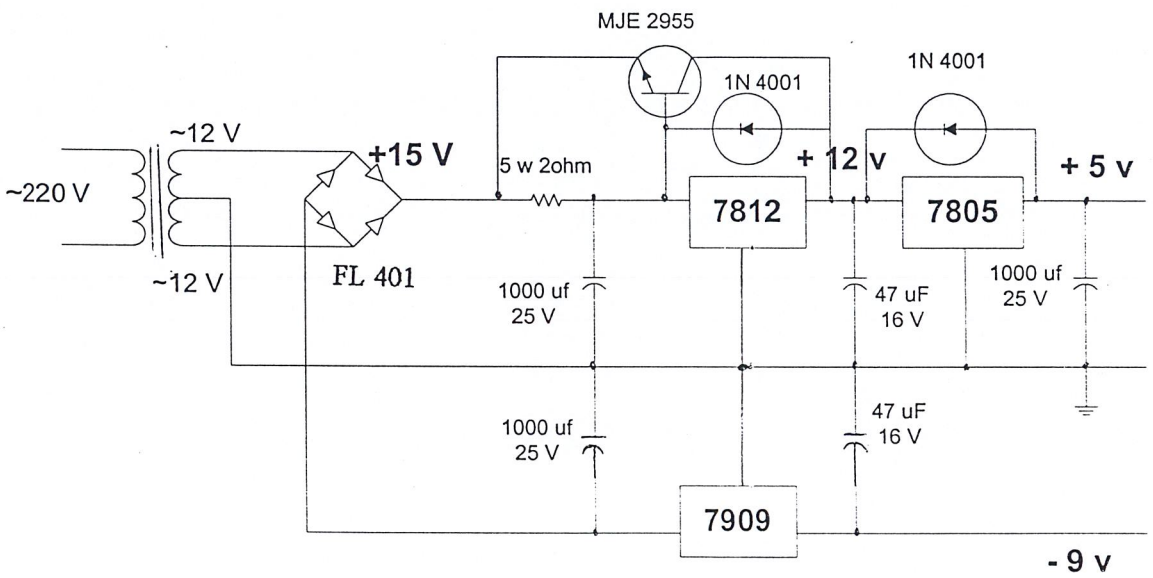
74LS374 ในรูปจะใช้สำหรับเลขที่ตำแหน่งหน่วยความจำ 8 บิตล่างไว้ แม้ว่าข้อมูลบนพอร์ท 2 จะเปลี่ยนไป สัญญาณ RD และ WR จะอ่านและเขียนข้อมูลจากหน่วยความจำภายนอก 6116 เป็นหน่วยความจำแบบ RAM ที่สามารถจะอ่านและเขียนข้อมูลได้

บทที่ 5

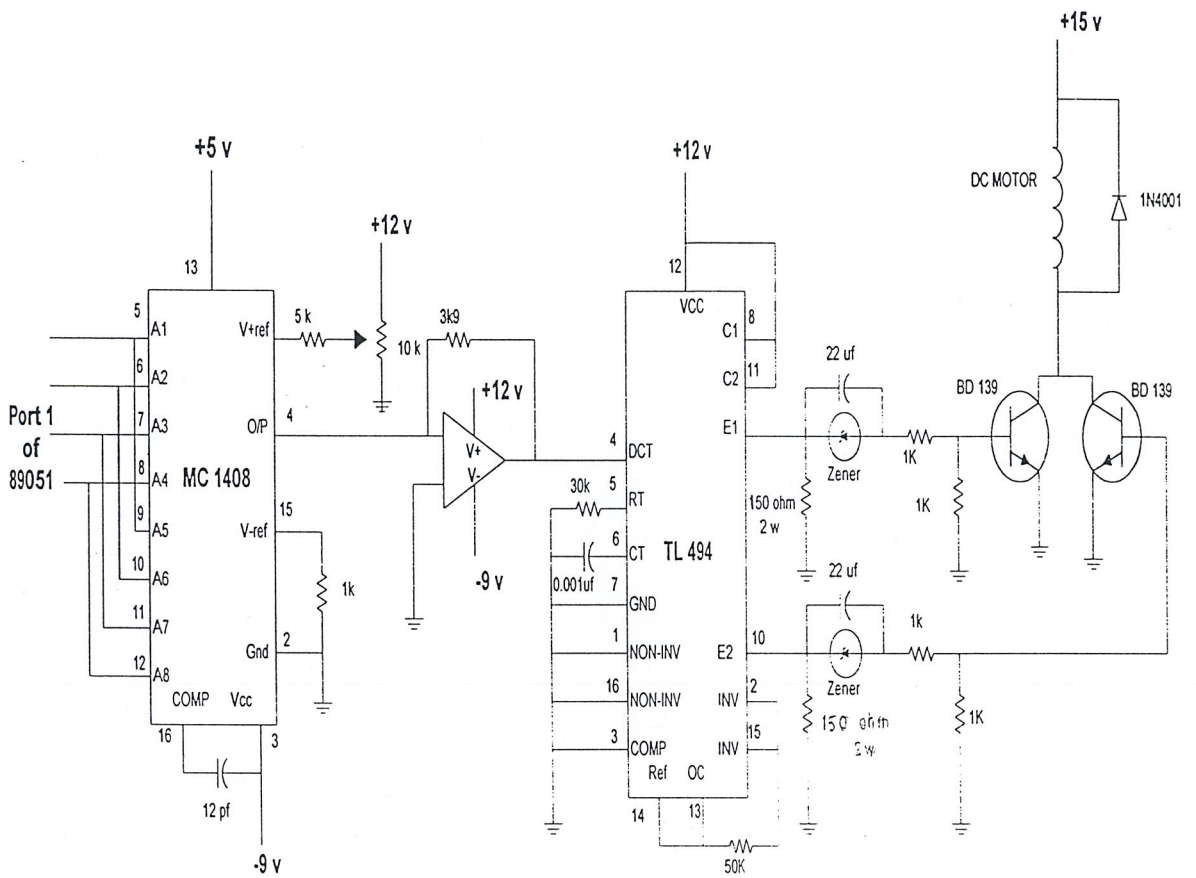
การออกแบบควบคุมรถและอัลกอริทึมการทำงานของโปรแกรม

5.1 การทำงานของวงจรควบคุมการขับเคลื่อนรถ (Driver Control)

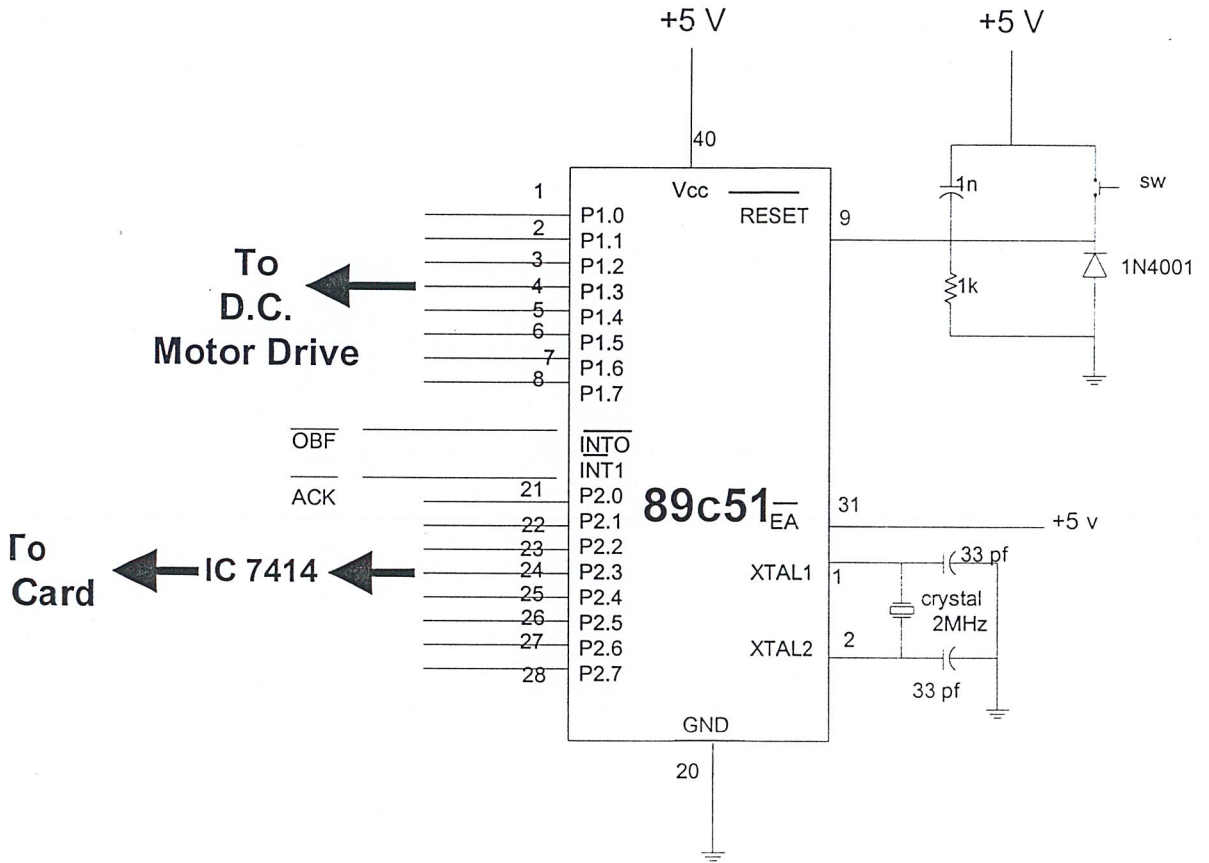
การทำงานของวงจรขับเคลื่อนมอเตอร์กระแสตรงเริ่มจากไมโครคอนโทรลเลอร์ 89C51 ส่งค่าความเร็วของมอเตอร์ทั้งสองผ่านทางพอร์ทหนึ่งไปยังไอซี MC1408 ซึ่งทำหน้าที่แปลงสัญญาณดิจิทัลเป็นสัญญาณอนาล็อก แล้วส่งสัญญาณอนาล็อกที่ได้ไปยังไอซี TL494 ซึ่งเป็นวงจรพัลส์วิธมอดูเลเตอร์ ซึ่งเอาท์พุทที่ได้จะนำไปขับทรานซิสเตอร์ BD139 เพื่อขับกระแสให้มอเตอร์กระแสตรงทั้งสองต่อไป โดยเราจะใช้โปรแกรม Visual C++ เขียนโปรแกรมเพื่อควบคุมการ์ดพอร์ท 8255 ในการติดต่อกับไมโครคอนโทรลเลอร์ โดยวงจรที่ใช้ในการควบคุมการขับเคลื่อนมอเตอร์กระแสตรงนั้น ดังแสดงให้เห็นในรูปหน้าถัดๆ ไป



รูปที่ 5.1 วงจรแหล่งจ่ายไฟกระแสตรง +15 V., +12 V., +5 V. และ -9 V.

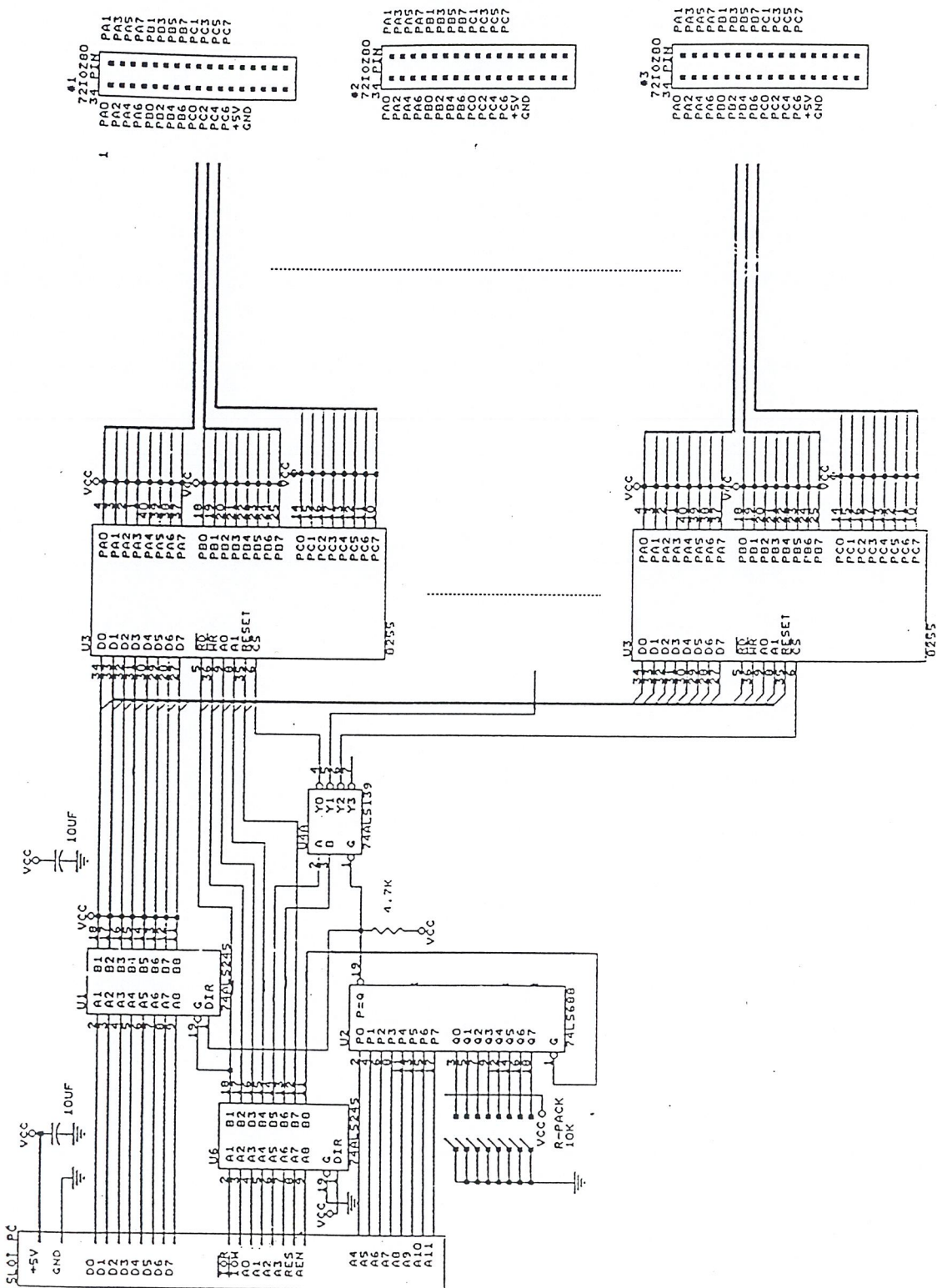


รูปที่ 5.2 แสดงส่วนวงจรขับเคลื่อนมอเตอร์กระแสตรง



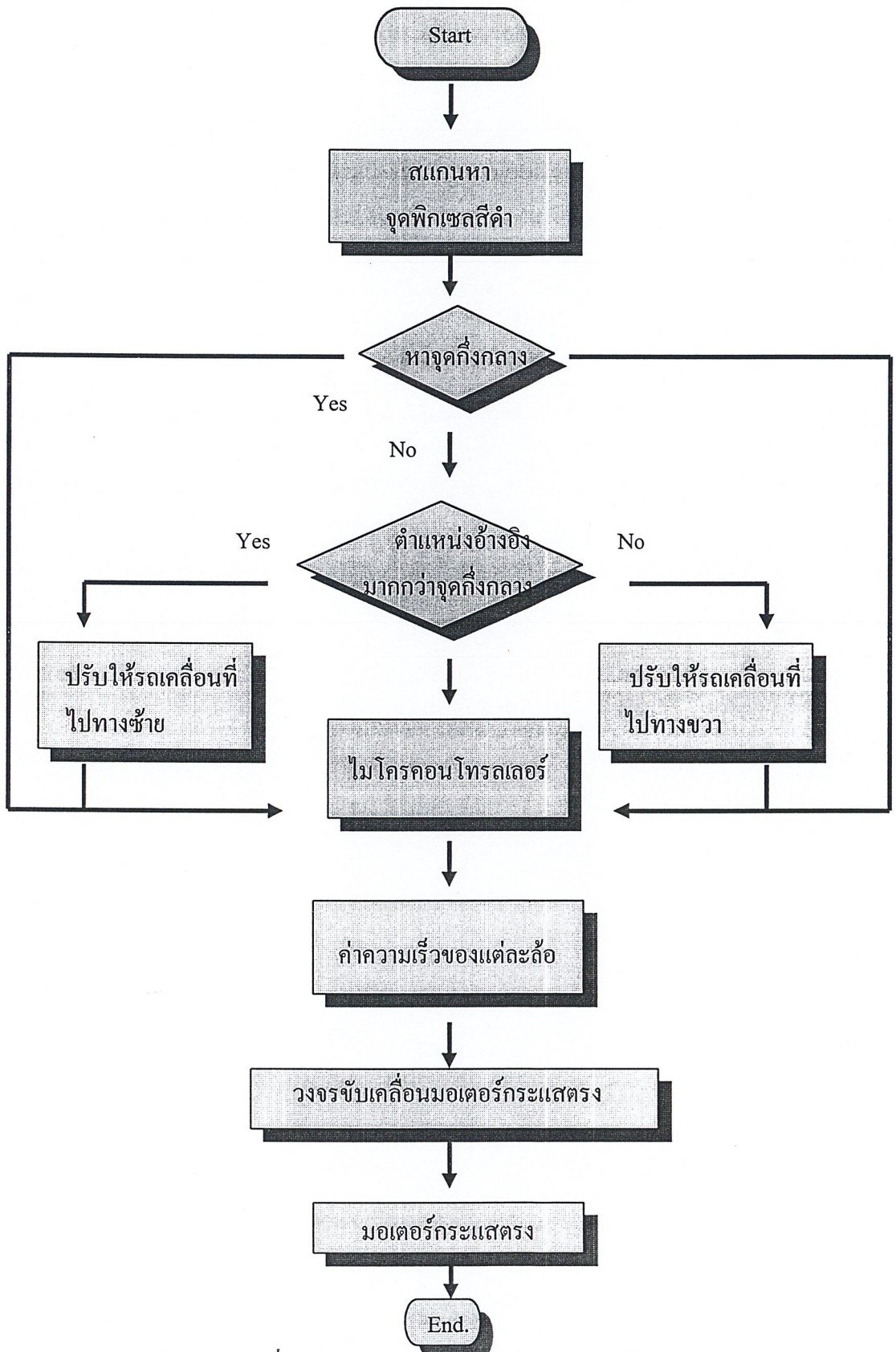
รูปที่ 5.3 แสดงวงจรส่วนไมโครคอนโทรลเลอร์ 89C51

รูปที่ 5.4 แสดงการเชื่อมต่ออุปกรณ์ของการ์ดพอร์ท 8255



5.2 อัลกอริทึมการทำงานในส่วนต่างๆ ของโปรแกรม

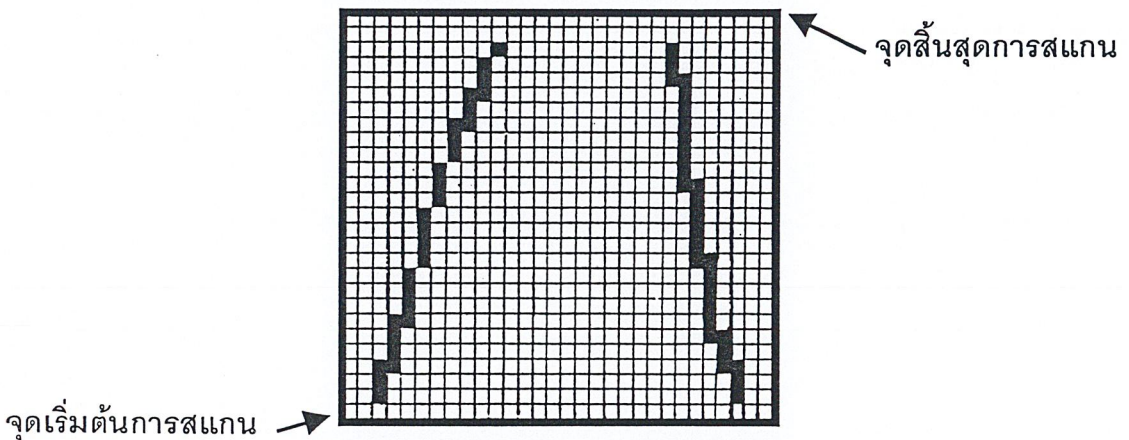
ในการควบคุมการขับเคลื่อนรถนั้น เราจะใช้โปรแกรมซึ่งเขียนขึ้นมาด้วยโปรแกรม Visual C++ เพื่อทำการประมวลผลสัญญาณภาพเพื่อหาจุดกึ่งกลางเลน แล้วนำไปวิเคราะห์หาระยะที่เบี่ยงเบนจากจุดกึ่งกลางเลนเพื่อส่งต่อไปให้ไมโครคอนโทรลเลอร์ และนำมาประมวลผลเพื่อควบคุมไมโครคอนโทรลเลอร์ต่อไป



รูปที่ 5.5 อัลกอริทึมควบคุมการทำงานของรถ

5.2.1 การหาจุดกึ่งกลางเลน (Find Navigator Point)

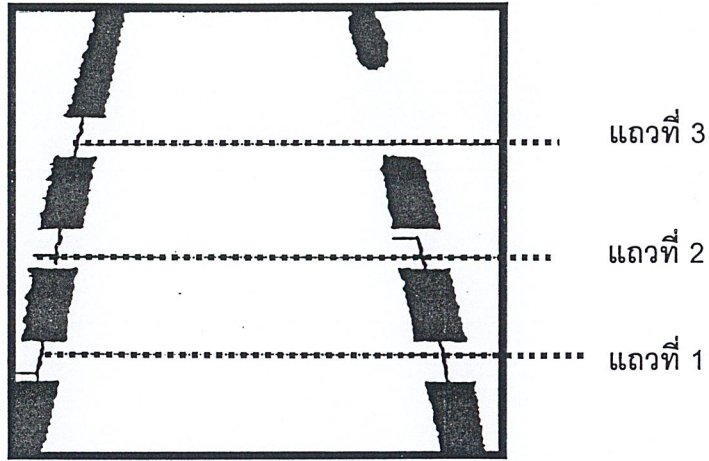
ภาพที่ได้จากการผ่านกระบวนการ thinning (Thinning) แล้วนั้น จะเป็นภาพที่ได้ของขอบถนนซึ่งมีความบางมากเท่ากับ 1 พิกเซล (pixel) หรืออาจมากกว่า 1 พิกเซลก็ได้ โดยจากภาพที่ได้จะนำมาหาจุดกึ่งกลางเลน โดยโปรแกรมจะทำการสแกนแต่ละพิกเซล หากพบพิกเซลสีขาวมันจะไม่สนใจ และข้ามพิกเซลนั้นไป แต่ถ้าหากพบพิกเซลสีดำ โปรแกรมจะทำการเก็บค่าตำแหน่งของพิกเซลนั้นไว้ แล้วทำการเพิ่มค่าตัวนับของพิกเซลนั้น ทั้งนี้ขึ้นอยู่กับความชัดเจนของภาพ โดยในแถวเดียวกันอาจมีพิกเซลมากกว่า 2 พิกเซลก็ได้ เพราะถ้าหากมีความผิดพลาดของภาพมาก ทำให้พิกเซลที่ได้มีมากกว่า 1 พิกเซลก็ได้



รูปที่ 5.6 ภาพที่ได้จากการทำ thinning ทั้งเส้น

เมื่อผ่านกระบวนการ thinning แล้ว โปรแกรมจะทำการตรวจสอบพิกเซล โดยจะทำการตรวจสอบเฉพาะพิกเซลที่เป็นสีดำ โดยแบ่งตามจำนวนตัวนับได้ 3 กรณี ดังนี้

- กรณีที่ตัวนับพิกเซลเท่ากับ 1 กรณีนี้บริเวณที่ทำการ thinning จะเป็นเส้นตรง โดยที่เส้นของถนนเป็นเส้นตรงและที่บริเวณเส้นแบ่งเลนเป็นเส้นประซึ่งทำให้มีการขาดเป็นช่วงๆ หรืออาจเกิดจากการที่ขอบของเลนถนนได้หลุดออกจากสโคปที่กล้องจะจับภาพได้
- กรณีที่ตัวนับพิกเซลเท่ากับ 2 อาจเกิดจากเส้นแบ่งเลนของถนนทั้งสองเส้นปรากฏอยู่ในขอบเขตของกล้อง หรืออาจเกิดจากมีเส้นแบ่งเลนมีเพียงเส้นเดียว ซึ่งจะได้ 1 พิกเซล ส่วนอีกพิกเซลเป็นเกิดจากความผิดพลาดของข้อมูลที่รับเข้ามา
- กรณีที่ตัวนับพิกเซลมากกว่า 2 เกิดมาจากความผิดพลาดของข้อมูล โดยอาจเกิดจากแสงที่สะท้อนเข้ามาหรือเกิดจากสิ่งแวดล้อมที่ไม่เหมาะสม โดยทำให้เกิดพิกเซลมากกว่า 2 พิกเซลได้ ซึ่งทำให้เกิดความผิดพลาดของข้อมูลได้



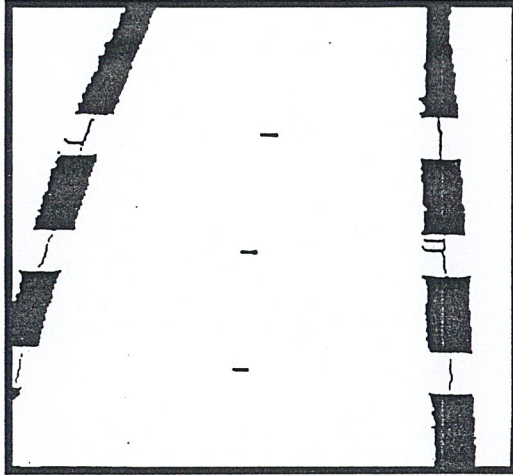
รูปที่ 5.8 แสดงกรณีทั้งสามของการทำอินนิง

5.2.2 การหาค่าเฉลี่ยของจุดกึ่งกลางเส้นแบ่งเลน

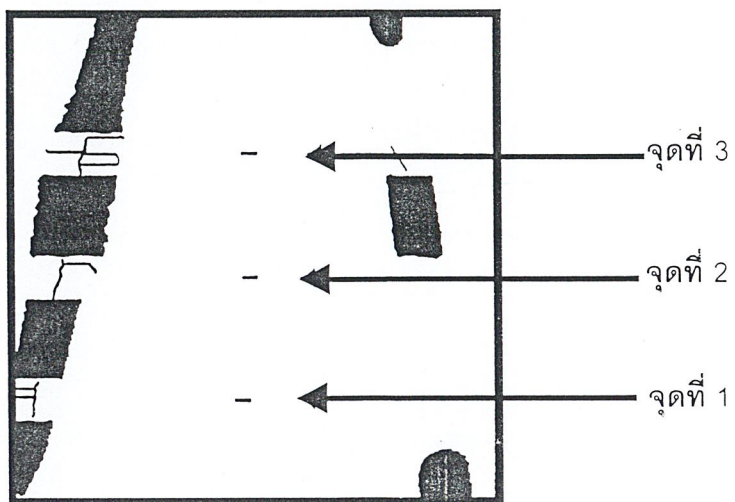
5.2.2.1 กรณีที่มีจุดบนเส้นแบ่งเลนเพียงเส้นเดียว โปรแกรมจะใช้ระยะห่างระหว่างจุดบนเส้นแบ่งเลนที่โปรแกรมสามารถคำนวณได้จากภาพที่สมบูรณ์ล่าสุด นำมาคำนวณร่วมกับค่าตำแหน่งของจุดใหม่ที่โปรแกรมสามารถหาได้ โดยการเปรียบเทียบกับจุดบนเส้นแบ่งเลนทั้งสองว่าจุดใหม่ที่ได้นี้มีตำแหน่งใกล้เคียงกับจุดใดมากที่สุดก็จะเป็นตำแหน่งของจุดบนเส้นแบ่งเลนนั้น โดยแบ่งเป็น 2 กรณี คือ

- ถ้าหากเป็นจุดที่อยู่บนเส้นแบ่งเลนเส้นซ้ายของเลนถนนทำการคำนวณโดยอาศัยระยะห่างระหว่างจุดบนเส้นแบ่งเลนทั้งสองนั้นรวมกับจุดบนเส้นแบ่งเลนใหม่ที่ได้
- กรณีที่เป็นจุดที่อยู่บนเส้นแบ่งเลนเส้นขวา จะทำการลบออกจากตำแหน่งของจุดบนเส้นแบ่งเลนส์

ทั้งสองกรณีนี้จะทำให้โปรแกรมสามารถหาค่าตำแหน่งของจุดบนเส้นแบ่งเลนที่โปรแกรมไม่สามารถหาได้จากภาพที่ปรากฏ ซึ่งอาจมีค่าความคลาดเคลื่อนเล็กน้อย



รูปที่ 5.9 แสดงการหาจุดกึ่งกลางของเส้นโดยสมบูรณ์ทั้ง 3 จุดของโครงการ



รูปที่ 5.10 แสดงการหาจุดกึ่งกลางของเส้นในกรณีต่างๆ

5.2.2.2 กรณีที่มีจุดบนเส้นแบ่งเลนได้ถูกต้อง ดังจุดที่ 2 และ 3 ของรูปที่ 5.10 โดยโปรแกรมจะทำการคำนวณระยะห่างระหว่างจุดทั้งสองจุดไว้ เพื่อจะได้นำมาใช้ต่อไปในกรณีที่ไม่สามารถหาจุดทั้งสองจุดได้ และโปรแกรมจะทำการเปลี่ยนแปลงระยะห่างนี้ เฉพาะในกรณีที่สามารถหาจุดสองจุดได้อย่างถูกต้องเท่านั้น

การนำเอาตำแหน่งและจำนวนของพิกเซลที่ได้จากกระบวนการข้างต้นมาหาค่าเฉลี่ย ดังนั้นโปรแกรมจะสามารถรู้ตำแหน่งโดยประมาณของเส้นแบ่งได้ หลังจากนั้น โปรแกรมสามารถรู้ตำแหน่งของจุดกึ่งกลางของเลนขณะใดขณะหนึ่งได้จากการหาจุดกึ่งกลางระหว่างจุดที่อยู่บนเส้นแบ่งเลนทั้งสองได้

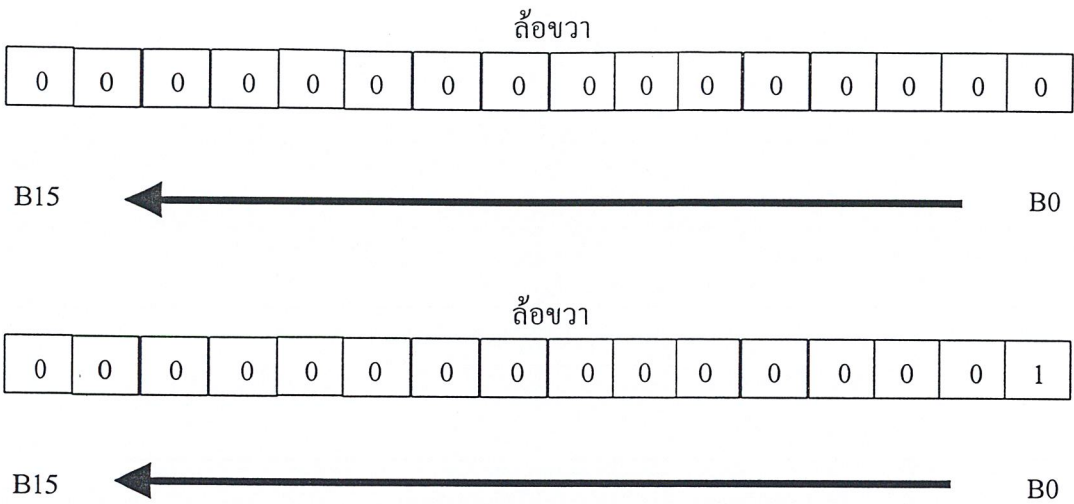
โปรแกรมสามารถหาจุดกึ่งกลางของเลน ณ ตำแหน่งใดก็ได้ แต่ในการทดลองนี้ถูกเซตให้หาจุดกึ่งกลางของเลนเพียง 3 ตำแหน่งดังที่ได้แสดงในรูปที่ แล้วนำทั้ง 3 ตำแหน่งที่ได้มาทำการประมวลผลเพื่อควบคุมทิศทางรถต่อไป

5.2.3 อัลกอริทึมการสร้างรหัสในการควบคุมทิศทาง

อัลกอริทึมนี้จะทำการรับค่าทิศทางและความเร็วในการควบคุมทิศทางรถและการเลี้ยวจากอัลกอริทึมส่วนอื่น

อัลกอริทึมการควบคุมทิศทางรถถูกแบ่งออกเป็น

- เริ่มการทำงาน (Start) จะเป็นการสั่งให้ไมโครคอนโทรลเลอร์อยู่ในสถานะพร้อมที่จะรับข้อมูลต่างๆที่โปรแกรมจะทำการส่งให้ ซึ่งคำสั่งสตาร์ทนี้จะส่งค่าความเร็วที่ต่ำสุดให้ไมโครคอนโทรลเลอร์ ส่วนไมโครคอนโทรลเลอร์เองก็จะทำการขับเคลื่อนรถไปด้วยความเร็วต่ำสุดเช่นเดียวกัน
- หยุดการทำงาน (Stop) จะสั่งให้รถหยุดการเคลื่อนที่ของรถ
- เพิ่มความเร็ว (Speed) เป็นการสั่งให้ไมโครคอนโทรลเลอร์เพิ่มความเร็วในการหมุนดีซีมอเตอร์ โดยสั่งให้มีความเร็วเพิ่มขึ้นพร้อมกันทั้งสองข้างซึ่งจะเป็นความเร็วของตัวรถ
- ลดความเร็ว (Slow) จะสั่งการให้ไมโครคอนโทรลเลอร์ลดความเร็วของดีซีมอเตอร์ทั้งสองข้างลง โดยจะลดความเร็วพร้อมกันทั้งสองข้าง และเป็นความเร็วของตัวรถ
- เลี้ยวซ้าย (Turn Left) จะสั่งให้รถทำการเลี้ยวซ้ายโดยสั่งให้ไมโครคอนโทรลเลอร์ป้อนความเร็วให้กับดีซีมอเตอร์แต่ละตัวด้วยความเร็วที่ไม่เท่ากัน โดยที่ดีซีมอเตอร์ด้านขวามีความเร็วเพิ่มขึ้น แต่ความเร็วด้านซ้ายมีความเร็วเท่ากับความเร็วของรถ และมีความเร็วมากกว่าน้อยกว่าความเร็วด้านขวา โดยจะทำให้รถเลี้ยวขวาได้

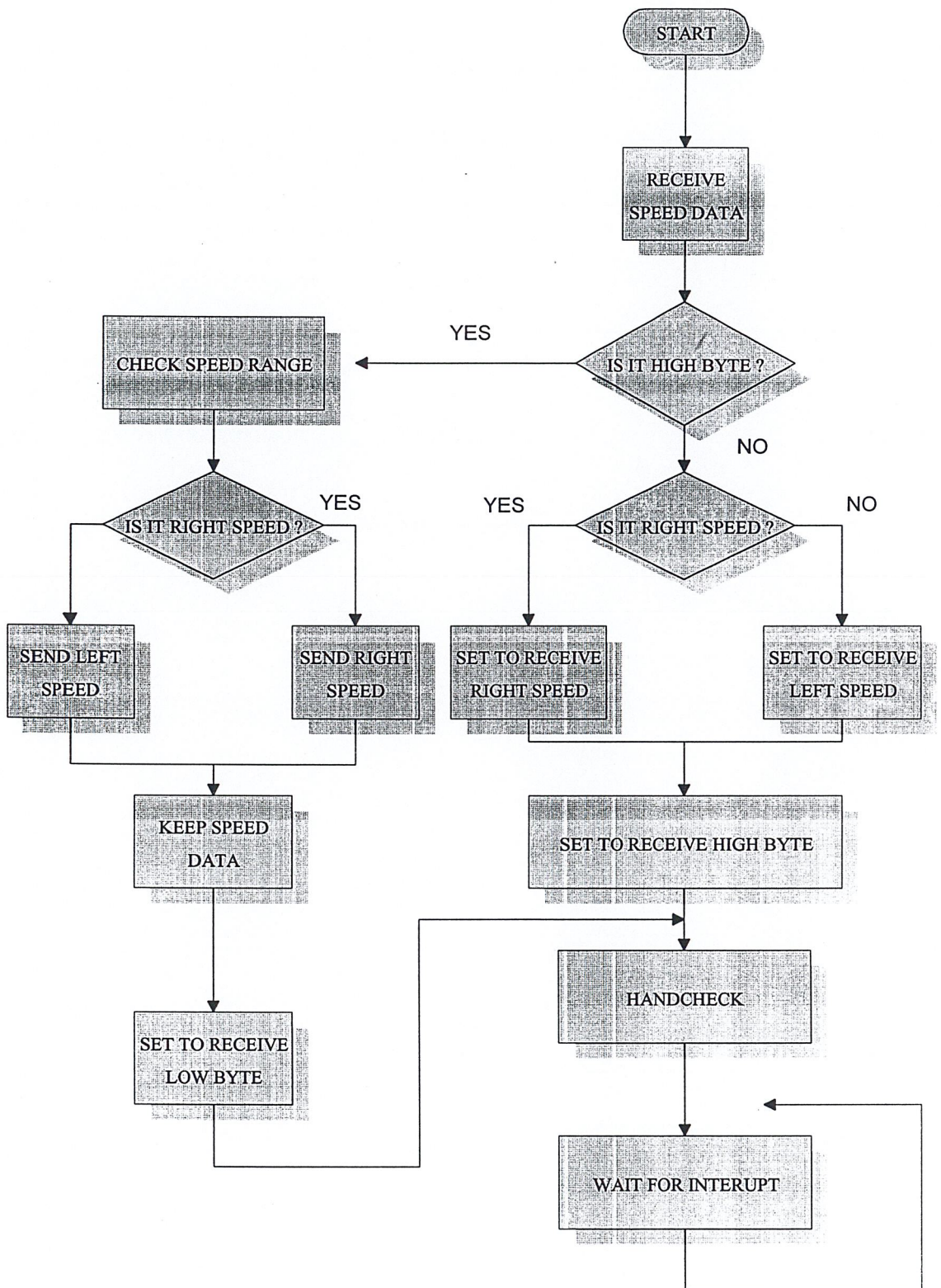


รูปที่ 5.12 แสดงข้อมูลที่ใช้ในการควบคุมมอเตอร์ลือซ้ายและลือขวา

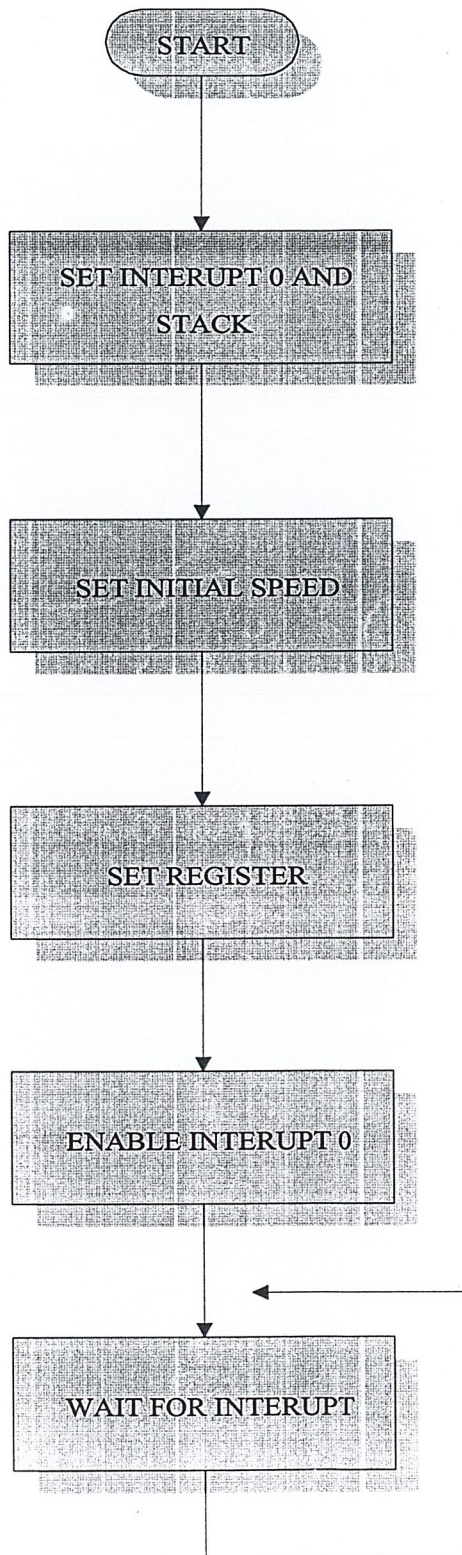
5.2.6 อัลกอริทึมการอินเทอร์รัพท์ภายนอก

เมื่อมีการอินเทอร์รัพท์เข้ามาเพื่อส่งค่าความเร็วแล้ว ไมโครคอนโทรลเลอร์จะทำการ ดิสแอมเบิลอินเทอร์รัพท์ นำข้อมูลเดิมไปเก็บไว้ในแอสตค แล้วจึงอ่านค่าเข้ามาจากพอร์ตสอง แล้วจึงทำการเช็คค่าที่ส่งมาเป็น ไบท์ต่ำหรือไบท์สูง(เนื่องจากในการส่งค่าความเร็วนั้นจะส่งมาสอง ไบท์) ถ้าเป็นไบท์ต่ำก็จะทำการเช็คว่าเป็นค่าความเร็วของลือซ้ายหรือขวา แล้วจึงเช็คค่าในรีจิสเตอร์เพื่อให้สามารถรับไบท์สูงของลือแต่ละข้างได้อย่างถูกต้อง เสร็จแล้วจึงดึงค่าที่เก็บไว้ในแอสตค กลับมา แล้วจึงเช็คค่าในรีจิสเตอร์เพื่อรับค่าความเร็วไบท์สูง ส่งสัญญาณแฮนด์เช็กไปยังการ์ด พอร์ตเพื่อให้การ์ดพอร์ตส่งค่าไบท์สูงมา ทำการอินแอมเบิลอินเทอร์รัพท์ แล้วจึงหยุดเพื่อเฟ้ารอการ อินเทอร์รัพท์เพื่อรับค่าความเร็วจากการ์ดพอร์ตต่อไป

แต่หากค่าที่ส่งมาเป็นไบท์สูง ไมโครคอนโทรลเลอร์ก็จะทำการเช็คว่าเป็นค่าของลือ ซ้ายหรือขวาแล้วจึงทำการส่งค่าความเร็วผ่านทางพอร์ต1 ไปยังวงจรถูกควบคุมความเร็วต่อไป แล้ว จึงเช็คค่าในรีจิสเตอร์เพื่อรับค่าไบท์ต่ำในครั้งต่อไป แสดงให้เห็นดังในรูปที่ 5.13 และ 5.14



รูปที่ 5.13 โฟลว์ชาร์ตแสดงการควบคุมความเร็วของรถ

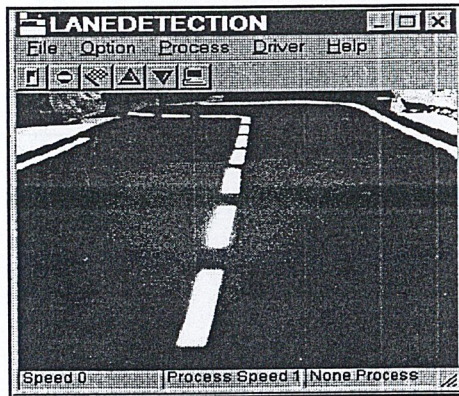


รูปที่ 5.14 แสดงการเซ็ตการอินเทอร์รัปต์

บทที่ 6

การทดลองและผลการทดลอง

ในขั้นแรกเมื่อเราเข้าสู่การทำงานของโปรแกรม โดยเมื่อทำการเปิดโปรแกรมจะได้
 ดังรูปที่ 6.1



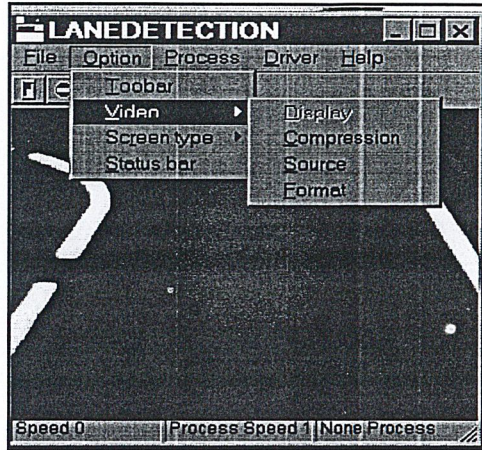
รูปที่ 6.1 แสดงหน้าจอเมื่อทำการเปิดโปรแกรม

6.1 รายละเอียดต่างๆ ของโปรแกรม

6.1.1 เมนูอ็อปชั่น (Option Menu) จะแบ่งเป็น

- 1) ทูลบาร์ (Tool Bar) เป็นส่วนที่ใช้แสดงแถบของเครื่องมือที่ใช้ในการทำงาน
- 2) วิดีโอ (Video) เป็นส่วนที่ทำหน้าที่รับภาพจากกล้องดิจิตอล โดยจะทำการกำหนดค่าพารามิเตอร์ต่างๆ ได้แก่

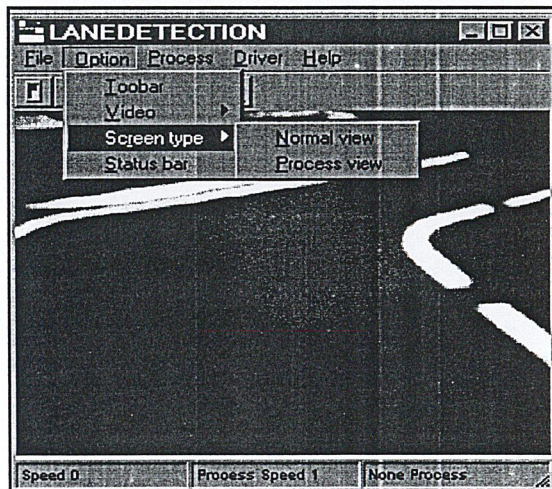
- ค่าในการบีบอัด (Compression) มีหน้าที่ในการบีบอัดข้อมูลที่ได้จากกล้องดิจิตอลเพื่อใช้ในการแสดงผล
- ซอร์ส (Source) ทำหน้าที่ในการปรับค่าพารามิเตอร์ต่างๆ ของภาพ เช่น ความสว่าง(Brightness) ,แซททูเรชั่น (Saturation) และระดับความเข้ม (Contrast) เป็นต้น
- ฟอ์แมท (Format) ใช้ในการกำหนดขนาดของภาพที่แสดง ความทึบของสีที่แสดง และความคมชัดของภาพ



รูปที่ 6.2 แสดง ออปชั่นเมนูส่วนวิดีโอ

3. สกรีนไทป์ (Screen Type) ใช้กำหนดรูปแบบการแสดงผลของโปรแกรม โดยภาพที่แสดงบนจอภาพมีการประมวลผลได้เป็น 2 รูปแบบคือ

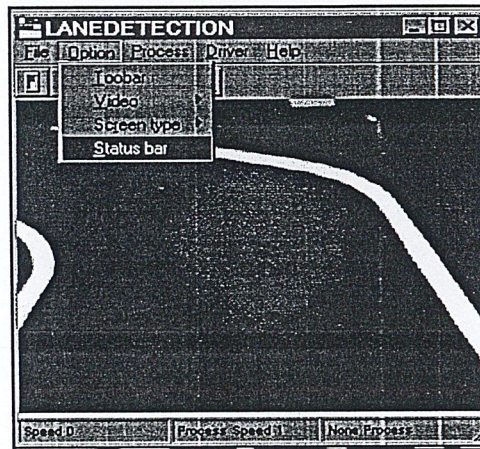
- ภาพจริง (Normal View) จะแสดงภาพที่ได้จากกล้องวิดีโอในขณะนั้นจริงๆ ไม่ผ่านกระบวนการใดๆ
- ภาพจากการประมวลผล (Process view) ภาพที่ได้จะผ่านการประมวลผล



รูปที่ 6.3 แสดง ออปชั่นเมนู ส่วนสกรีนไทป์

4. แถบแสดงสถานะ (Status Bar) โดยจะใช้กำหนดว่าจะให้แสดงแถบสถานะของโปรแกรมในขณะนั้นหรือไม่ ซึ่งจะบอกถึง

- ค่าความเร็วของรถ (Vehicle Speed)
- ความเร็วในการประมวลผลภาพ (Process Speed)
- สถานะการทำงานของโปรแกรม (Program Status)



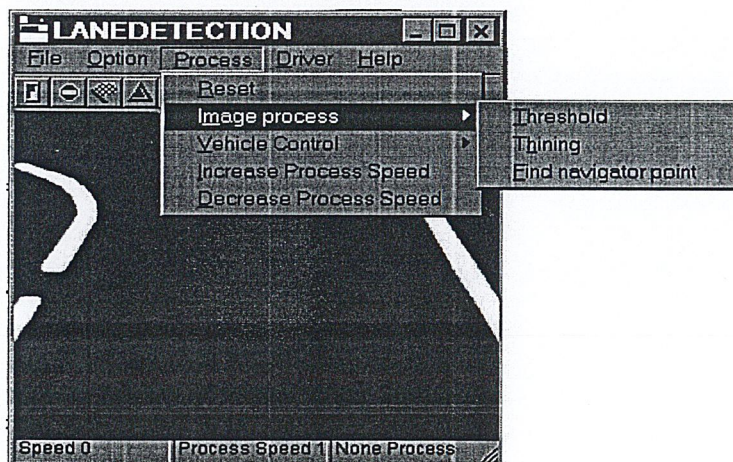
รูปที่ 6.4 แสดงอ็อปชั่นเมนูส่วนแถบสถานะ

6.1.2 เมนูแสดงการประมวลผลภาพ (Process Menu)

มีชุดคำสั่งดังนี้

1. รีเซ็ต (Reset) ใช้ในการรีเซ็ตโปรแกรมหรือเริ่มต้นการทำงานของโปรแกรมใหม่ทั้งหมด
2. อิมเมจโปรเซส (Image Process) ใช้ในการประมวลผลภาพในรูปแบบต่างๆ ซึ่งมีการทำงานของฟังก์ชันต่างๆ ดังต่อไปนี้
 - เทรชโฮลด์ (Threshold) เมื่อใช้ฟังก์ชันนี้จะทำให้ภาพที่ได้มีพิกเซล (pixel) เป็นภาพขาว - ดำ ทั้งนี้การที่จะเป็นเช่นนี้ได้ขึ้น กับว่าค่าที่ได้จากการเปรียบเทียบ (Threshold Compare) ที่เราเซตไว้ในตัวโปรแกรมเป็นเช่นไร

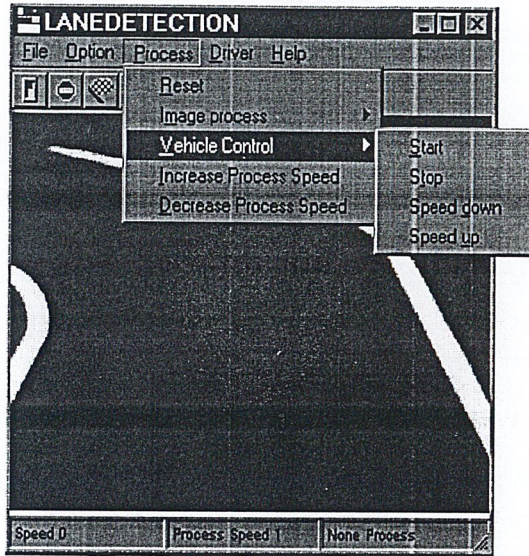
- **ธินนึ่ง (Thinning)** จะทำให้ภาพที่ได้จากการประมวลผลเป็นภาพของขอบเลนถนน แต่ธนนึ่งภาพที่ได้จะไม่ได้ทำการประมวลผลธนนึ่งหมด แต่จะทำได้เพียงบางส่วนเท่านั้น
- **การหาจุดกึ่งกลางของเลนถนน (Find Navigator Point)** ภาพจากกระบวนการนึ่งจะเป็นภาพที่ได้จากการธินนึ่งด้วยและจะทำการหาจุดกึ่งกลางของเลนด้วย ซึ่งจะได้มา 3 จุด โดยคอมพิวเตอร์จะนำธนนึ่ง 3 จุดที่ได้ในการตรวจสอบเลนของถนน



รูปที่ 6.5 แสดงเมนูโปรเซส

3. ส่วนควบคุมตัวรถ (Vehicle control)

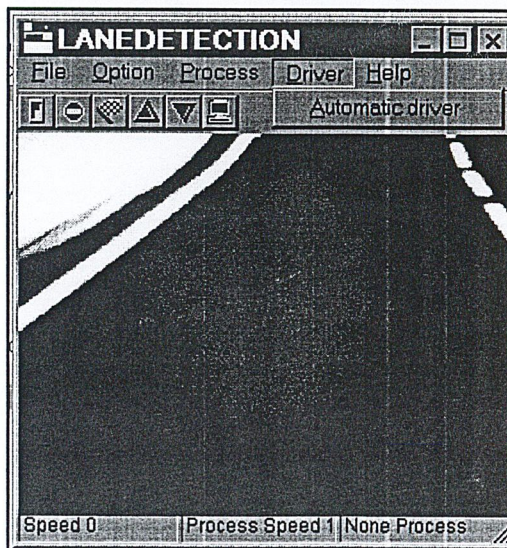
- เริ่มต้นการทำงาน (Start) โดยเริ่มจากเมื่อรถหยุดนึ่งอยู่
- หยุดการเคลื่อนที่ (Stop) เมื่อรถขับเคลื่อนอยู่
- เพิ่มความเร็ว (Speed Up)
- ลดความเร็ว (Speed Down)



รูปที่ 6.6 แสดงฟังก์ชันควบคุมการขับเคลื่อน

4. ส่วนเพิ่มความเร็วในการประมวลผลภาพ (Increase Process Speed)
5. ส่วนลดความเร็วในการประมวลผลภาพ (Decrease Process Speed)

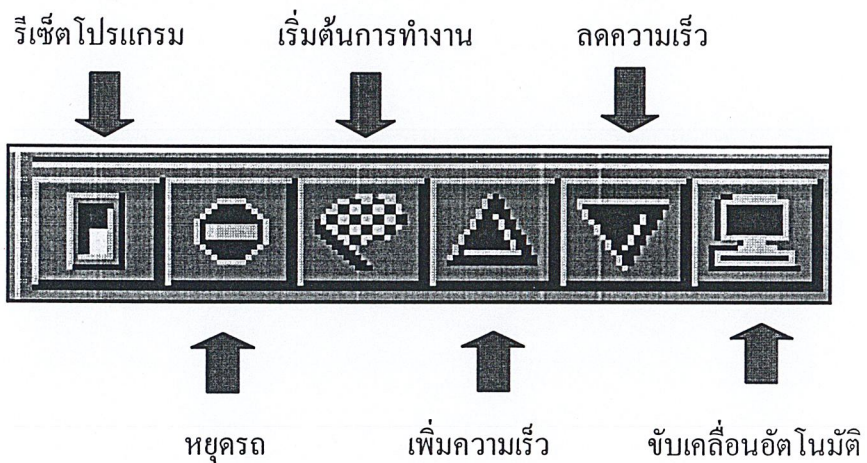
6.1.3เมนูการขับเคลื่อน (Driver Menu) ประกอบด้วย



รูปที่ 6.7 แสดงเมนูการขับเคลื่อน

- ส่วนการขับเคลื่อนรถโดยอัตโนมัติ (Automatic Driver) จะเป็นฟังก์ชันการทำงานโดยให้รถขับเคลื่อนโดยคำสั่งของคอมพิวเตอร์

6.1.4 แถบเครื่องมือ (Tool Bar) จะแสดงได้ดังรูป 6.8

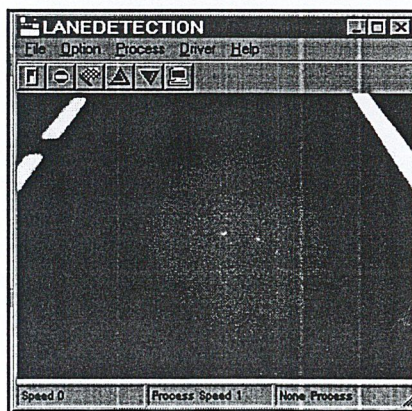


รูปที่ 6.8 แสดงแถบสถานะ (Tool Bar)

6.2 การใช้งานโปรแกรมส่วนการขับเคลื่อนรถ (Lane Detection Program)

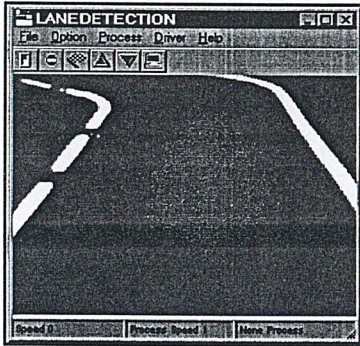
6.2.1 การตรวจจับเลนโดยคอมพิวเตอร์

เมื่อเริ่มการทำงานของโปรแกรมจะปรากฏส่วนการทำงานของโปรแกรกดังรูป 6.9

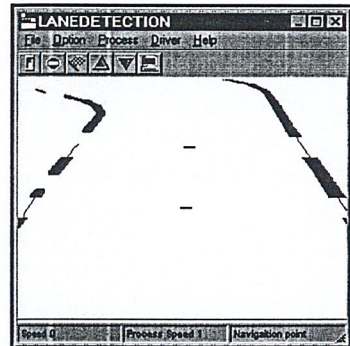


รูปที่ 6.9 แสดงผลเมื่อเริ่มโปรแกรม

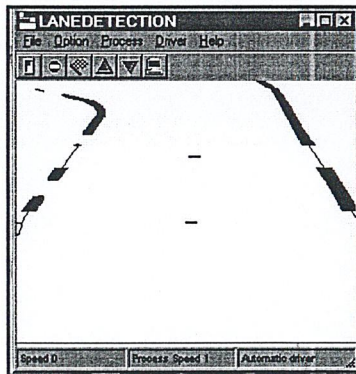
ภาพที่รับเข้ามาจะเป็นภาพที่ปรากฏจริงๆ บนถนน โดยหากทำการเลือกที่เมนูอปชั่น (Option Menu) จะปรากฏภาพ 2 ส่วนคือ ส่วนภาพจริง(normal view) และส่วนของภาพจากการประมวลผล (process view) ดังรูป 6.10



ก.)



ข.)



ค.)

รูปที่ 6.10 แสดงผลการทำงานส่วน สกรีนไทป์

ก.) การแสดงผลแบบนอร์มัลวิว

ข.) การแสดงผลแบบโปรเซสวิว

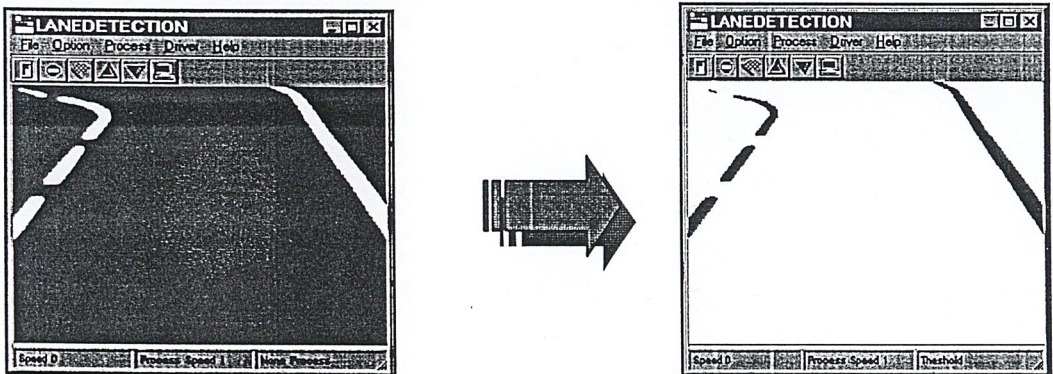
ค.) การแสดงผลเมื่อรถขับเคลื่อนอัตโนมัติ

จากนั้นทำการขับเคลื่อนรถ โดยก่อนที่รถจะเคลื่อนที่ให้เราเลือกที่เมนูการขับเคลื่อน (Driver Menu) แล้วเลือก Automatic driver ซึ่งโปรแกรมจะทำการตรวจจับเลนถนน แล้วเข้าไปที่ Process Menu เพื่อที่จะทำการประมวลผลภาพ แล้วเลือกที่ Vehicle Menu เพื่อเลือกที่ฟังก์ชัน Start เพื่อเริ่มต้นการทำงานให้กับรถหรืออาจเลือกคำสั่งเริ่มการทำงานได้ที่แถบเครื่องมือเลยก็ได้ เราสามารถเพิ่มหรือลดความเร็วของรถได้โดยใช้คำสั่ง Speed Up หรือ Speed Down ได้จากแถบเครื่องมือหรือจาก Process Menu ก็ได้ โดยที่ในขณะที่รถเคลื่อนที่ที่เราสามารถที่จะให้ภาพแสดงภาพจริงหรือภาพจากการประมวลผลก็ได้โดยใช้คำสั่ง normal view หรือ process view ได้จากเมนู Screen Type

6.2.2 การประมวลผลภาพ

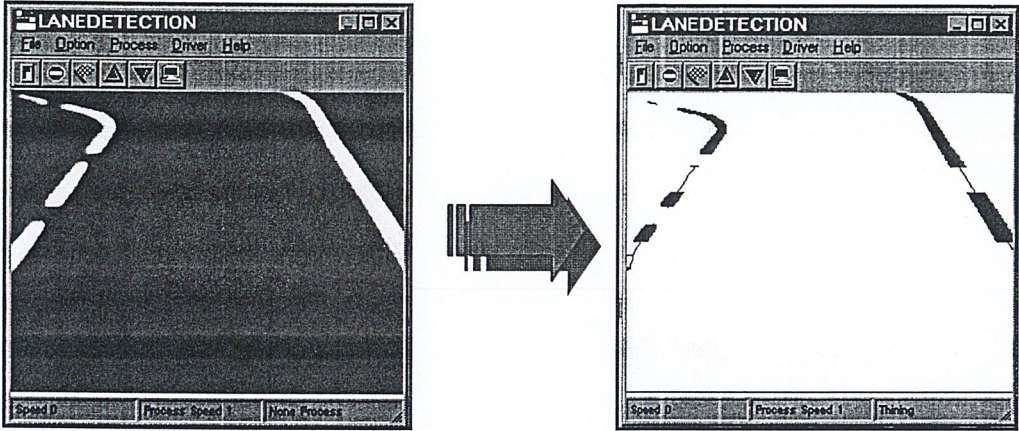
ภาพที่ได้จากการประมวลผลภายหลังจากที่ได้รับจากกล้องดิจิทัลเรียบร้อยแล้วนั้น จะนำผลลัพธ์ที่ได้แสดงออกทางส่วนของจอภาพ โดยเราจะทำกระบวนการนี้ได้ก็ต่อเมื่อรถไม่ขับเคลื่อนแล้วเท่านั้น กระบวนการต่างๆมีดังนี้

- **เทรชโฮลด์(Threshold)** ภาพที่ได้จากฟังก์ชันนี้เป็นภาพที่ได้เพียง 2 ระดับชั้นเท่านั้น คือ เป็นพิกเซล (pixel) ที่แสดงระดับสีขาวยกกับดำ ดังรูป 6.11



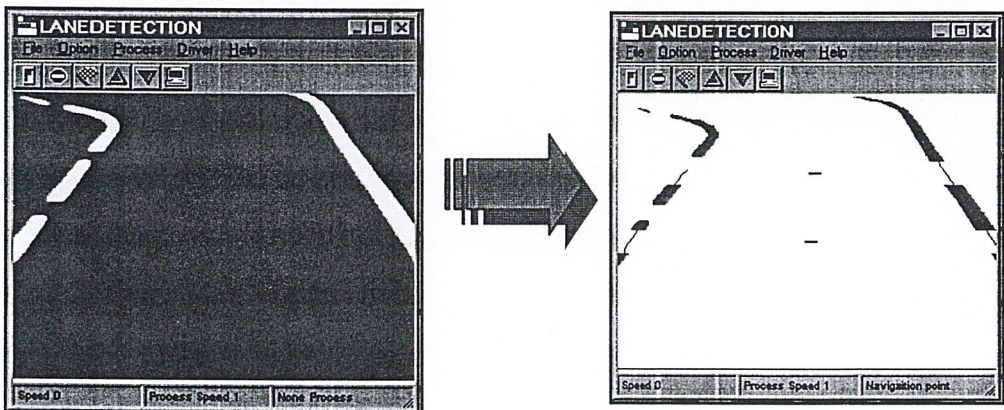
รูปที่ 6.11 แสดงฟังก์ชันเทรชโฮลด์

- **ธินนิง (Thinning)** ภาพที่ได้รับจากกล้องดิจิทัลจะถูกทำให้เหลือเพียงส่วนของขอบถนนเท่านั้น โดยที่ส่วนภาพที่แสดงนั้นยังเป็นส่วนที่ผ่านการเทรชโฮลด์ด้วยแต่ถูกทำให้เหลือเพียงส่วนของขอบถนนเท่านั้น



รูปที่ 6.12 แสดงฟังก์ชันค้นหา

- การหาจุดกึ่งกลางเลน (Find Navigation Point) เมื่อผ่านคำสั่งนี้ เราจะได้จุดกึ่งกลางของเลนถนนมา 3 จุด โดยจากทั้ง 3 จุดนี้จะถูกคอมพิวเตอร์นำไปใช้ในการประมวลผลภาพเพื่อบังคับรถให้แล่นไปได้ถูกทิศทางได้ถูกต้องดังรูป 6.13



รูปที่ 6.13 แสดงฟังก์ชันการหาจุดกึ่งกลางเลน

บทที่ 7

บทสรุป

จากโครงการนี้จะเห็นว่าประกอบด้วยส่วนหลักๆ สองส่วน คือ ส่วนของฮาร์ดแวร์ และส่วนของซอฟต์แวร์ ซึ่งส่วนของฮาร์ดแวร์เป็นส่วนของตัวรถ ส่วนซอฟต์แวร์จะเป็นส่วนของการประมวลผลภาพเลนถนน โดยทั้งสองส่วนจะทำงานร่วมกันเพื่อให้รถเคลื่อนไปตามเลนถนน

ในการขับเคลื่อนรถนั้นจะอาศัยการประสานงานกันระหว่างกล้องดิจิทัล วงจรไครมโมเตอร์กระแสตรง และไมโครคอนโทรลเลอร์ โดยจะแสดงผลทางจอคอมพิวเตอร์ พร้อมทั้งควบคุมการเคลื่อนที่ของรถ

เมื่อเราสั่งให้รถเคลื่อนที่ กล้องดิจิทัลจะรับภาพเลนถนนแล้วประมวลผลโดยผ่าน 3 กระบวนการ ได้แก่ เทรชโซลด์ ธินนิง และหาจุดกึ่งกลางเลน โดยการเทรชโซลด์จะแปลงจากภาพปกติ (normal view) เป็นภาพที่ประกอบด้วยพิกเซลสีขาวและดำ แล้วจึงหาขอบถนนด้วยการธินนิง เสร็จแล้วจึงหาจุดกึ่งกลางเลน (find navigator) จากจุดกึ่งกลางเลนที่ได้จึงนำมาประมวลผลเพื่อควบคุมทิศทางการเคลื่อนที่ของรถต่อไป

ในส่วนวงจรควบคุมการเคลื่อนที่ของรถนั้น ในโครงการนี้เราใช้มอเตอร์กระแสตรง ซึ่งสามารถควบคุมความเร็วและตำแหน่งการเคลื่อนที่ได้ยาก จึงเป็นการยากที่จะควบคุมให้รถเล่นไปตามเลนได้อย่างถูกต้อง ดังจะสังเกตได้ว่าการเคลื่อนที่ของรถจะมีลักษณะซิกแซก ทั้งยังมีปัญหาในส่วนของกล้องที่ใช้จับภาพ กล่าวคือ กล้องที่ใช้ นั้นสามารถจับภาพได้มุมแคบ ภาพเลนที่จับได้จึงมีระยะห่างจากตัวรถมาก ทำให้การเคลื่อนที่ของรถเบี่ยงเบนไปจากเลนมาก ทั้งกล้องยังมีความไวต่ำซึ่งเมื่อรวมกับความเร็วในการประมวลผลของคอมพิวเตอร์ซึ่งค่อนข้างต่ำแล้ว จะพบว่าบ่อยครั้งที่ไม่สามารถประมวลผลได้เร็วพอ ทำให้เกิดความผิดพลาดขึ้น

ดังนั้นแนวทางในการพัฒนาและปรับปรุงก็คือ ใช้กล้องดิจิทัลและอุปกรณ์ในการประมวลผลที่มีความเร็วและประสิทธิภาพสูง ซึ่งในขั้นนี้นั้นสามารถนำไปใช้ได้ในการทำงานที่มีสภาพแวดล้อมซึ่งไม่มีสิ่งรบกวนมาก เช่น ในโรงงานที่มีการจัดสภาพแวดล้อมให้เหมาะกับการประมวลผล เป็นต้น

ภาคผนวก

โปรแกรมภาษาแอสเซมบลี

```

ORG 0000H
LJMP MAIN

ORG 0030H
MAIN: SETB TCON.0
      SETB IP.0
      MOV SP,#10H
      MOV A,#0EEH
      MOV P1,A
      CPL A
      MOV R3,A
      MOV R0,#00H
      MOV R1,#00H
      SETB P3.3
      MOV IE,#81H
      SJMP $

ORG 0003H
LJMP INT_0

ORG 0050H
INT_0: MOV A,P2
      CPL A
      CJNE R0,#00H,HI
      RRC A
      JNC LEFT
      MOV R1,#0FFH
      JMP HAND
LEFT:  MOV R1,#00H

```

```

    JMP     HAND
HAND:   MOV     R0,#0FFH
    LJMP    WHAT
HI:     CJNE   A,#0FEH,NSTOP
    INC     A
    MOV     P1,A
    CPL     A
    MOV     R3,A
    LJMP    OK
NSTOP:  RLC     A
    JNC     LOWS
    RLC     A
    JNC     HIS1
    RLC     A
    RLC     A
    JNC     HIS2
FIFTEEN: MOV    R6,#0FH
    LJMP    MOVE
HIS2:   RLC     A
    JC      FIFTEEN
    MOV     R6,#0EH
    LJMP    MOVE
HIS1:   RLC     A
    JNC     HIS4
    RLC     A
    JNC     HIS3
    MOV     R6,#0DH
    LJMP    MOVE
HIS3:   MOV     R6,#0CH
    LJMP    MOVE
HIS4:   RLC     A
    JNC     HIS5
    MOV     R6,#0BH
    LJMP    MOVE
```

```
HIS5:    MOV    R6,#0AH
          LJMP   MOVE
          RLC    A
          JNC   LOW1
          RLC    A
          JNC   LOW2
          RLC    A
          JNC   SEVEN
          RLC    A
          JNC   LOW4
          MOV    R6,#09H
          LJMP   MOVE
          RLC    A
          JC     NINE
          MOV    R6,#08H
          LJMP   MOVE
          SEVEN: MOV    R6,#07H
          LJMP   MOVE
          LOW2:  RLC    A
          JNC   FIVE
          MOV    R6,#06H
          LJMP   MOVE
          FIVE:  MOV    R6,#05H
          LJMP   MOVE
          LOW1:  RLC    A
          JNC   LOW3
          RLC    A
          JNC   THREE
          MOV    R6,#04H
          LJMP   MOVE
          THREE: MOV    R6,#03H
          LJMP   MOVE
          LOW3:  RLC    A
          JNC   ONE
```

```
      MOV    R6,#02H
      LJMP   MOVE
ONE:   MOV    R6,#01H
MOVE:  CJNE  R1,#00H,RH
      MOV    A,R6
      SWAP  A
      MOV    R6,A
      MOV    A,R3
      ANL   A,#0FH
      JMP   OH
RH:    MOV    A,R3
      ANL   A,#0F0H
OH:    ORL   A,R6
      MOV    R3,A
      CPL   A
      MOV    P1,A
OK:    MOV    R0,#00H
WHAT:  CLR   P3.3
      SETB  P3.3
      RETI
END
```

โปรแกรมควบคุมการทำงานของเครื่อง (Visual C++)

```
//Lane.c
#include <windows.h>
#include <windowsx.h>
#include <commctrl.h>
#include <stdio.h>
#include <vfw.h>
#include "globals.h"
#include "resource.h"

#define NUM_IMAGES      7 //number of images on tool bar
#define IMAGE_WIDTH     16//image width in pixel
#define IMAGE_HEIGHT   16//image height in pixel
#define BUTTON_WIDTH    0//button width in pixel (use default)
#define BUTTON_HEIGHT  0//button height in pixel (use default)

HWND hToolBar;
HWND hStatusBar;
HMENU hMenu;
BOOL fToolbar;
UINT ButtonID;
char cBuff[20];

TBBUTTON tbb[] =
{
    {0,ID_PROCESS_RESET,      TBSTATE_ENABLED,TBSTYLE_BUTTON,0,0},
    {1,ID_PROCESS_STOP,      TBSTATE_ENABLED,TBSTYLE_BUTTON,0,0},
    {2,ID_PROCESS_START,     TBSTATE_ENABLED,TBSTYLE_BUTTON,0,0},
    {3,ID_PROCESS_SPEEDUP,   TBSTATE_ENABLED,TBSTYLE_BUTTON,0,0},
```

```

    {4,ID_PROCESS_SPEEDDOWN,
    TBSTATE_ENABLED,TBSTYLE_BUTTON,0,0},
    {5,ID_DRIVER_AUTOMATICDRIVER,
    TBSTATE_ENABLED,TBSTYLE_BUTTON,0,0}
};

LRESULT CALLBACK WndProc(HWND hWnd,
                                UINT uMessage,
                                WPARAM wParam,
                                LPARAM lParam)
{
    switch (uMessage)
    {
        case WM_CREATE:
            //load common controle DLL
            InitCommonControls();

            //create a tool bar
            CreateToolBar(hWnd);
            hStatusBar=CreateStatusBar(hWnd);
            SendMessage(hStatusBar,SB_SETTEXT,
                (WPARAM)0|0,(LPARAM)(LPSTR)"Speed 0");
            SendMessage(hStatusBar,SB_SETTEXT,
                (WPARAM)1|0,(LPARAM)(LPSTR)"Process Speed 1");
            SendMessage(hStatusBar,SB_SETTEXT,
                (WPARAM)2|0,(LPARAM)(LPSTR)"None Process");
            CreateVideo(hWnd);
            break;
    }
}

```

```
/* case WM_CHAR:
{
    chCharCode = (TCHAR) wParam; // character code
    switch(chCharCode)
    {
        //DownArrow
        case 53:Direction(_slow,20);
            break;
        //UpArrow
        case 56:Direction(_fast,20);
            break;
        //Right Arrow
        case 54:Direction(_right,10);
            Direction(_left,-10);
            break;
        //Left Arrow
        case 52:Direction(_left,10);
            Direction(_right,-10);
            break;
    }
}

break;*/

case WM_COMMAND:
    switch (GET_WM_COMMAND_ID(wParam,lParam))
    {
        case ID_FILE_EXIT:
```

```

if (DialogBox(hInst,MAKEINTRESOURCE
(EXITDLG),
hWnd, (DLGPROC)ExitProgram))
{
DestroyWindow(hWndV1);
DestroyWindow(hWnd);
}
break;

case IDM_TOOLBAR:
hMenu=GetMenu(hWnd);
if(!fToolbar)
{
//show tool bar
fToolbar=true;
ShowWindow(hToolBar,SW_SHOW);
CheckMenuItem(hMenu,IDM_TOOLBAR,
MF_CHECKED);
}
else
{
//hide tool bar
fToolbar=false;
ShowWindow(hToolBar,SW_HIDE);
CheckMenuItem(hMenu,IDM_TOOLBAR,
MF_UNCHECKED);
}
break;

case ID_OPTION_VIDEO_DISPLAY:

```

```

        capDlgVideoDisplay(hWndV1);

//capSetCallbackOnFrame(hWndV1,VideoFrameCallbackFirst);
        break;

        case ID_OPTION_VIDEO_COMPRESSION:
            capDlgVideoCompression(hWndV1);

//capSetCallbackOnFrame(hWndV1,VideoFrameCallbackFirst);
        break;

        case ID_OPTION_VIDEO_SOURCE:
            capDlgVideoSource(hWndV1);

capSetCallbackOnFrame(hWndV1,VideoFrameCallbackFirst);
        break;

        case ID_OPTION_VIDEO_FORMAT:
            capDlgVideoFormat(hWndV1);
            ResizeCaptureWindow(hWndV1);

capSetCallbackOnFrame(hWndV1,VideoFrameCallbackFirst);
        break;

        case ID_OPTION_SCREENTYPE_PROCESSVIEW:

            EnableMenuItem(GetMenu(hWnd),ID_OPTION_SCREENTYPE_NORMALVIEW,
MF_ENABLED);

            EnableMenuItem(GetMenu(hWnd),ID_OPTION_SCREENTYPE_PROCESSVIEW,
MF_GRAYED);

```

```

        if(mProcess==1)capSetCallbackOnFrame
(hWndV1,VideoFrameCallbackLaneDetection1);

        else if(mProcess==2)capSetCallbackOnFrame
(hWndV1,VideoFrameCallbackLaneDetection2);

        mProcess=2;

        fReal=false;

        break;

    case ID_OPTION_SCREENTYPE_NORMALVIEW:

        EnableMenuItem(GetMenu(hWnd),ID_OPTION_SCREENTYPE_NORMALVIEW,
MF_GRAYED);

        EnableMenuItem(GetMenu(hWnd),ID_OPTION_SCREENTYPE_PROCESSVIEW,
MF_ENABLED);

        if(mProcess==1)capSetCallbackOnFrame
(hWndV1,VideoFrameCallbackLaneDetection1);

        else if(mProcess==2)capSetCallbackOnFrame
(hWndV1,VideoFrameCallbackLaneDetection2);

        mProcess=1;

        fReal=true;

        break;

    case ID_PROCESS_THRESHOLD:

        capSetCallbackOnFrame(hWndV1,VideoFrameCallbackThreshole);

        mProcess=0;

        SendMessage(hStatusBar,SB_SETTEXT,
(WPARAM)2|0,(LPARAM)(LPSTR)"Theshold");

        break;

    case ID_PROCESS_RESET:

```

```

capSetCallbackOnFrame(hWndV1,VideoFrameCallbackNOP);
        mProcess=0;
        SendMessage(hStatusBar,SB_SETTEXT,
(WPARAM)2|0,(LPARAM)(LPSTR)"None Process");
        break;
    case ID_PROCESS_IMAGEPROCESS_THINING:

capSetCallbackOnFrame(hWndV1,VideoFrameCallbackThining);
        SendMessage(hStatusBar,SB_SETTEXT,
(WPARAM)2|0,(LPARAM)(LPSTR)"Thining");
        break;
    case
ID_PROCESS_IMAGEPROCESS_FINDNAVIGATORPOINT:

capSetCallbackOnFrame(hWndV1,VideoFrameCallbackFNP);
        SendMessage(hStatusBar,SB_SETTEXT,
(WPARAM)2|0,(LPARAM)(LPSTR)"Navigation point");
        break;

    case ID_PROCESS_INCREASEPROCESSSPEED:
        if(mProcessSpeed<10) mProcessSpeed++;
        sprintf(cBuff,"Process Speed
%d",mProcessSpeed);
        SendMessage(hStatusBar,SB_SETTEXT,
(WPARAM)1|0,(LPARAM)(LPSTR)cBuff);
        break;

    case ID_PROCESS_DECREASEPROCESSSPEED:
        if(mProcessSpeed>1) mProcessSpeed--;

```

```
        sprintf(cBuff,"Process Speed
%d",mProcessSpeed);

        SendMessage(hStatusBar,SB_SETTEXT,
(WPARAM)1|0,(LPARAM)(LPSTR)cBuff);
        break;

case ID_PROCESS_START:
    Direction(_start,0);
    break;

case ID_PROCESS_STOP:
    SendMessage(hStatusBar,SB_SETTEXT,
(WPARAM)0|0,(LPARAM)(LPSTR)"Speed 0");
    Direction(_stop,0);
    break;

case ID_PROCESS_SPEEDUP:
    Direction(_fast,50);
    sprintf(cBuff,"Speed %d",frequency);
    SendMessage(hStatusBar,SB_SETTEXT,
(WPARAM)0|0,(LPARAM)(LPSTR)cBuff);
    break;

case ID_PROCESS_SPEEDDOWN:
    Direction(_slow,50);
    sprintf(cBuff,"Speed %d",frequency);
    SendMessage(hStatusBar,SB_SETTEXT,
(WPARAM)0|0,(LPARAM)(LPSTR)cBuff);
    break;
```

```

case ID_DRIVER_AUTOMATICDRIVER:
    SendMessage(hStatusBar,SB_SETTEXT,
        (WPARAM)2|0,(LPARAM)(LPSTR)"Automatic driver");
    if(fReal)
    {
capSetCallbackOnFrame(hWndV1,VideoFrameCallbackLaneDetection2);
        mProcess=1;
    }
    else
    {

capSetCallbackOnFrame(hWndV1,VideoFrameCallbackLaneDetection1);
        mProcess=2;
    }
    break;
case ID_DRIVER_MANUALDRIVER:

capSetCallbackOnFrame(hWndV1,VideoFrameCallbackNOP);

    break;

case IDM_ABOUT:
    //creat an about dialog box
    DialogBox(hInst,MAKEINTRESOURCE
(ABOUTDLG),
        hWnd, (DLGPROC)About);
    break;

```

```

default:
    return DefWindowProc (hWnd,uMessage,

wParam,lParam);
    }
    break;

case WM_NOTIFY:
    switch(((LPNMHDR)lParam)-> code)
    {
        //process tool tip control message
        case TTN_NEEDTEXT:
            {
                LPTOOLTIPTEXT lpttt;

                lpttt = (LPTOOLTIPTEXT)lParam;
                lpttt -> hinst = hInst;

                ButtonID = lpttt -> hdr.idFrom;
                switch(ButtonID)
                {
                    case ID_PROCESS_RESET:
                        lpttt->lpszText =
                            MAKEINTRESOURCE
(IDS_TIPS1);

                        break;

                    case ID_PROCESS_STOP:
                        lpttt->lpszText =

```



```

case WM_DESTROY:
    free(bmi);
    PostQuitMessage(0);
    break;

default:
    return DefWindowProc(hWnd,uMessage,
                                                                    wParam,lParam);
}
return 0;
}

```

//function for creating a tool bar

BOOL CreateToolBar (HWND hWnd)

```

{
    hToolBar = CreateToolbarEx(
        hWnd,
        WS_CHILD | WS_VISIBLE |
        TBSTYLE_TOOLTIPS,
        IDR_TOOLBAR1,
        NUM_IMAGES,
        hInst,
        IDR_TOOLBAR1, //toolbar image bitmap file
        tbb,
        sizeof(tbb)/sizeof(TBBUTTON),
        16,
        16,
        0,
        0,
        sizeof(TBBUTTON));
}

```

```

    return (hToolBar != NULL);
}

//Function for create status bar
HWND CreateStatusBar(HWND hWnd)
{
    HWND hStatusBar;
    int textWidth[]={100,200,320};

    hStatusBar = CreateWindowEx(
        0, //no extended style
        STATUSCLASSNAME, //Class name for status bar
        LPSTR(NULL), //No caption (title)
        WS_CHILD| //Child window and
        SBS_SIZEGRIP, //include a single grip
        0, 0, //ignore
        0, 0, //ignore
        hWnd, //parent window
        (HMENU)ID_OPTION_STATUSBAR, //child window identifier
        hInst, //instance
        NULL ); //no WM_CREATE parameter

    SendMessage(hStatusBar, SB_SETPARTS, (WPARAM)3,
        (LPARAM)(LPINT)textWidth);

    ShowWindow(hStatusBar, SW_SHOW);

    return hStatusBar;
}

```



TL494

SWITCHMODE™ Pulse Width Modulation Control Circuit

The TL494 is a fixed frequency, pulse width modulation control circuit designed primarily for SWITCHMODE power supply control.

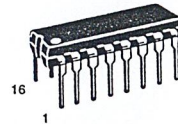
- Complete Pulse Width Modulation Control Circuitry
- On-Chip Oscillator with Master or Slave Operation
- On-Chip Error Amplifiers
- On-Chip 5.0 V Reference
- Adjustable Deadtime Control
- Uncommitted Output Transistors Rated to 500 mA Source or Sink
- Output Control for Push-Pull or Single-Ended Operation
- Undervoltage Lockout

SWITCHMODE PULSE WIDTH MODULATION CONTROL CIRCUIT

SEMICONDUCTOR TECHNICAL DATA



D SUFFIX PLASTIC PACKAGE CASE 751B (SO-16)



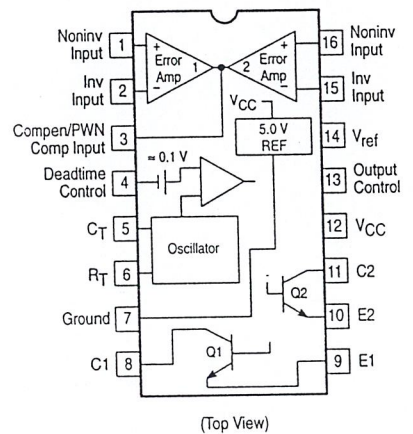
N SUFFIX PLASTIC PACKAGE CASE 648

MAXIMUM RATINGS (Full operating ambient temperature range applies, unless otherwise noted.)

| Rating | Symbol | TL494C | TL494I | Unit |
|---|-----------------------------------|------------------------|--------|------|
| Power Supply Voltage | V _{CC} | 42 | | V |
| Collector Output Voltage | V _{C1} , V _{C2} | 42 | | V |
| Collector Output Current (Each transistor) (Note 1) | I _{C1} , I _{C2} | 500 | | mA |
| Amplifier Input Voltage Range | V _{IR} | -0.3 to +42 | | V |
| Power Dissipation @ T _A ≤ 45°C | P _D | 1000 | | mW |
| Thermal Resistance, Junction-to-Ambient | R _{θJA} | 80 | | °C/W |
| Operating Junction Temperature | T _J | 125 | | °C |
| Storage Temperature Range | T _{stg} | -55 to +125 | | °C |
| Operating Ambient Temperature Range TL494C TL494I | T _A | 0 to +70 -25 to +85 | | °C |
| Derating Ambient Temperature | T _A | 45 | | °C |

NOTE: 1. Maximum thermal limits must be observed.

PIN CONNECTIONS



ORDERING INFORMATION

| Device | Operating Temperature Range | Package |
|---------|--------------------------------|---------|
| TL494CD | T _A = 0° to +70°C | SO-16 |
| TL494CN | | Plastic |
| TL494IN | T _A = -25° to +85°C | Plastic |

ELECTRICAL CHARACTERISTICS ($V_{CC} = 15\text{ V}$, $C_T = 0.01\ \mu\text{F}$, $R_T = 12\ \text{k}\Omega$, unless otherwise noted.)
 For typical values $T_A = 25^\circ\text{C}$, for min/max values T_A is the operating ambient temperature range that applies, unless otherwise noted.

| Characteristics | Symbol | Min | Typ | Max | Unit |
|-----------------|--------|-----|-----|-----|------|
|-----------------|--------|-----|-----|-----|------|

ERROR AMPLIFIER SECTION

| | | | | | |
|--|-----------|----------------------|------|------|---------------|
| Input Offset Voltage (V_O (Pin 3) = 2.5 V) | V_{IO} | - | 2.0 | 10 | mV |
| Input Offset Current (V_O (Pin 3) = 2.5 V) | I_{IO} | - | 5.0 | 250 | nA |
| Input Bias Current (V_O (Pin 3) = 2.5 V) | I_{IB} | - | -0.1 | -1.0 | μA |
| Input Common Mode Voltage Range ($V_{CC} = 40\ \text{V}$, $T_A = 25^\circ\text{C}$) | V_{ICR} | -0.3 to $V_{CC}-2.0$ | | | V |
| Open Loop Voltage Gain ($\Delta V_O = 3.0\ \text{V}$, $V_O = 0.5\ \text{V}$ to $3.5\ \text{V}$, $R_L = 2.0\ \text{k}\Omega$) | A_{VOL} | 70 | 95 | - | dB |
| Unity-Gain Crossover Frequency ($V_O = 0.5\ \text{V}$ to $3.5\ \text{V}$, $R_L = 2.0\ \text{k}\Omega$) | f_{C-} | - | 350 | - | kHz |
| Phase Margin at Unity-Gain ($V_O = 0.5\ \text{V}$ to $3.5\ \text{V}$, $R_L = 2.0\ \text{k}\Omega$) | ϕ_m | - | 65 | - | deg. |
| Common Mode Rejection Ratio ($V_{CC} = 40\ \text{V}$) | CMRR | 65 | 90 | - | dB |
| Power Supply Rejection Ratio ($\Delta V_{CC} = 33\ \text{V}$, $V_O = 2.5\ \text{V}$, $R_L = 2.0\ \text{k}\Omega$) | PSRR | - | 100 | - | dB |
| Output Sink Current (V_O (Pin 3) = 0.7 V) | I_{O-} | 0.3 | 0.7 | - | mA |
| Output Source Current (V_O (Pin 3) = 3.5 V) | I_{O+} | 2.0 | -4.0 | - | mA |

PWM COMPARATOR SECTION (Test Circuit Figure 11)

| | | | | | |
|---|----------|-----|-----|-----|----|
| Input Threshold Voltage (Zero Duty Cycle) | V_{TH} | - | 2.5 | 4.5 | V |
| Input Sink Current ($V_{Pin\ 3} = 0.7\ \text{V}$) | I_{I-} | 0.3 | 0.7 | - | mA |

DEADTIME CONTROL SECTION (Test Circuit Figure 11)

| | | | | | |
|--|---------------|--------|----------|----------|---------------|
| Input Bias Current (Pin 4) ($V_{Pin\ 4} = 0\ \text{V}$ to $5.25\ \text{V}$) | I_{IB} (DT) | - | -2.0 | -10 | μA |
| Maximum Duty Cycle, Each Output, Push-Pull Mode ($V_{Pin\ 4} = 0\ \text{V}$, $C_T = 0.01\ \mu\text{F}$, $R_T = 12\ \text{k}\Omega$) ($V_{Pin\ 4} = 0\ \text{V}$, $C_T = 0.001\ \mu\text{F}$, $R_T = 30\ \text{k}\Omega$) | DC_{max} | 45 | 48 45 | 50 50 | % |
| Input Threshold Voltage (Pin 4) (Zero Duty Cycle) (Maximum Duty Cycle) | V_{th} | - 0 | 2.8 - | 3.3 - | V |

OSCILLATOR SECTION

| | | | | | |
|--|-----------------------------|---|-----|----|-----|
| Frequency ($C_T = 0.001\ \mu\text{F}$, $R_T = 30\ \text{k}\Omega$) | f_{osc} | - | 40 | - | kHz |
| Standard Deviation of Frequency* ($C_T = 0.001\ \mu\text{F}$, $R_T = 30\ \text{k}\Omega$) | $\sigma_{f_{osc}}$ | - | 3.0 | - | % |
| Frequency Change with Voltage ($V_{CC} = 7.0\ \text{V}$ to $40\ \text{V}$, $T_A = 25^\circ\text{C}$) | $\Delta f_{osc} (\Delta V)$ | - | 0.1 | - | % |
| Frequency Change with Temperature ($\Delta T_A = T_{low}$ to T_{high}) ($C_T = 0.01\ \mu\text{F}$, $R_T = 12\ \text{k}\Omega$) | $\Delta f_{osc} (\Delta T)$ | - | - | 12 | % |

UNDERVOLTAGE LOCKOUT SECTION

| | | | | | |
|---|----------|-----|------|-----|---|
| Turn-On Threshold (V_{CC} increasing, $I_{ref} = 1.0\ \text{mA}$) | V_{th} | 5.5 | 6.43 | 7.0 | V |
|---|----------|-----|------|-----|---|

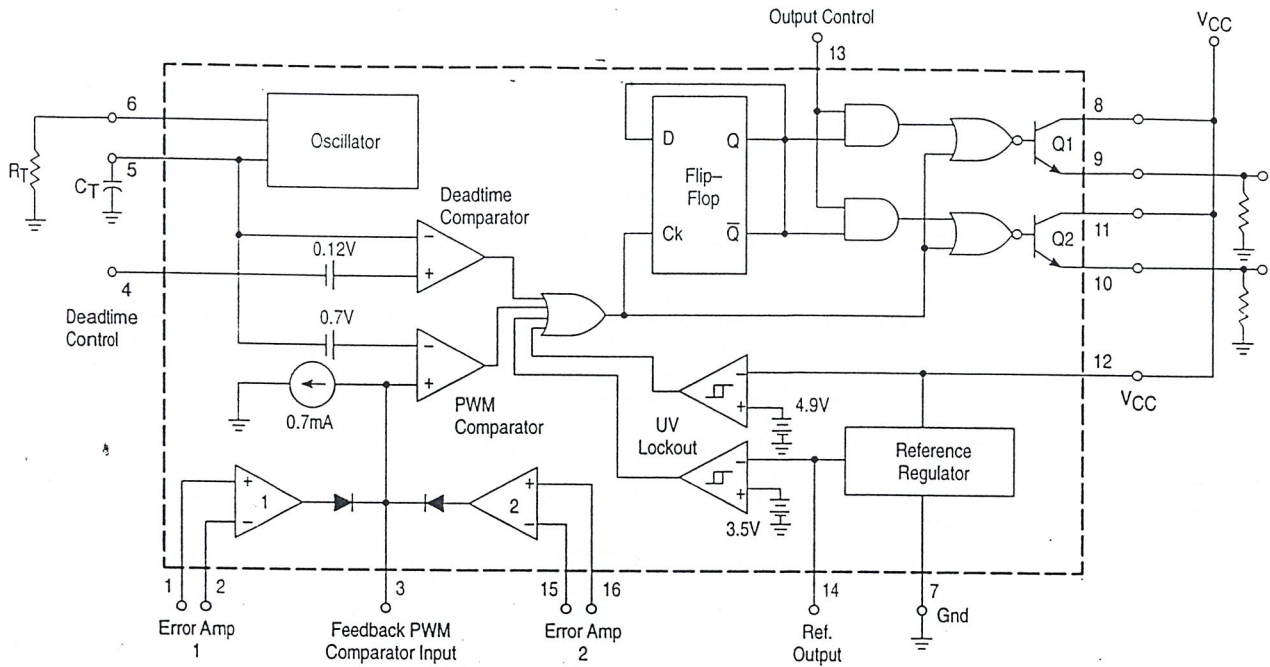
TOTAL DEVICE

| | | | | | |
|--|----------|--------|------------|----------|----|
| Standby Supply Current (Pin 6 at V_{ref} , All other inputs and outputs open) ($V_{CC} = 15\ \text{V}$) ($V_{CC} = 40\ \text{V}$) | I_{CC} | - - | 5.5 7.0 | 10 15 | mA |
| Average Supply Current ($C_T = 0.01\ \mu\text{F}$, $R_T = 12\ \text{k}\Omega$, $V_{(Pin\ 4)} = 2.0\ \text{V}$) ($V_{CC} = 15\ \text{V}$) (See Figure 12) | | - | 7.0 | - | mA |

* Standard deviation is a measure of the statistical distribution about the mean as derived from the formula, σ

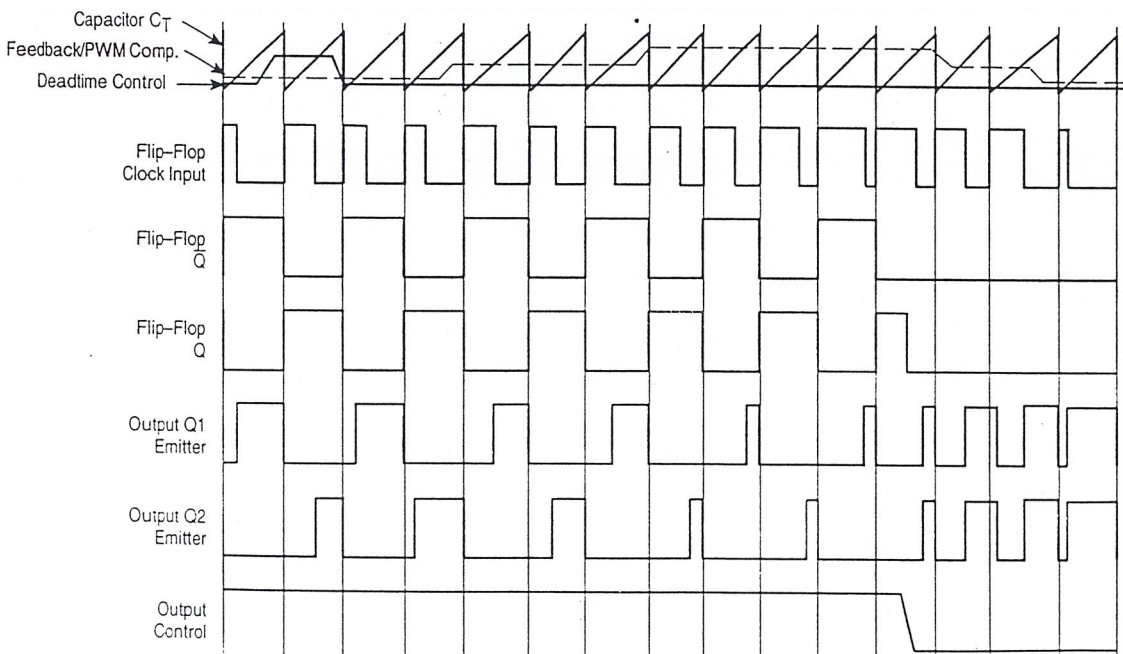
$$\sigma = \sqrt{\frac{\sum_{n=1}^N (X_n - \bar{X})^2}{N - 1}}$$

Figure 1. Representative Block Diagram



This device contains 46 active transistors.

Figure 2. Timing Diagram



APPLICATIONS INFORMATION

The TL494 is a fixed-frequency pulse width modulation circuit, incorporating the primary building blocks for the control of a switching power supply. (See Figure 1.) An internal linear sawtooth oscillator is frequency-adjustable by two external components, R_T and C_T . The oscillator frequency is determined by:

$$f_{osc} \approx \frac{1.1}{R_T \cdot C_T}$$

For more information refer to Figure 3.

The pulse width modulation is accomplished by comparison of the positive sawtooth waveform across C_T to either of two control signals. The NOR gates, which drive output transistors Q1 and Q2, are enabled only when the flip-flop clock-input line is in its low state. This occurs only during that portion of time when the sawtooth voltage is greater than the control signals. Therefore, an increase in control-signal amplitude causes a corresponding decrease of output pulse width. (Refer to the Timing Diagram shown in Figure 2.)

The control signals are external inputs that can be fed into the deadtime control, the error amplifier inputs, or the feedback input. The deadtime control comparator has an effective 120 mV input offset which limits the minimum output duty cycle to approximately the first 4% of the sawtooth-cycle period. This would result in a maximum duty cycle on a given output of 96% with the output control grounded, and 48% with the output control connected to the reference line. Additional deadtime may be imposed on the output by setting the deadtime-control input to a fixed voltage, ranging between 0 V to 3.3 V.

Functional Table

| Input/Output Controls | Output Function | $\frac{f_{out}}{f_{osc}} =$ |
|-----------------------|------------------------------|-----------------------------|
| Grounded | Single-ended PWM @ Q1 and Q2 | 1.0 |
| @ V_{ref} | Push-pull Operation | 0.5 |

The pulse width modulator comparator provides a means for the error amplifiers to adjust the output pulse width from the maximum percent on-time, established by the deadtime control input, down to zero, as the voltage at the feedback pin varies from 0.5 V to 3.5 V. Both error amplifiers have a common mode input range from -0.3 V to $(V_{CC} - 2V)$, and

may be used to sense power-supply output voltage and current. The error-amplifier outputs are active high and are ORed together at the noninverting input of the pulse-width modulator comparator. With this configuration, the amplifier that demands minimum output on time, dominates control of the loop.

When capacitor C_T is discharged, a positive pulse is generated on the output of the deadtime comparator, which clocks the pulse-steering flip-flop and inhibits the output transistors, Q1 and Q2. With the output-control connected to the reference line, the pulse-steering flip-flop directs the modulated pulses to each of the two output transistors alternately for push-pull operation. The output frequency is equal to half that of the oscillator. Output drive can also be taken from Q1 or Q2, when single-ended operation with a maximum on-time of less than 50% is required. This is desirable when the output transformer has a ringback winding with a catch diode used for snubbing. When higher output-drive currents are required for single-ended operation, Q1 and Q2 may be connected in parallel, and the output-mode pin must be tied to ground to disable the flip-flop. The output frequency will now be equal to that of the oscillator.

The TL494 has an internal 5.0 V reference capable of sourcing up to 10 mA of load current for external bias circuits. The reference has an internal accuracy of $\pm 5.0\%$ with a typical thermal drift of less than 50 mV over an operating temperature range of 0° to 70°C.

Figure 3. Oscillator Frequency versus Timing Resistance

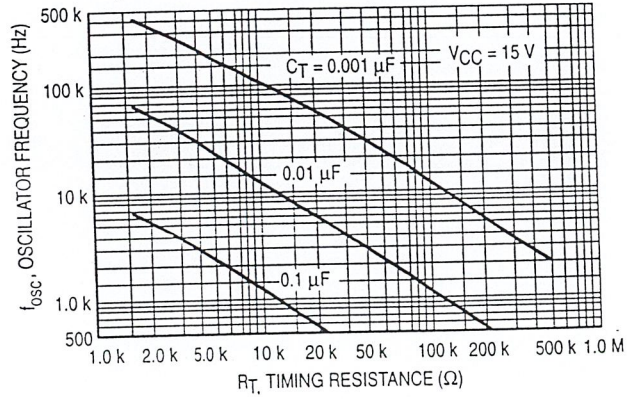
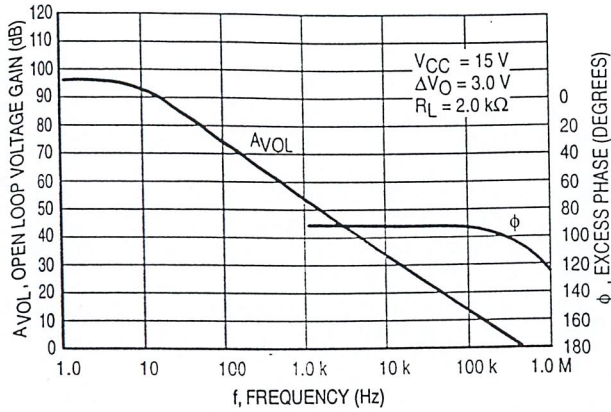


Figure 4. Open Loop Voltage Gain and Phase versus Frequency



94

Figure 5. Percent Deadtime versus Oscillator Frequency

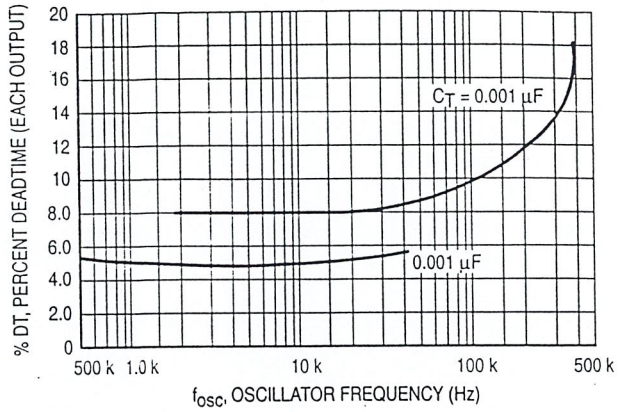


Figure 6. Percent Duty Cycle versus Deadtime Control Voltage

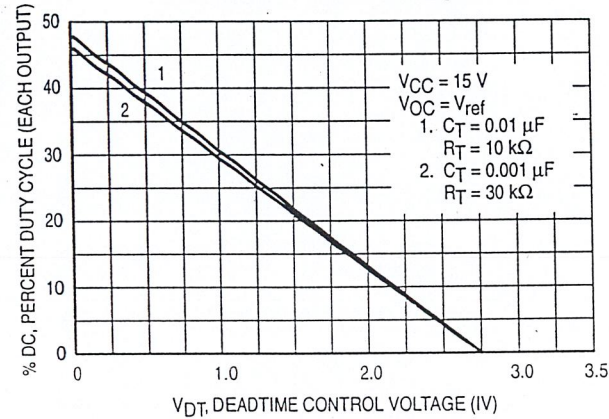


Figure 7. Emitter-Follower Configuration Output Saturation Voltage versus Emitter Current

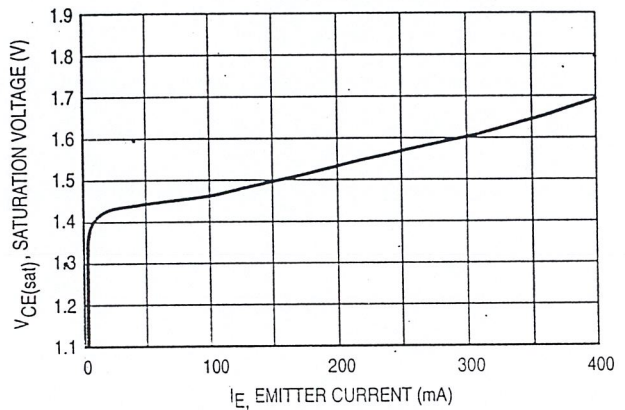


Figure 8. Common-Emitter Configuration Output Saturation Voltage versus Collector Current

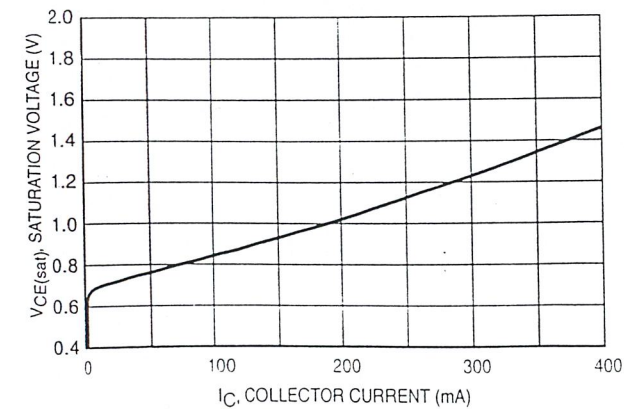
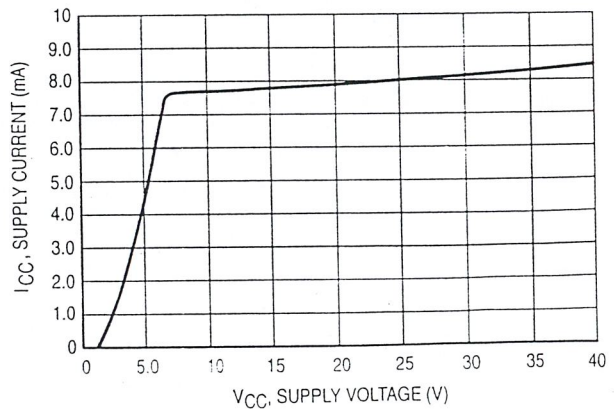


Figure 9. Standby Supply Current versus Supply Voltage



3

RECOMMENDED OPERATING CONDITIONS

95

| Characteristics | Symbol | Min | Typ | Max | Unit |
|--|------------------|--------|-------|----------------|------------|
| Power Supply Voltage | V_{CC} | 7.0 | 15 | 40 | V |
| Collector Output Voltage | V_{C1}, V_{C2} | - | 30 | 40 | V |
| Collector Output Current (Each transistor) | I_{C1}, I_{C2} | - | - | 200 | mA |
| Amplified Input Voltage | V_{in} | -0.3 | - | $V_{CC} - 2.0$ | V |
| Current Into Feedback Terminal | I_{fb} | - | - | 0.3 | mA |
| Reference Output Current | I_{ref} | - | - | 10 | mA |
| Timing Resistor | R_T | 1.8 | 30 | 500 | k Ω |
| Timing Capacitor | C_T | 0.0047 | 0.001 | 10 | μF |
| Oscillator Frequency | f_{osc} | 1.0 | 40 | 200 | kHz |

ELECTRICAL CHARACTERISTICS ($V_{CC} = 15 V$, $C_T = 0.01 \mu F$, $R_T = 12 k\Omega$, unless otherwise noted.)

For typical values $T_A = 25^\circ C$, for min/max values T_A is the operating ambient temperature range that applies, unless otherwise noted.

| Characteristics | Symbol | Min | Typ | Max | Unit |
|-----------------|--------|-----|-----|-----|------|
|-----------------|--------|-----|-----|-----|------|

REFERENCE SECTION

| | | | | | |
|--|-----------|------|-----|------|----|
| Reference Voltage ($I_O = 1.0 mA$) | V_{ref} | 4.75 | 5.0 | 5.25 | V |
| Line Regulation ($V_{CC} = 7.0 V$ to $40 V$) | Regline | - | 2.0 | 25 | mV |
| Load Regulation ($I_O = 1.0 mA$ to $10 mA$) | Regload | - | 3.0 | 15 | mV |
| Short Circuit Output Current ($V_{ref} = 0 V$) | I_{SC} | 15 | 35 | 75 | mA |

OUTPUT SECTION

| | | | | | |
|---|------------------------------|--------|------------|------------|---------------|
| Collector Off-State Current ($V_{CC} = 40 V$, $V_{CE} = 40 V$) | $I_{C(off)}$ | - | 2.0 | 100 | μA |
| Emitter Off-State Current ($V_{CC} = 40 V$, $V_C = 40 V$, $V_E = 0 V$) | $I_{E(off)}$ | - | - | -100 | μA |
| Collector-Emitter Saturation Voltage (Note 2) Common-Emitter ($V_E = 0 V$, $I_C = 200 mA$) Emitter-Follower ($V_C = 15 V$, $I_E = -200 mA$) | $V_{sat(C)}$ $V_{sat(E)}$ | - - | 1.1 1.5 | 1.3 2.5 | V |
| Output Control Pin Current Low State ($V_{OC} \leq 0.4 V$) High State ($V_{OC} = V_{ref}$) | I_{OCL} I_{OCH} | - - | 10 0.2 | - 3.5 | μA mA |
| Output Voltage Rise Time Common-Emitter (See Figure 12) Emitter-Follower (See Figure 13) | t_r | - - | 100 100 | 200 200 | ns |
| Output Voltage Fall Time Common-Emitter (See Figure 12) Emitter-Follower (See Figure 13) | t_f | - - | 25 40 | 100 100 | ns |

NOTE: 2. Low duty cycle pulse techniques are used during test to maintain junction temperature as close to ambient temperature as possible.

Figure 10. Error-Amplifier Characteristics

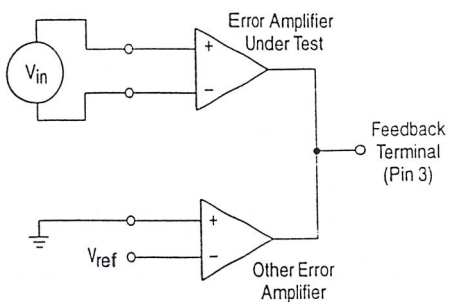


Figure 11. Deadtime and Feedback Control Circuit

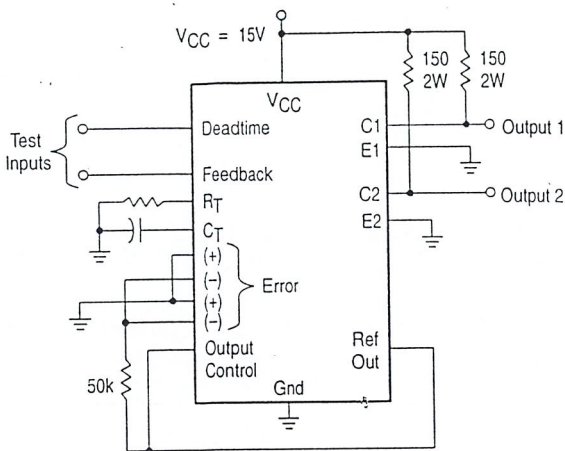


Figure 12. Common-Emitter Configuration Test Circuit and Waveform

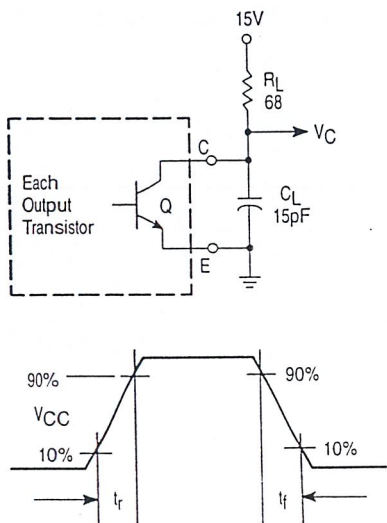


Figure 13. Emitter-Follower Configuration Test Circuit and Waveform

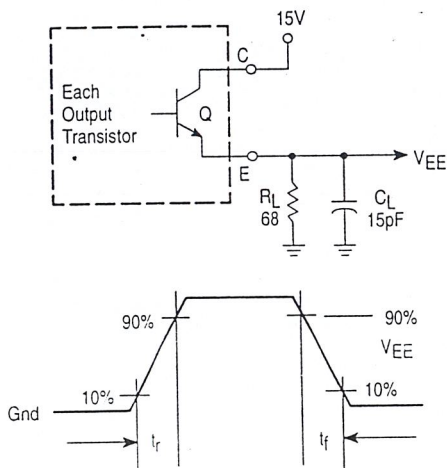


Figure 14. Error-Amplifier Sensing Techniques

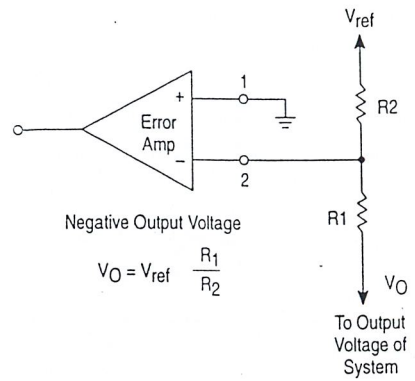
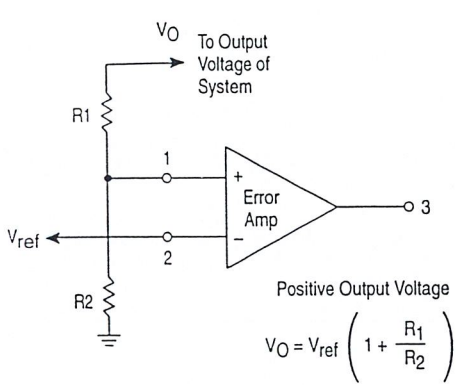


Figure 15. Deadtime Control Circuit

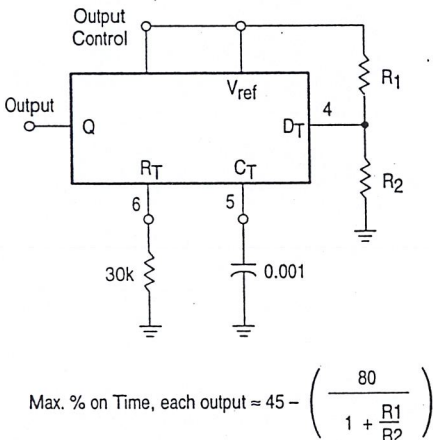


Figure 16. Soft-Start Circuit

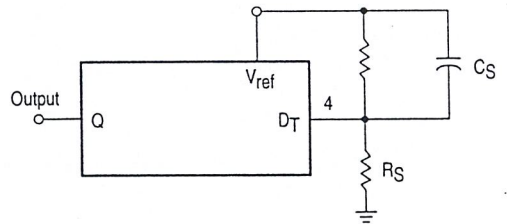


Figure 17. Output Connections for Single-Ended and Push-Pull Configurations

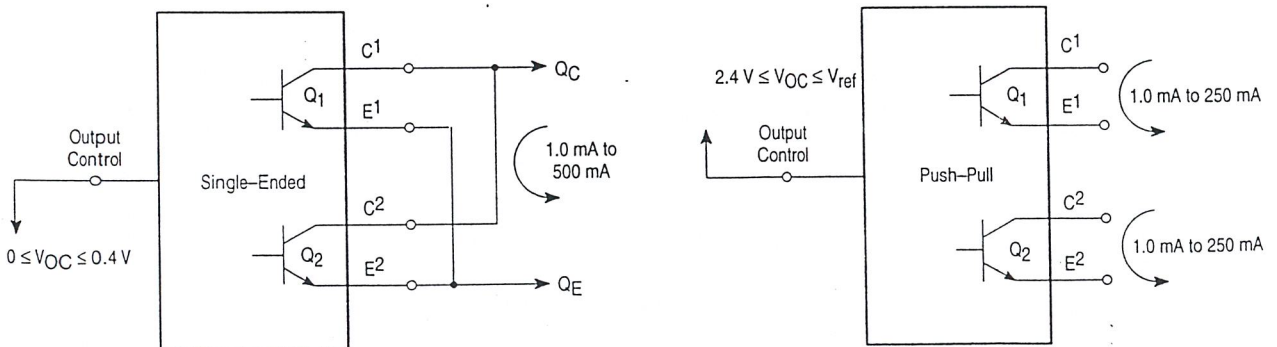
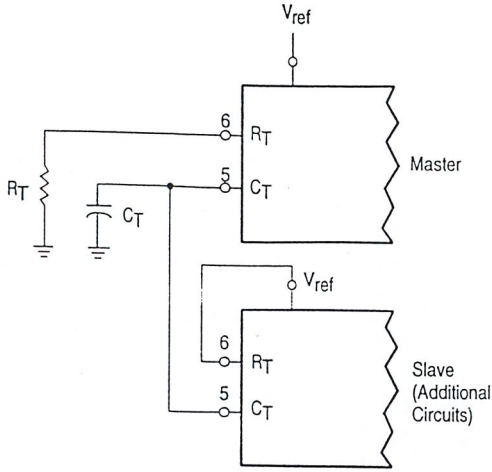


Figure 18. Slaving Two or More Control Circuits



98

Figure 19. Operation with $V_{in} > 40V$ Using External Zener

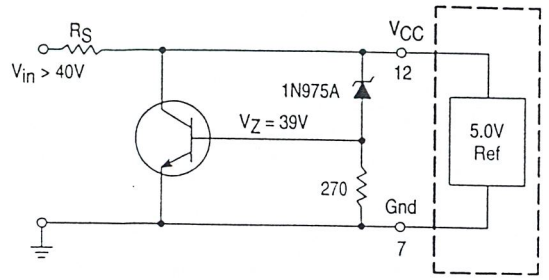
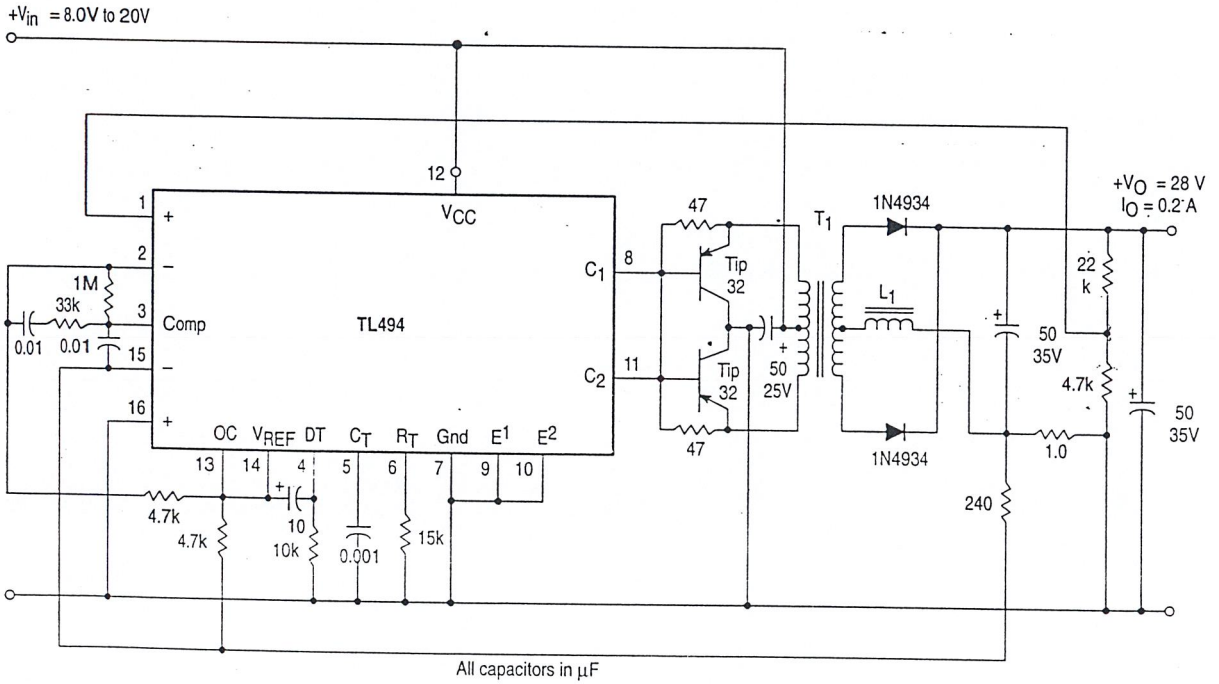


Figure 20. Pulse Width Modulated Push-Pull Converter

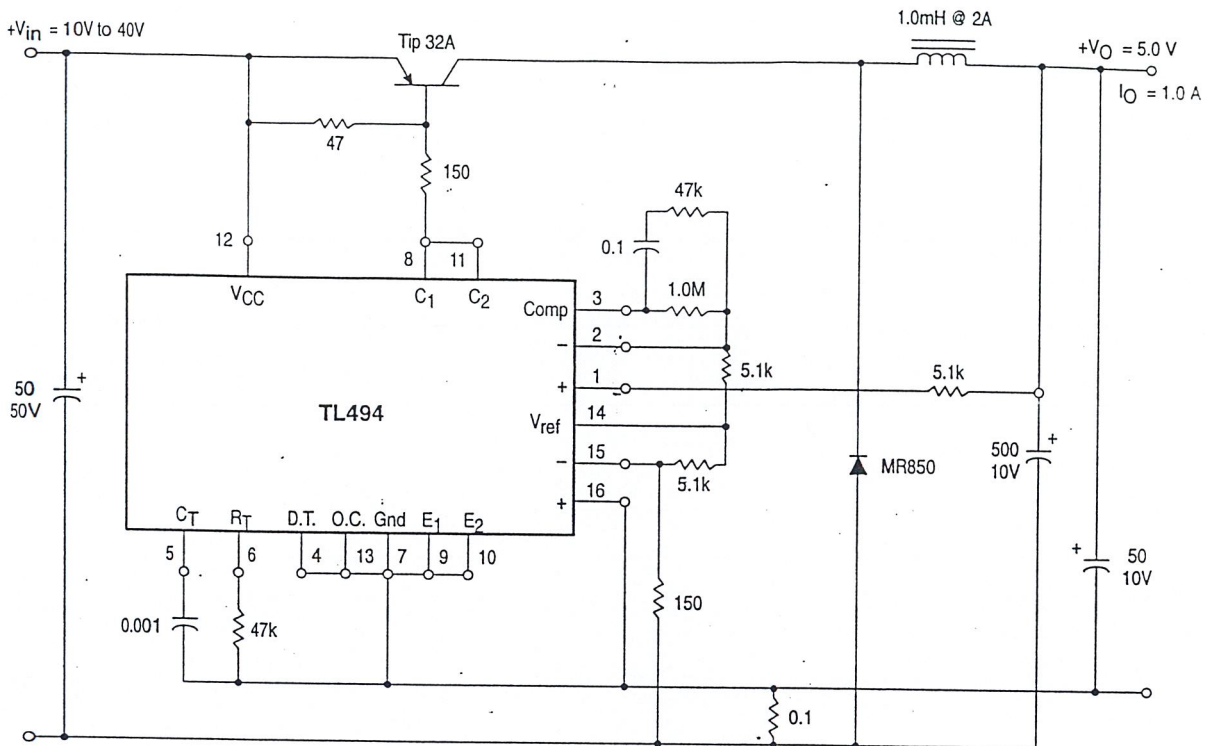


| Test | Conditions | Results |
|-----------------------|--|-------------------|
| Line Regulation | $V_{in} = 10V$ to $40V$ | 14 mV 0.28% |
| Load Regulation | $V_{in} = 28V$, $I_O = 1.0mA$ to $1.0A$ | 3.0 mV 0.06% |
| Output Ripple | $V_{in} = 28V$, $I_O = 1.0A$ | 65 mV pp P.A.R.D. |
| Short Circuit Current | $V_{in} = 28V$, $R_L = 0.1\Omega$ | 1.6 A |
| Efficiency | $V_{in} = 28V$, $I_O = 1.0A$ | 71% |

L1 - 3.5 mH @ 0.3 A
 T1 - Primary: 20T C.T. #28 AWG
 Secondary: 120T C.T. #36 AWG
 Core: Ferroxcube 1408P-L00-3CB

TL494

Figure 21. Pulse Width Modulated Step-Down Converter



| Test | Conditions | Results |
|-----------------------|--|-------------------|
| Line Regulation | $V_{in} = 8.0 \text{ V to } 40 \text{ V}$ | 3.0 mV 0.01% |
| Load Regulation | $V_{in} = 12.6 \text{ V}, I_O = 0.2 \text{ mA to } 200 \text{ mA}$ | 5.0 mV 0.02% |
| Output Ripple | $V_{in} = 12.6 \text{ V}, I_O = 200 \text{ mA}$ | 40 mV pp P.A.R.D. |
| Short Circuit Current | $V_{in} = 12.6 \text{ V}, R_L = 0.1 \Omega$ | 250 mA |
| Efficiency | $V_{in} = 12.6 \text{ V}, I_O = 200 \text{ mA}$ | 72% |

DAC0808/DAC0807/DAC0806 8-Bit D/A Converters

General Description

The DAC0808 series is an 8-bit monolithic digital-to-analog converter (DAC) featuring a full scale output current settling time of 150 ns while dissipating only 33 mW with $\pm 5V$ supplies. No reference current (I_{REF}) trimming is required for most applications since the full scale output current is typically ± 1 LSB of $255 I_{REF} / 256$. Relative accuracies of better than $\pm 0.19\%$ assure 8-bit monotonicity and linearity while zero level output current of less than $4 \mu A$ provides 8-bit zero accuracy for $I_{REF} \geq 2$ mA. The power supply currents of the DAC0808 series are independent of bit codes, and exhibits essentially constant device characteristics over the entire supply voltage range.

The DAC0808 will interface directly with popular TTL, DTL or CMOS logic levels, and is a direct replacement for the

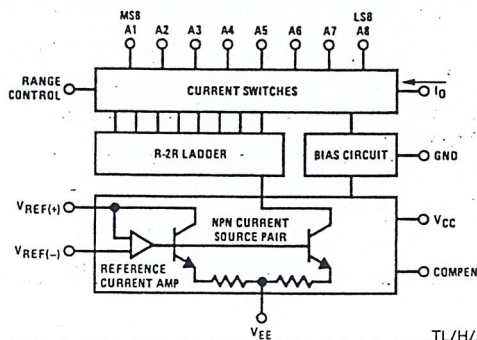
MC1508/MC1408. For higher speed applications, see DAC0800 data sheet.

Features

- Relative accuracy: $\pm 0.19\%$ error maximum (DAC0808)
- Full scale current match: ± 1 LSB typ
- 7 and 6-bit accuracy available (DAC0807, DAC0806)
- Fast settling time: 150 ns typ
- Noninverting digital inputs are TTL and CMOS compatible
- High speed multiplying input slew rate: $8 \text{ mA}/\mu\text{s}$
- Power supply voltage range: $\pm 4.5V$ to $\pm 18V$
- Low power consumption: 33 mW @ $\pm 5V$

DAC0808/DAC0807/DAC0806

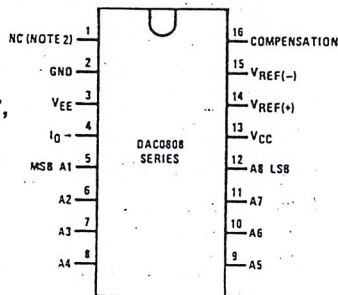
Block and Connection Diagrams



TL/H/5687-1

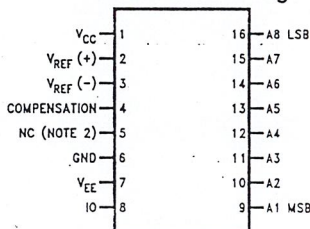
Order Number
**DAC0808, DAC0807,
 or DAC0806**
 See NS Package
 Number J16A,
 M16A or N16A

Dual-In-Line Package



TL/H/5687-2

Small-Outline Package



Top View

TL/H/5687-13

Ordering Information

| ACCURACY | OPERATING TEMPERATURE RANGE | ORDER NUMBERS | | | | |
|----------|---|-------------------|----------|-------------------|----------|-------------------|
| | | J PACKAGE (J16A)* | | N PACKAGE (N16A)* | | SO PACKAGE (M16A) |
| 7-bit | $0^{\circ}\text{C} \leq T_A \leq +75^{\circ}\text{C}$ | DAC0807LCJ | MC1408L7 | DAC0808LCN | MC1408P8 | DAC0808LCM |
| 6-bit | $0^{\circ}\text{C} \leq T_A \leq +75^{\circ}\text{C}$ | DAC0806LCJ | MC1408L6 | DAC0807LCN | MC1408P7 | DAC0807LCM |
| | | | | DAC0806LCN | MC1408P6 | DAC0806LCM |

*Note. Devices may be ordered by using either order number.

3

Typical Maximum Ratings (Note 1)

If Military/Aerospace specified devices are required, please contact the National Semiconductor Sales Office/Distributors for availability and specifications.

| | |
|---|--|
| Power Supply Voltage | |
| V_{CC} | +18 V _{DC} |
| V_{EE} | -18 V _{DC} |
| Digital Input Voltage, V ₅ -V ₁₂ | -10 V _{DC} to +18 V _{DC} |
| Applied Output Voltage, V _O | -11 V _{DC} to +18 V _{DC} |
| Reference Current, I ₁₄ | 5 mA |
| Reference Amplifier Inputs, V ₁₄ , V ₁₅ | V _{CC} , V _{EE} |
| Power Dissipation (Note 3) | 1000 mW |
| ESD Susceptibility (Note 4) | TBD |

| | | |
|-----|------------------------------------|-----------------|
| 100 | Storage Temperature Range | -65°C to +150°C |
| 101 | Lead Temp. (Soldering, 10 seconds) | |
| | Dual-In-Line Package (Plastic) | 260°C |
| | Dual-In-Line Package (Ceramic) | 300°C |
| | Surface Mount Package | |
| | Vapor Phase (60 seconds) | 215°C |
| | Infrared (15 seconds) | 220°C |

Operating Ratings

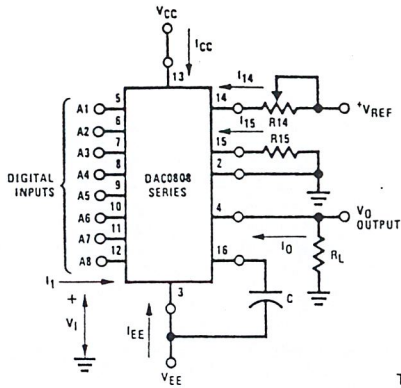
| | |
|-------------------|-------------------------------------|
| Temperature Range | $T_{MIN} \leq T_A \leq T_{MAX}$ |
| DAC0808LC Series | $0 \leq T_A \leq +75^\circ\text{C}$ |

Electrical Characteristics

(V_{CC} = 5V, V_{EE} = -15 V_{DC}, V_{REF}/R₁₄ = 2 mA, DAC0808: T_A = -55°C to +125°C, DAC0808C, DAC0807C, DAC0806C, T_A = 0°C to +75°C, and all digital inputs at high logic level unless otherwise noted.)

| Symbol | Parameter | Conditions | Min | Typ | Max | Units | |
|---|--|--|--------|-------------|---------------------------|------------------------------------|----|
| E _r | Relative Accuracy (Error Relative to Full Scale I _O) DAC0808LC (LM1408-8) DAC0807LC (LM1408-7), (Note 5) DAC0806LC (LM1408-6), (Note 5) | (Figure 4) | | | ±0.19 | % | |
| | | | | | | ±0.39 | % |
| | | | | | | ±0.78 | % |
| | | | | | | | ns |
| | Settling Time to Within ½ LSB (Includes t _{PLH}) | T _A = 25°C (Note 6), (Figure 5) | | 150 | | | |
| t _{PLH} , t _{PHL} | Propagation Delay Time | T _A = 25°C, (Figure 5) | | 30 | 100 | ns | |
| TCI _O | Output Full Scale Current Drift | | | ±20 | | ppm/°C | |
| MSB V _{IH} V _{IL} | Digital Input Logic Levels High Level, Logic "1" Low Level, Logic "0" | (Figure 3) | 2 | | 0.8 | V _{DC} V _{DC} | |
| MSB | Digital Input Current High Level Low Level | (Figure 3) V _{IH} = 5V V _{IL} = 0.8V | | 0 -0.003 | 0.040 -0.8 | mA mA | |
| I ₁₅ | Reference Input Bias Current | (Figure 3) | | -1 | -3 | µA | |
| | Output Current Range | (Figure 3) V _{EE} = -5V V _{EE} = -15V, T _A = 25°C | 0 0 | 2.0 2.0 | 2.1 4.2 | mA mA | |
| I _O | Output Current | V _{REF} = 2.000V, R ₁₄ = 1000Ω, (Figure 3) | 1.9 | 1.99 | 2.1 | mA | |
| | Output Current, All Bits Low | (Figure 3) | | 0 | 4 | µA | |
| | Output Voltage Compliance (Note 2) V _{EE} = -5V, I _{REF} = 1 mA V _{EE} Below -10V | E _r ≤ 0.19%, T _A = 25°C | | | -0.55, +0.4 -5.0, +0.4 | V _{DC} V _{DC} | |

Test Circuits



V_{REF} and I_1 apply to inputs A1-A8.
 The resistor tied to pin 15 is to temperature compensate the bias current and may not be necessary for all applications.

$$I_0 = K \left(\frac{A_1}{2} + \frac{A_2}{4} + \frac{A_3}{8} + \frac{A_4}{16} + \frac{A_5}{32} + \frac{A_6}{64} + \frac{A_7}{128} + \frac{A_8}{256} \right)$$

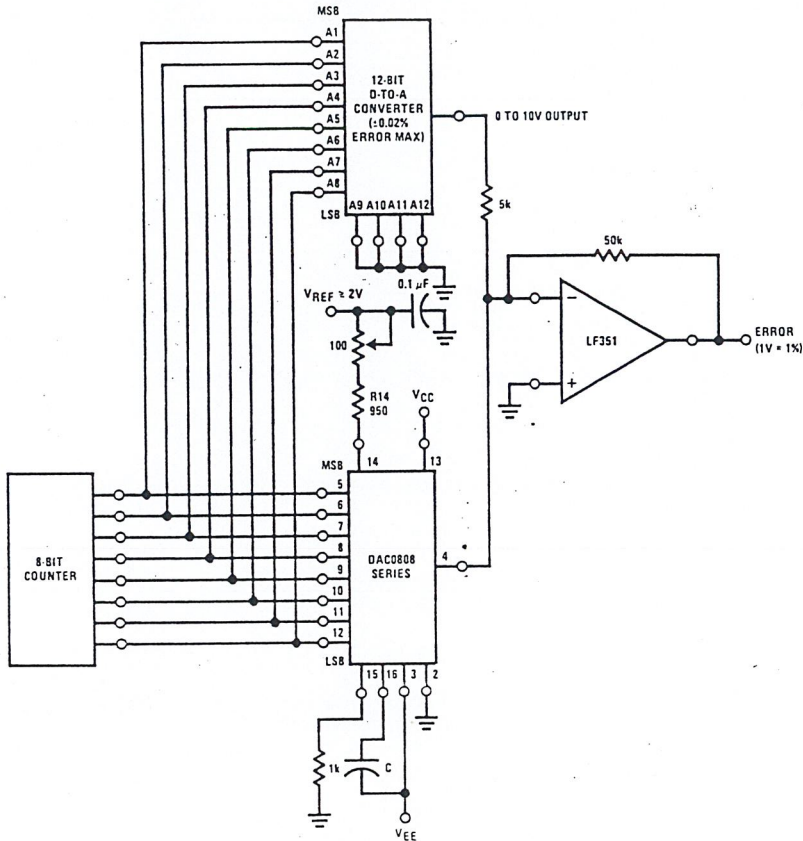
where $K \cong \frac{V_{REF}}{R_{14}}$

and $A_N = "1"$ if A_N is at high level

$A_N = "0"$ if A_N is at low level

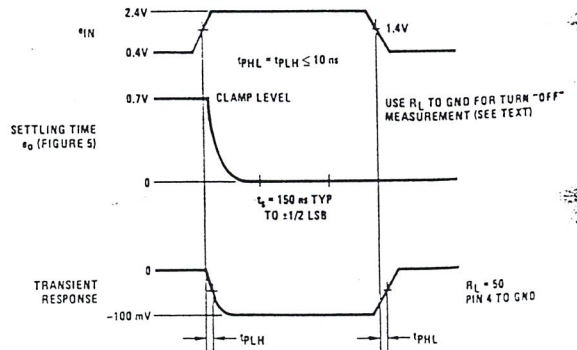
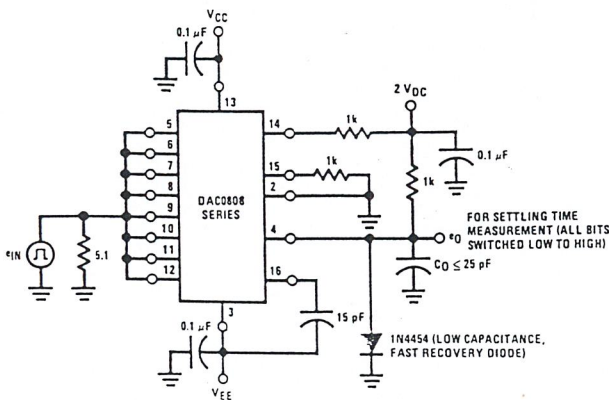
TL/H/5687-6

FIGURE 3. Notation Definitions Test Circuit (Note 7)



TL/H/5687-7

FIGURE 4. Relative Accuracy Test Circuit (Note 7)



TL/H/5687-8

FIGURE 5. Transient Response and Settling Time (Note 7)

Electrical Characteristics (Continued)

($V_{CC} = 5V, V_{EE} = -15V_{DC}, V_{REF}/R_{14} = 2\text{ mA}$, DAC0808: $T_A = -55^\circ\text{C}$ to $+125^\circ\text{C}$, DAC0808C, DAC0807C, DAC0806C, $T_A = 0^\circ\text{C}$ to $+75^\circ\text{C}$, and all digital inputs at high logic level unless otherwise noted.)

| Symbol | Parameter | Conditions | Min | Typ | Max | Units |
|----------------------|---|---|-------------|-------------|--------------|----------------------------|
| SRI_{REF} | Reference Current Slew Rate | (Figure 6) | 4 | 8 | | $\text{mA}/\mu\text{s}$ |
| | Output Current Power Supply Sensitivity | $-5V \leq V_{EE} \leq -16.5V$ | | 0.05 | 2.7 | $\mu\text{A}/V$ |
| I_{CC} I_{EE} | Power Supply Current (All Bits Low) | (Figure 3) | | 2.3 -4.3 | 22 -13 | mA mA |
| V_{CC} V_{EE} | Power Supply Voltage Range | $T_A = 25^\circ\text{C}$, (Figure 3) | 4.5 -4.5 | 5.0 -15 | 5.5 -16.5 | V_{DC} V_{DC} |
| | Power Dissipation All Bits Low | $V_{CC} = 5V, V_{EE} = -5V$ $V_{CC} = 5V, V_{EE} = -15V$ | | 33 106 | 170 305 | mW mW |
| | All Bits High | $V_{CC} = 15V, V_{EE} = -5V$ $V_{CC} = 15V, V_{EE} = -15V$ | | 90 160 | | mW mW |

Note 1: Absolute Maximum Ratings indicate limits beyond which damage to the device may occur. DC and AC electrical specifications do not apply when operating the device beyond its specified operating conditions.

Note 2: Range control is not required.

Note 3: The maximum power dissipation must be derated at elevated temperatures and is dictated by T_{JMAX}, θ_{JA} , and the ambient temperature, T_A . The maximum allowable power dissipation at any temperature is $P_D = (T_{JMAX} - T_A)/\theta_{JA}$ or the number given in the Absolute Maximum Ratings, whichever is lower. For this device, $T_{JMAX} = 125^\circ\text{C}$, and the typical junction-to-ambient thermal resistance of the dual-in-line J package when the board mounted is $100^\circ\text{C}/\text{W}$. For the dual-in-line N package, this number increases to $175^\circ\text{C}/\text{W}$ and for the small outline M package this number is $100^\circ\text{C}/\text{W}$.

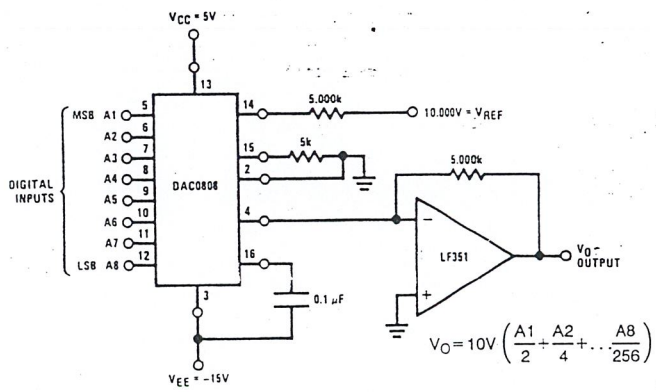
Note 4: Human body model, 100 pF discharged through a 1.5 kΩ resistor.

Note 5: All current switches are tested to guarantee at least 50% of rated current.

Note 6: All bits switched.

Note 7: Pin-out numbers for the DAL080X represent the dual-in-line package. The small outline package pinout differs from the dual-in-line package.

Typical Application



TL/H/5687-3

FIGURE 1. +10V Output Digital to Analog Converter (Note 7)

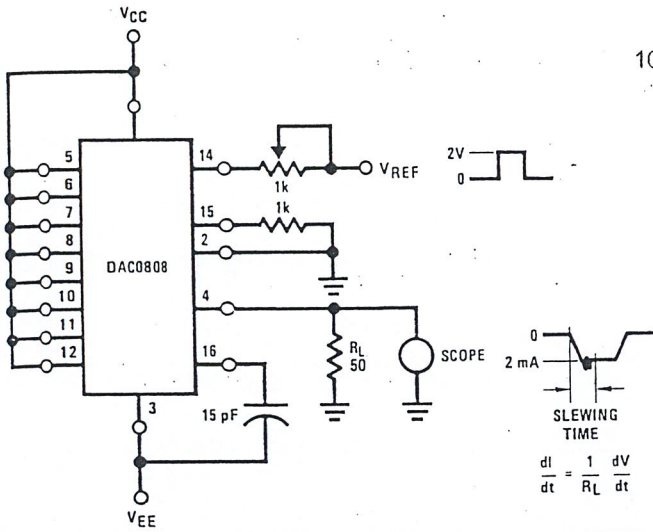


FIGURE 6. Reference Current Slew Rate Measurement (Note 7)

TL/H/5687-9

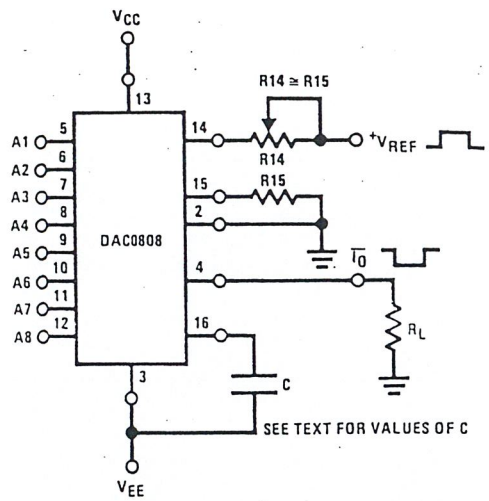


FIGURE 7. Positive V_{REF} (Note 7)

TL/H/5687-10

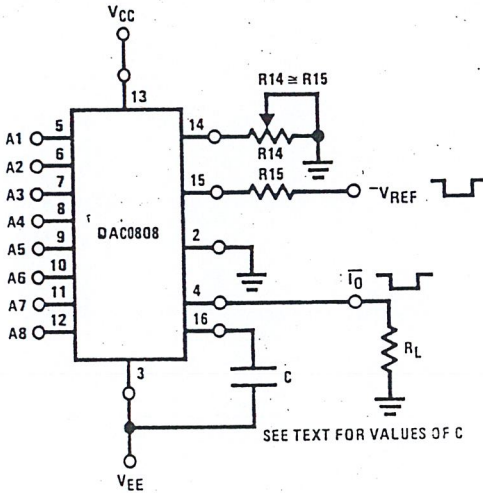


FIGURE 8. Negative V_{REF} (Note 7)

TL/H/5687-11

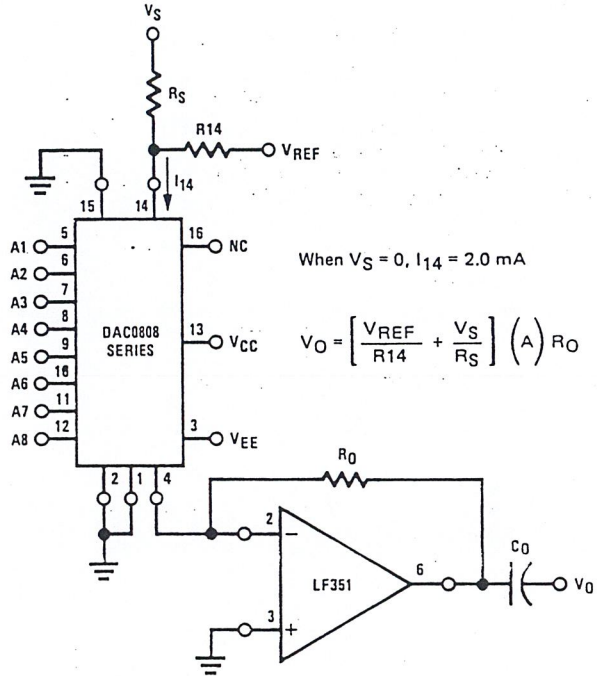


FIGURE 9. Programmable Gain Amplifier or Digital Attenuator Circuit (Note 7)

TL/H/5687-12

Application Hints

REFERENCE AMPLIFIER DRIVE AND COMPENSATION

The reference amplifier provides a voltage at pin 14 for converting the reference voltage to a current, and a turn-around circuit or current mirror for feeding the ladder. The reference amplifier input current, I_{14} , must always flow into pin 14, regardless of the set-up method or reference voltage polarity.

Connections for a positive voltage are shown in Figure 7. The reference voltage source supplies the full current I_{14} . For bipolar reference signals, as in the multiplying mode,

R_{15} can be tied to a negative voltage corresponding to the minimum input level. It is possible to eliminate R_{15} with only a small sacrifice in accuracy and temperature drift.

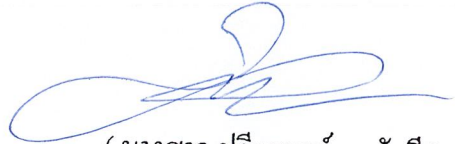
The compensation capacitor value must be increased with increases in R_{14} to maintain proper phase margin; for R_{14} values of 1, 2.5 and 5 k Ω , minimum capacitor values are 15, 37 and 75 pF. The capacitor may be tied to either V_{EE} or ground, but using V_{EE} increases negative supply rejection.

กิตติกรรมประกาศ

โครงการนี้จะไม่อาจสำเร็จลุล่วงไปได้ด้วยดี ถ้าหากไม่ได้รับความช่วยเหลือจากบุคคลหลาย ๆ ท่าน ไม่ว่าจะเป็น เพื่อน ๆ พี่ปรีญาโท อาจารย์หลาย ๆ ท่าน รวมทั้ง ภาควิชาเครื่องกลที่ได้ให้คำแนะนำในการปฏิบัติงานด้านฮาร์ดแวร์ และโดยเฉพาะอย่างยิ่ง ดร. สุรพันธ์ เอื้อไพบูรณ์ ที่ได้คำแนะนำ และ คำปรึกษาต่าง ๆ มาโดยตลอด ขอขอบคุณคุณพ่อ คุณแม่ ที่ได้ให้กำลังใจที่ดีเสมอมา และผู้มีพระคุณหลาย ๆ ท่านที่มีโอกาสกล่าวได้หมด ณ ที่นี้

ดร. บัวลำไย

(นายเอก บัวลำไย)



(นางสาว ปรียาภรณ์ ภัคดี)

ผู้จัดทำ

เอกสารอ้างอิง

- 1.) อนิรุต ลีหาทอง , “ การเขียนโปรแกรมบนวินโดวส์ ด้วย Microsoft C++ “ ซีเอ็ดยูเคชั่น
- 2.) สุนทร วิหุสุรพจน์ , “ การใช้งานไมโครคอนโทรลเลอร์ตระกูล 8051 ” บริษัท ซีเอ็ดยูเคชั่น จำกัดมหาชน , หน้า 29 - 46
- 3.) อ.ธีรวัฒน์ ประกอบผล , “ การใช้งานไมโครคอนโทรลเลอร์ “ บริษัท ดวงกมลสมัย จำกัด , พ.ศ. 2540 , หน้า 19 – 43
- 4.) ดร.ดวงแก้ว สวามิภักดิ์ , “ การใช้โปรแกรมภาษา C “ บริษัท ซีเอ็ดยูเคชั่น , พ.ศ. 2539 ,
- 5.) Scott Stanfield with Ralph Arverson , “ VISUAL C++ 4 How – To “ , waite Droup Press TM A Division of Same Publishing Corte Madera , CA , 1996

เว็บไซต์ ที่เข้าไปค้นหาข้อมูลทางอินเทอร์เน็ต

1. <http://www.national.com>
2. <http://www.expert-exchange.com>
3. <http://www.microsolf.com>